

Івано-Франківський національний технічний університет нафти і газу

Інститут інженерної механіки та робототехніки
Кафедра комп'ютеризованого машинобудування

Ділишин Стас Володимирович
(прізвище, ім'я, по батькові)

УДК 622.2
(індекс)

МАГІСТЕРСЬКА РОБОТА

Тема: Вдосконалення технологічного процесу виготовлення деталі «Корпус нижній НПО-22.05.01.007» для умов середньосерійного типу виробництва

Комп'ютеризовані та роботизовані технології машинобудування
(назва освітньої програми)

131-Прикладна механіка
(шифр і назва спеціальності)

С В Ділишин

(підпис, ініціали та прізвище здобувача освітнього ступеня)

Науковий керівник: Пітулей Лоліта Дмитрівна к.т.н. доцент
(прізвище, ім'я, по батькові, науковий ступінь, вчене звання)

Допущено до захисту

Завідувач кафедри

професор _____ Панчук В.Г.
(посада) (підпис) (дата) (ініціали та прізвище)

Рецензент

(посада) (підпис) (дата) (ініціали та прізвище)

Робота містить результати власних досліджень. Використання ідей, результатів і текстів інших авторів мають посилання на відповідне джерело

м.Івано-Франківськ-2025 рік

Івано-Франківський національний технічний університет нафти і газу

(повне найменування закладу вищої освіти)

Інститут інженерної механіки та робототехніки

Кафедра комп'ютеризованого машинобудування

Освітній рівень магістр

Спеціальність 131-Прикладна механіка

(шифр і назва)

ЗАТВЕРДЖУЮ

Завідувач кафедри

«___» _____ 2025 року

**З А В Д А Н Н Я
НА МАГІСТЕРСЬКУ РОБОТУ СТУДЕНТОВІ**

Ділишин Стас Володимирович

(прізвище, ім'я, по батькові)

1. Тема роботи: Вдосконалення технологічного процесу виготовлення деталі «Корпус нижній НПО-22.05.01.007» для умов середньосерійного типу виробництва

Керівник роботи : Пітулей Лоліта Дмитрівна к.т.н. доцент

(прізвище, ім'я, по батькові, науковий ступінь, вчене звання)

Затверджені наказом закладу вищої освіти від "05" листопада 2025 року № 694/7

2. Строк подання студентом роботи 15 грудня 2025 р.

3. Вихідні дані до роботи: Технічний кресленик деталі «Корпус нижній НПО-22.05.01.007» тех. процес мех. обробки деталі

4. Зміст розрахунково-пояснювальної записки (перелік питань, які потрібно розробити) _____

1. Конструкторсько-технологічний аналіз 2. Проектування технології виготовлення деталі. 3. Проектування технологічної оснастки. 4. Створення керуючої програми для обробки на верстаті з ЧПК 5. Науково-дослідна частина.

5. Перелік графічного матеріалу (з точним зазначенням обов'язкових креслеників) _____

1. Аналіз точності обробки 2. Карта налагодження 3. Пристрій верстатний 4. Пристрій контрольний 5. Створення керуючої програми для обробки на верстаті з ЧПК . 6. Науково-дослідна частина

6. Консультанти розділів роботи

Розділ	Прізвище, ініціали та посада консультанта	Підпис, дата	
		завдання видав	завдання прийняв
1	Пітулей Лоліта Дмитрівна к.т.н. доцент		
2	Пітулей Лоліта Дмитрівна к.т.н. доцент		
3	Пітулей Лоліта Дмитрівна к.т.н. доцент		
4	Пітулей Лоліта Дмитрівна к.т.н. доцент		

7. Дата видачі завдання _____ 25 листопада 2025 р. _____

КАЛЕНДАРНИЙ ПЛАН

№ з/п	Назва етапів магістерської роботи	Термін виконання етапів роботи	Примітка
1	Конструкторсько-технологічний аналіз		
2	Проектування технології виготовлення деталі_		
3	. Проектування технологічної оснастки		
4	Створення керуючої програми для обробки на верстаті з ЧПК		
5	Науково-дослідна частина.		
6	Оформлення графічного матеріалу		
7	Оформлення технічної документації		

Студент _____ Ділишин С.В.
 (підпис) (прізвище та ініціали)

Керівник роботи _____ Пітулей Л.Д.
 (підпис) (прізвище та ініціали)

РЕФЕРАТ

кваліфікаційної магістерської роботи на тему: «Вдосконалення технологічного процесу виготовлення деталі «Корпус нижній НПО-22.05.01.007» для умов середньо-серійного типу виробництва».

Розрахунково-пояснююча записка містить: 75 сторінок, 27 рисунків, 14 таблиць, 3 додатки.

Графічна частина: 6 аркушів А1

Об'єкт дослідження: технологічний процес виготовлення деталі: «Корпус нижній НПО-22.05.01.007».

Предмет дослідження: Вдосконалення технологічного процесу виготовлення деталі «Корпус нижній НПО-22.05.01.007».

Мета роботи: розроблення перспективного технологічного процесу виготовлення деталі «Корпус нижній НПО-22.05.01.007».

Застосування сучасних верстатів із ЧПК набуває все більшого поширення в останні роки, адже дає можливість їх застосовувати для оброблення складно-профільних поверхонь із високою якістю поверхонь та точністю виконання розмірів за один установ.

При проектуванні операційної технології виготовлення даної деталі на верстаті з ЧПК була використана програмна система PowerMill від компанії AutoDesk. Технологія виготовлення складена у вигляді ряду керуючих програм (КП).

Перед виконанням необхідних дій побудовано 3D - моделі деталі (згідно робочого креслення) та заготовки (з номінальними припусками на механічну обробку) в програмі AutoDesk Inventor.

В технологічній частині обгрунтовано прийняте рішення обробку даної деталі здійснювати за допомогою трьох верстатів: горизонтально-токарного HAAS ST-25, свердлильного з ЧПК MAST Metalltechnik (моделі М-КВМ 50) та вертикально-фрезерного моделі JET JTM-1050TS.

В моделюванні технологічного процесу виготовлення деталі описано базування та закріплення деталі в пристрої для кожної операції, створена віртуальна симуляція механічної обробки деталі: «Корпус нижній НПО-22.05.01.007».

В конструкторській частині для надійного закріплення деталі «Корпус нижній НПО-22.05.01.007» при механічній обробці на верстатах підібрано верстатне оснащення з відповідними параметрами, яке може запобігти негативним явищам, що мають місце при реальному процесі механічної обробки.

Результати роботи можуть бути використані в машинобудівній галузі.

Ключові слова: технологічний процес, механічна обробка, корпус, складно-профільна поверхня, верстатний пристрій, базування, операція, номінальний розмір, граничне відхилення, квалітет, режими різання, пристрій контрольний, інструмент.

ABSTRACT

Qualification master's thesis: Improvement of the technological process of manufacturing the part "Lower housing NPO-22.05.01.007" for medium-series production conditions

The calculation and explanatory note contains: 76 pages, 27 figures, 14 tables, 3 appendices.

Graphic part: 6 sheets A1

Object of research: - technological process of manufacturing the part: "Lower housing NPO-22.05.01.007"

Subject of research: - Improvement of the technological process of manufacturing the part "Lower housing NPO-22.05.01.007"

Purpose of work: Improving the quality, accuracy of processing and productivity, the issues always remain relevant for mechanical engineering.

The use of modern CNC machines has become increasingly widespread in recent years, as it allows them to be used for processing complex-profile housing surfaces with high quality and accuracy in a single installation. The design of the manufacturing technology of this part is carried out using control programs for processing the body on a CNC machine tool using the PowerMill software system from AutoDesk.

Before performing the necessary actions in the PowerMill program, 3D models of the part and the workpiece were built in the AutoDesk Inventor program. In fact, the manufacturing technology will be compiled in the form of a series of control programs (CP).

In the technological part, we decided to process this part using three machines: a HAAS ST-25 horizontal lathe, a MAST Metalltechnik CNC drilling machine model M-KBM 50 and a JET JTM-1050TS vertical milling machine. A 3D model of the part was created according to the working drawing, while indicating the dimensions with spatial deviations for the material.

In the modeling of the technological process of manufacturing a part, the basing and fixing of the part in the device for each operation is described, a virtual simulation of the mechanical processing of the part is created: Lower housing NPO-22.05.01.007. Processing control programs are created.

In the design part, for more effective fixing of our part during mechanical processing on machines, machine tool equipment with parameters that can prevent negative phenomena that occur during the real process of this processing are selected.

The results of the work can be used in the machine-building industry

Keywords: *technological process, processing of the housing, complex-profile surfaces, machine tool device, basing, operation, maximum deviation, quality, cutting modes, control device, tool.*

Зміст

Вступ.....	5
1 Технологічна частина.....	6
1.1.Опис конструкції і роботи деталі.....	6
1.2 Аналіз технологічності конструкції деталі.....	8
1.3.Визначення програми випуску деталей та типу виробництва і кількості деталей в партії.....	11
1.4 Аналіз базового техпроцесу і запропоновані зміни для покращення технології виготовлення.....	13
1.4.1 Техніко-економічне обґрунтування вибору заготовки.....	13
1.4.2 Аналіз базового технологічного процесу виготовлення деталі і запропоновані зміни по поліпшенню технології виготовлення.....	19
1.4.3 Опис і аналіз базового варіанту технологічного процесу.....	19
1.4.4 Опис проектного варіанту технологічного процесу.....	24
1.5 Розробка операційної технології.....	27
1.5.1 Розрахунок припусків на механічну обробку.....	27
1.5.2 Розрахунок режимів різання, основний та допоміжний час.....	33
1.5.3 Аналіз точності обробки поверхні Ø165 _{-0,08}	38
1.5.4 Розробка карти налагодження та КП на верстаті з ЧПК.....	42
1.5.5 Нормування технологічного процесу.....	43
2 Розроблення керуючої програми для верстата з ЧПК.....	46
3 Конструкторська частина.....	56
3.1 Опис призначення, будова і робота пристрою.....	56
3.1.2 Принцип роботи пристрою.....	57
3.1.3 Розрахунок сил закріплення.....	57
3.1.4Розрахунок пристроїв на точність.....	61
3.2 Пристрій контрольний.....	64
3.2.1 Опис призначення, конструкції та принципу роботи пристрою.....	64
3.2.2 Розрахунок пристрою на точність.....	64
3.2.3 Коефіцієнт уніфікації.....	66
4 Науково-дослідна частина.....	67
4.1 Дослідження стійкості осьового різального інструменту при обробці корпусних деталей.....	67
Висновок.....	73
Перелік посилань на джерела.....	74
Додатки.....	
Керуючі програми обробки	
Технологічні документи	
Специфікації до графічної частини	

					МР.ПМК-007.00.00.000 ПЗ		
Змн.	Лист	№ докум.	Підпис	Дата			
Розроб.		Ділишин С.В.			Літ.	Арк.	Акрушів
Перевір.		Пітулей Л.Д.				3	
Реценз.					ІФНТУНГ ПМК _м 24-1		
Н. Контр.		Пітулей Л.Д.			Технологічний процес механічної обробки деталі"Корпус нижній НПО-22.05.01.007"		
Зд.атвер		Панчук В.Г.					

Вступ

Під технологією машинобудування розуміють наукову дисципліну, яка вивчає переважно процеси механічної обробки деталей, попутно розглядає питання вибору заготовок і методи їх виготовлення. Це пояснюється тим, що в машинобудуванні задані форми деталей з точністю та кількістю їх поверхонь, які вимагаються, досягаються в основному шляхом механічної обробки не завжди можуть забезпечуватись. В процесі механічної обробки деталей машин виникає найбільша кількість проблемних запитань, пов'язаних з необхідністю виконання технічних вимог, поставлених конструктором перед виробництвом. Процес механічної обробки поверхонь з експлуатацією технологічного обладнання-металорізальних верстатів, трудомісткість і собівартість механічного обладнання більша, ніж на інших етапах процесу виготовлення машин.

Ці обставини пояснюють розвиток технології машинобудування як наукової дисципліни в першу чергу в напрямку вивчення питань технології механічної обробки, які в найбільшій мірі впливають на продуктивність підприємства.

Зменшення витрат на виготовлення виробів у машинобудуванні є неодмінною умовою підвищення прибутковості й конкурентно-спроможності машинобудівного виробництва в ринкових умовах. Обробка різанням - найголовніша стадія у виробництві машин як за часткою, так і за впливом на якість машин. Тому вдосконалення технології механічної обробки заготовок деталей машин є важливою і актуальною задачею.

В роботі передбачається підвищити ефективність механічної обробки " Корпус нижній НПО-22.05.01.007" шляхом:

- виявлення та усунення недоліків технології на базовому підприємстві;
- використання методів обробки та засобів технологічного оснащення, які повніше відповідають особливостям конструкції деталі та серійному типу виробництва;

					МР.ПМК-007.00.000.000 ПЗ	Арк.
Змн.	Арк.	№ докум.	Підпис	Дата		5

1. Технологічна частина.

1.1. Опис конструкції і роботи деталі

Деталь «Корпус нижній НПО-22.05.01.007» являє собою тіло обертання. Корпус призначена для роботи шестеренчастого оливного насосу .

Дана деталь виготовлена із сталі 40Х, яка повністю відповідає призначенню деталі. У разі відсутності цієї сталі її можна замінити сталями таких марок, як 45Х, 38ХА, 40ХН, 40ХС, 40ХФ, 40ХР.

Опис конструкції деталі виконуємо у вигляді таблиці:

Таблиця 1.1 - Опис конструкції деталі

№ пов.	Поверхня, конфігурація	Розміри	Ква-т точності	Точність ф-ми, роз-ня	Шорсткість
1-11-15-17	Фаски зовнішні	1x45	h14	-	3,2
2	Торець, допоміжна база	Ø165	H14		3,2
3	Фаска внутрішня	2,5x45	H14		3,2
4	Внутрішня циліндрична	Ø68x21.6	H9		3,2
5	Торець	Ø68	H9	-	3,2
6	Внутрішня конічна	Ø50:Ø70°	H14	-	1,6
7	Внутрішня циліндрична	Ø34	H14	-	1,6
8	Торець	Ø34	H14		1,6
9	Фаска внутрішня	1,6x10°	H14	-	1,6
10	Зовнішня циліндрична поверхня	Ø165x33	f9	-	3,2
12	Торець	Ø165	H14	-	3,2
13	Зовнішня циліндрична. поверхня	Ø112	H14		3,2
14	Торець	Ø165	h14		3,2
16	Зовнішня циліндрична поверхня	Ø165	f9	-	3,2
18	Торець	Ø165	H14	-	3,2
19-27	Отвори	Ø16x18	F9	-	3,2
28	Внутрішня циліндрична поверхня	Ø112x5	H14	-	3,2
29	Торець	Ø112	H14	-	3,2
30	Внутрішня циліндрична поверхня	Ø30	T7	-	0,8
31-32	Отвори	Ø10	H7		0,8
33	Лиска	24	h14		3,2

					МР.ПМК-007.00.000.000 ПЗ	Арк.
Змн.	Арк.	№ докум.	Підпис	Дата		
					6	

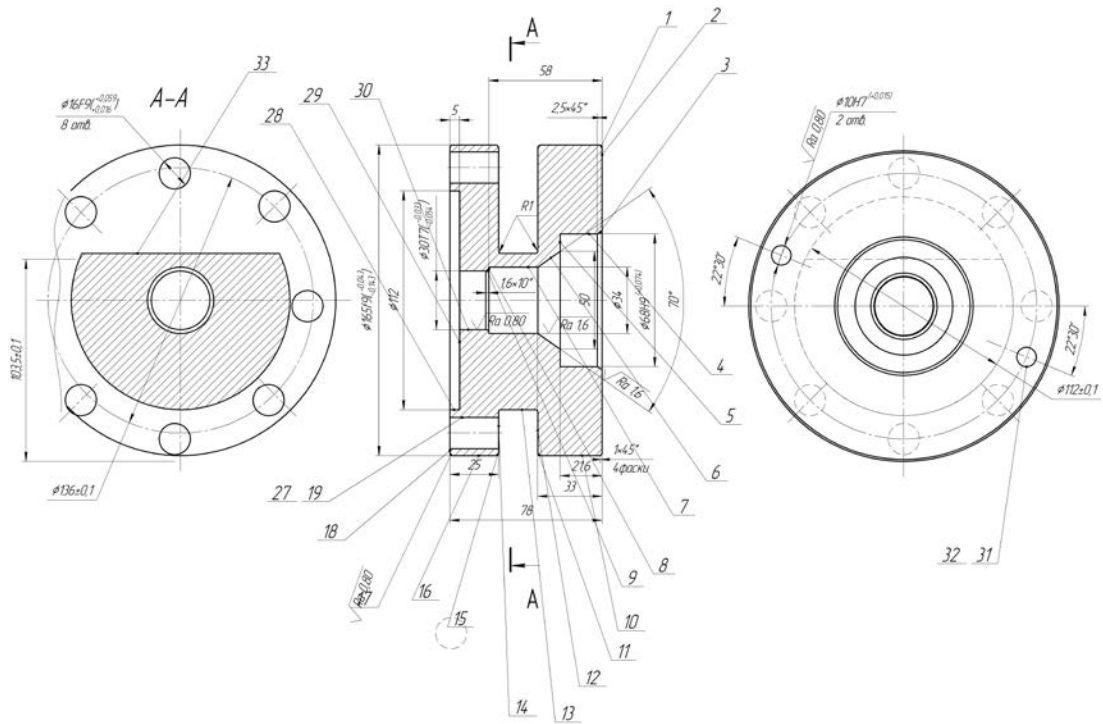


Рисунок.1.1 – Ескіз деталі Корпус нижній НПО-22.05.01.007 з нумерацією поверхонь

Хімічні та фізичні властивості сталі 40Х записані нижче у таблицях.

Хімічний склад сталі 40Х ДСТУ 4543:2011

Таблиця 1.1

C %	Si %	Mn %	Cr %	Ni	Cu	S	P
				Не більше %			
0,36- 0,44	0,17- 0,37	0,50- 0,80	0,80- 1,10	0,30	0,30	0,035	0,035

ст. 143 [1]

Основні механічні властивості сталі 40Х ДСТУ 4543:2011

Таблиця 1.2

Січення, мм	КП	$\sigma_{0.2}$	σ	δ_5	ψ	КСУ, Дж/см ²	НВ
		МПа		%			не менше
100	315	315	570	17	38	39	207

ст. 144 [1]

1.2. Аналіз технологічності конструкції деталі

Аналіз технологічності проводиться з метою виявлення конструктивних недоліків за даними кресленика деталі. Деталь «Корпус нижній НПО-22.05.01.007» є тілом обертання. Матеріал деталі - легована конструкційна сталь 40Х, що відповідає технічному призначенню. Більшість поверхонь – зовнішні або внутрішні циліндричні поверхні з шорсткістю Ra 3,2, що відповідає загальноприйнятим методам обробки – точінню, свердлінню, фрезеруванню і шліфуванню. Поверхні деталі не складної конфігурації. Труднощів у виборі заготовки не виникає (штамповка або прокат).

Не складні геометричні форми дозволяють використовувати стандартний інструмент. На кресленні вказані всі потрібні вигляди і січення, а також проставлені всі технологічні вимоги.

В цілому деталь технологічна, що дозволяє проводити обробку загальноприйнятими методами обробки з використанням прогресивних режимів різання. Найбільш точними розмірами є поверхні 7, і 11 (Ø30H7 і Ø10H7); розміри 16F9 та 68H9. Таку точність і шорсткість можна отримати за допомогою чистового шліфування. Отвір (поверхня 4) отримується свердлінням, інші поверхні - точінням, тому в обробці деталі труднощів не виникає.

Оброблюваність різанням оцінюють за допомогою коефіцієнта оброблюваності різцями відносно еталонного матеріалу (сталь45 з $G_b=650\text{МПа}$; 197НВ):

$$K_v = V_{60} / V_{e60},$$

де V_{60} -швидкість різання матеріалу при 60 хвилинній стійкості інструменту;

V_{e60} - швидкість різання еталонного матеріалу при 60 - хвилинній стійкості інструменту;

Згідно [9; с.29-34]:

$$V_{60}=111\text{м/хв}; V_{e60}=115\text{м/хв};$$

$$K_v=111/115=0,965;$$

Отримане значення свідчить про добру оброблюваність різанням сталі 40 Х.

Аналіз технологічності даної деталі проводимо згідно методики [1; с.12]:

					МР.ПМК-007.00.000.000 ПЗ	Арк.
Змн.	Арк.	№ докум.	Підпис	Дата		8

- 1) Конструкція деталі допускає обробку на прохід плоских зовнішніх циліндричних поверхонь 10, 16, 19, 30;
- 2) Конструкція деталі допускає обробку на прохід отворів 19-26, 31-32;
- 3) Вільний доступ інструменту можливий при обробці всіх поверхонь;
- 4) Не під прямим кутом відносно інших поверхонь розміщені фаски 1, 3, 9, 11, 15, 17, решту поверхонь розміщені або під прямим кутом, або паралельно;
- 5) В конструкції деталі відсутні отвори, які розміщені не під прямим кутом до площини входу;
- 6) Жорсткість деталі достатня, і на режими різання не впливає;
- 7) Внутрішні отвори не великого діаметра;
- 8) Обробка всіх поверхонь деталі з однієї установки не можлива через протилежність взаємного розміщення поверхонь, які служать технологічними базами;
- 9) В конструкції деталі є достатні за розмірами, точністю і відстанню між собою поверхні, які служитимуть постійними чистовими базами.

					МР.ПМК-007.00.000.000 ПЗ	Арк.
Змн.	Арк.	№ докум.	Підпис	Дата		9

В таблиці 1.3. приводимо можливі варіанти механічної обробки деталі

Таблиця 1.3

Пов. або група пов.	Варіанти методів обробки поверхонь, обладнання, пристрій
1	2
1;2;3;4;5;6;7; ;8;9;10; 11; 12; 13; 14; 15;16;17;18; 27;28;	1)точіння на токарно-гвинторізному верстаті а) універсальному прохідним відігнутих різцем; б) з ЧПК прохідним відігнутих різцем або різцем для контурного точіння;
29	2)точіння прохідним на токарно-револьверному верстаті а) універсальному прохідним відігнутих різцем; 1) тонке точіння на токарно-гвинторізному верстаті а) спеціальним розточним різцем; б) з ЧПК розточним різцем або різцем для контурного точіння; 2)внутрішнє шліфування ; а) попереднє і кінцеве; 3) протягування на протяжному верстаті;
19-26; 30-31	1)обробка на вертикально-свердлильному верстаті а) кондукторі; б) в спеціальному поворотному пристрої; 2)обробка на вертикально-свердлильному верстаті з ЧПК в свердлильному пристрої;
32	1) обробка на вертикально-фрезерному верстаті в спеціальному пристрої кінцевою фрезою; 2) обробка на горизонтально-фрезерному верстаті в тисках дисковою фрезою;

1.3.Визначення програми випуску деталей та типу виробництва і кількості деталей в партії

Початкові дані: деталь – «Корпус нижній НПО-22.05.01.007»; маса деталі 3.5 кг; тип виробництва - середньосерійний.

Таблиця 1.4.-Трудомісткість операцій

№ і назва операції	Т шт.,хв.	№ і назва операції	Т шт.,хв.
1	2	3	4
010.Заготівельна		045 Вертикально-фрезерна	16,8
015.Токарна зЧПК	15,3	050Термічна	
020. Токарна з ЧПК	10,4	055 Внутрішньошліфувальна	6,2
025. Токарна з ЧПК	8,8	060.Контрольна	
030. Токарна з ЧПК.	6,7		
035.Вертикально-свердлильна з ЧПК	18,4		
040 Вертикально-свердлильна з ЧПК	8,6		

Середній штучний час:

$$T_{шт.сер.} = \sum T_{шт.} / n, \text{ хв}$$

де n- кількість операцій; n=15;

$\sum T_{шт.}$ - сумарний штучний час, хв;

$$T_{шт.сер.} = (15,3 + 10,4 + 8,8 + 6,7 + 18,4 + 16,8 + 8,6 + 6,2) / 11 = 8,29 \text{ хв};$$

Такт випуску деталей:

$$t_{в} = K_{з} \cdot T_{шт.сер.}, \text{ хв}$$

де $K_{з}$ - коефіцієнт закріплення операцій;

Для середньосерійного виробництва $11 < K_{з} \leq 20$ [1; с.15];

Приймаємо $K_{з} = 15$;

$$t_{в} = 15 \cdot 8,29 = 124,35 \text{ хв};$$

Річна програма випуску деталей:

$$N = F_{д} \cdot 60 / t_{в}, \text{ шт.}$$

Де $F_{д}$ - дійсний річний фонд робочого часу устаткування, год;

Згідно [2.с.22; Табл..2.1.] $F_{д} = 4029$ год;

$$N = 4029 \cdot 60 / 124,35 = 1698,2 \text{ шт};$$

Приймаємо: $N = 1700$ шт;

					МР.ПМК-007.00.000.000 ПЗ	Арк.
Змн.	Арк.	№ докум.	Підпис	Дата		11

Розрахункова кількість деталей в партії:

$$n_d = N \cdot a / F, \text{ шт.}$$

де а- періодичність запуску виробів (3; 6; 12; 24)

Приймаємо $a=12$ днів;

F-число робочих днів в році; $F=253$ днів

$$n_d = 1700 \cdot 12 / 253 = 80 \text{ штук}$$

Розрахункове число змін на обробку партії деталей:

$$C = T_{\text{шт.сер.}} \cdot n_d / 480 \cdot 0,8$$

Де 480- дійсний фонд часу робочого обладнання за зміну, хв;

0,8- нормативний коефіцієнт завантаження верстатів в серійному виробництві;

$$C = 8,29 \cdot 80 / 480 \cdot 0,8 = 1,72;$$

Прийнята кількість змін $C_{\text{пр.}} = 2$ зміни;

Прийнята кількість деталей в партії:

$$n_{\text{пр}} = C_{\text{пр.}} \cdot 480 \cdot 0,8 / T_{\text{шт.сер.}}, \text{шт.}$$

$$n_{\text{пр}} = 2 \cdot 480 \cdot 0,8 / 8,29 = 92,6;$$

Приймаємо: $n=90$ штук;

Річна програма випуску деталей:

$$N = n_{\text{пр}} \cdot F / a, \text{ шт.}$$

$$N_{\text{пр}} = 90 \cdot 253 / 12 = 1897 \text{ шт.}$$

Приймаємо річну програму випуску деталей кратну кількості деталей в партії:

$$1897 / 80 = 23,7;$$

$$K_{\text{ПР}} = 90 \cdot 24 = 2160;$$

Прийняті: річна програма в межах 501...5000 яка при масі деталі 3.8 кг відповідає середньосерійному типу виробництва, заданому в проекті

$$N_{\text{пр}} = 2160 \text{ штук.}$$

Кількість деталей в партії $n_{\text{пр}} = 90$ штук.

					MP.ПМК-007.00.000.000 ПЗ	Арк.
						12
Змн.	Арк.	№ докум.	Підпис	Дата		

1.4 Аналіз базового ТП і запропоновані зміни для покращення технології виготовлення

1.4.1 Техніко-економічне обґрунтування вибору заготовки

Поковка

Визначення розмірів, маси кованої заготовки проводимо згідно ДСТУ 7505:2009.

Вихідні дані:

матеріал – сталь 40Х

маса деталі – 3.5 кг.

1. Вибираємо закритий штамп.
2. Визначаємо клас точності.

Клас точності Т4 – тб. 19 ст. 28 [5].

3. Встановлюємо групу сталі

Сталь 40Х відносять до групи М2 – тб. 1 ст. 8 [5].

4. Визначаємо степінь складності поковки – С1 ст. 30 [5].

$$M_{\text{розрах.}} = m_{\text{дет.}} \cdot K_p, \text{ де } K_p = 1,5 \div 1,8.$$

K_p – розрахунковий коефіцієнт, приймаємо 1,8.

$$\text{Звідси } m_{\text{заг.}} = 3.5 \cdot 1,8 = 6.3 \text{ кг}$$

4.1. Визначаємо масу фігури, яка описує цю заготовку – це циліндр з розмірами:

$$\varnothing 165 \cdot 1,05$$

$$\ell 78 \cdot 1,05, \text{ де } 1,05 \text{ коефіцієнт}$$

$$\varnothing_k 173,52 \text{ мм}$$

$$\ell_k 81,9 \text{ мм}$$

$$R_k 86,75 \text{ мм}$$

$$V = \pi R_k^2 \cdot l_k$$

$$V = 3,14 \cdot 86,75^2 \cdot 81,9 = 1935,3 \text{ см}^3$$

Прокат

Вибираємо прокат круглого перерізу із звичайної точності.

Сталь 40Х

1. Максимальний діаметр деталі – 165f9.

Поверхню такої точності можна отримати після чорнового, напівчистового точіння.

2. Для визначення вихідного діаметру заготовки складаємо таблицю.

Розмір	Припуск	Допуск		Прийнятий розмір
		«+»	«-»	
Ø 165	4	0,6	1,7	Ø 169 ^{+0,6} _{-1,7}
78	4	2,5	2,5	82±2,5

МР.ПМК-007.00.00.000 ПЗ

Змін.

Арк.

№ докум.

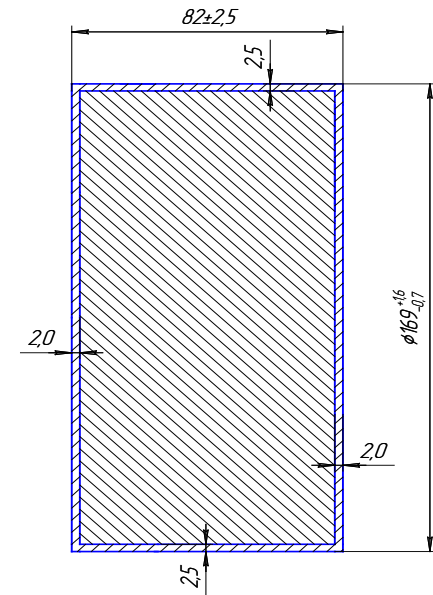
Підпис

Дата

Арк.

Змн.	Арк.	№ докум.	Підпис	Дата
МР.ПМК-007.00.00.000 ПЗ				
	Арк.			

3. Виконуємо ескіз заготовки.



3. Виконуємо ескіз заготовки.
Рисунок.1.2 ескіз заготовки

4.2. Знаходимо масу даної фігури.

$$M_{\text{фігури}} = V \cdot \rho; \rho \text{ для сталей} - 7,85 \text{ г/см}^3$$

4. Вибираємо прокат звичайної точності $\phi 170^{+0.6}_{-1.7}$ по ДСТУ2590:2001.

5. Знаходимо масу заготовки.

Змін.	
Арк.	
№ докум.	
Підпис	
Дата	
МР.ПМК-007.00.00.000 ПЗ	
Арк.	

$$M_{\text{фігури}} = 1935.3 \cdot 7,85 = 15.1 \text{ кг}$$

4.3. Знаходимо відношення маси заготовки до маси фігури.

$$\frac{M_z}{M_{\text{ф.}}} = \frac{6.3}{15.1} = 0.41$$

4.4. Знаходимо степінь складності деталі. ст. 30 [5]

Якщо відношення маси заготовки до маси фігури 0,73, то степінь складності С2.

5. Визначаємо вихідний індекс заготовки. ст. 10 тб. 2 [5]

Вихідний індекс – 9.

6. Визначаємо конфігурацію поверхні роз'єму штампа – ст. 8 тб. 1 [5]

Конфігурація роз'єму П (плоска).

7. Визначаємо припуски і ковальські напуски по тб. 3 [5].

7.1. Знаходимо основні припуски:

2.3 - Ø 68мм і чистота поверхні 6.3

2.5 - Ø 165мм і чистота поверхні 12.5

1.9– 78 мм і чистота поверхні 12.5

1.7 – 21,6мм і чистота поверхні 3,2

7.2. Знаходимо додаткові припуски, які враховують відхилення від площинності.

Додатковий припуск становить 0,2 - ст. 14 тб. 4 [5]

7.3. Знаходимо розміри штамповки.

$$\text{Ø } 165\text{f}11 + (2.3 + 0,2) \cdot 2 = 170 \text{ мм}$$

$$\text{Ø } 68\text{H}9 - (2.2 + 0,2) \cdot 2 = 63,2 \text{ мм}$$

$$78 + (1,9 + 0,2) \cdot 2 = 82,2 \text{ мм}$$

$$21,6 - (1,7 + 0,2) - (1,9 + 0,2) = 19,5 \text{ мм}$$

8. Знаходимо заокруглення зовнішніх кутів. тб. 7 ст. 15 [5]

$$R = 2,5$$

9. Знаходимо допуски на штамповку – ст. 18 тб. 8 [5]

$$m_z = V_{\text{заг.}} \cdot \rho$$

$$V_{\text{заг.}} = \pi R^2 \cdot l$$

$$V_{\text{заг.}} = 3,14 \cdot 85^2 \cdot 82 = 1860 \text{ см}^3$$

де $V_{\text{заг.}}$ - об'єм заготовки.

$$m_z = 1320 \cdot 7.85 = 14.6 \text{ кг}$$

де ρ для сталей – 7,85 г/см³

6. Визначаємо коефіцієнт використання матеріалу.

$$k = \frac{m_{\text{дет.}}}{m_{\text{заг.}}}, \text{ де } m_{\text{дет.}} - \text{ маса деталі,}$$

$m_{\text{заг.}}$ - маса заготовки.

$$k = \frac{3.5}{14.6} = 0,23$$

7. Визначаємо собівартість заготовки.

$$C_{\text{заг.}} = C_n \cdot G_{\text{заг.}} - (G_{\text{заг.}} - G_{\text{дет.}}) \cdot C_{\text{відх.}};$$

де C_n – ціна 1 кілограма матеріалу заготовки.

$$C_n = 3,22 \text{ грн/кг}$$

[7]

$C_{\text{відх.}}$ - ціна 1 кілограма відходів (стружки).

$$C_{\text{відх.}} = 0,6 \text{ грн/кг}$$

[7]

$G_{\text{заг.}}$ – маса заготовки.

$G_{\text{дет.}}$ - маса деталі.

$$C_{\text{заг.}} = 3,22 \cdot 14.6 - (14.6 - 3.5) \cdot 0,6 = 40.35 \text{ грн.}$$

Змн.	
Арк.	
№ докум.	
Підпис	
Дата	

$\varnothing 165f11 - 170_{-1.3}^{+2.4}$
 $\varnothing 68H9 - 63.2_{-1.1}^{+2.1}$
 $78 - 82.2_{-1.1}^{+2.1}$
 $21,6 - 19.5_{-1.1}^{+1.8}$

Розмір	Припуск	Допуск		Прийнятий розмір
		«+»	«-»	
$\varnothing 165h11$	$(2.3 + 0,2) \cdot 2$	2,4	1,3	$170_{-1.3}^{+2.4}$
$\varnothing 68H14$	$(2.3 + 0,2) \cdot 2$	2,1	1,1	$63.2_{-1.1}^{+2.1}$
78	$(1,9 + 0,2) \cdot 2$	2,1	1,1	$82.2_{-1.1}^{+2.1}$
21,6	$(1,7 + 0,2) + (1,9 + 0,2)$	1,8	1,1	$19.5_{-1.1}^{+1.8}$

Виконуємо ескіз заготовки.

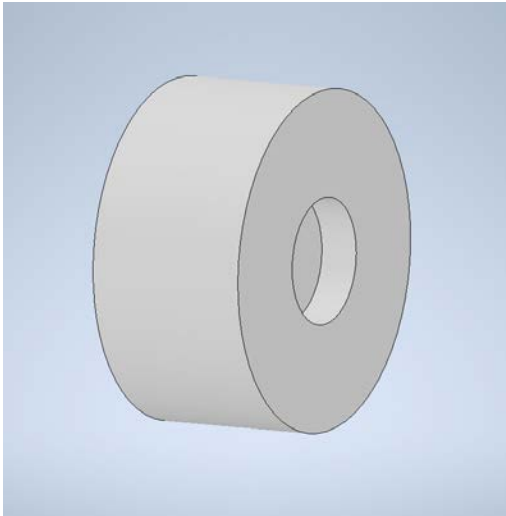
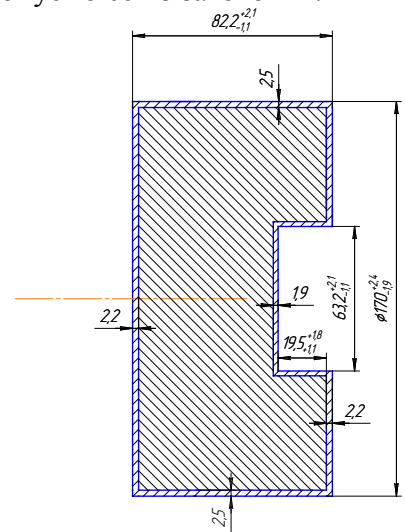


Рисунок.1.3 ескіз заготовки

- Вибираємо технічні вимоги.
1. Вихідний індекс – 9
 2. Степінь точності – Т4.

МР.ІПМК-007.00.00.000 ПЗ

Змн.	
Арк.	
№ докум.	
Підпис	
Дата	
МР.ІПМК-007.00.00.000 ПЗ	
Арк.	

3. Степінь складності – С2.
 4. Група сталі – М2.
 5. Для внутрішніх поверхонь - 2°; для зовнішніх поверхонь 1°. Тб. 18 ст.

26 [5]

12. Знаходимо масу заготовки:

$$m_{заг.} = V_{заг.} \cdot \delta, \text{ де } \delta - \text{питома густина для матеріалу заготовки.}$$

В нашому випадку:

$$V_{заг.} = V_1 - V_2$$

$$V_1 = \pi R_1^2 \cdot l_1 = 3,14 \cdot 85^2 \cdot 82,2 = 786,53 \text{ см}^3$$

$$V_2 = \pi R_2^2 \cdot l_2 = 3,14 \cdot 31,5^2 \cdot 19,5 = 60,7 \text{ см}^3$$

$$V_{заг.} = 786,53 - 60,7 = 725,83 \text{ см}^3$$

$$m_{заг.} = 786,83 \text{ см}^3 \cdot 7,85 \text{ г / см}^3 = 5697 \text{ г}$$

$$m_{заготовки} - 5,697 \text{ кг}$$

13. Знаходимо к використання металу.

$$k = \frac{m_{дет.}}{m_{заг.}}, \text{ де } m_{дет.} - \text{маса деталі, } m_{заг.} - \text{маса заготовки.}$$

$$k = \frac{3,5}{5,697} = 0,56$$

14. Знаходимо вартість заготовки.

$$C_{заг.} = C_n \cdot G_{заг.} - (G_{заг.} - G_{дет.}) \cdot C_{відх.};$$

де C_n – ціна 1 кілограма матеріалу заготовки.

$$C_n = 7,4 \text{ грн/кг} \quad [7]$$

$C_{відх.}$ - ціна 1 кілограма відходів (стружки).

$$C_{відх.} = 0,6 \text{ грн/кг} \quad [7]$$

$G_{заг.}$ – маса заготовки.

$G_{дет.}$ - маса деталі.

$$C_{заг.} = 7,4 \cdot 5,697 - (5,697 - 3,5) \cdot 0,6 = 40,77 \text{ грн.}$$

Порівняльна таблиця характеристики заготовок

Показники	Поковка	Прокат
Клас точності	T4	Звичайна точність
Маса заготовки	5.697	14.6
Коефіцієнт використання металу	0,56	0.23
Вартість заготовки	40,77	42.35

У нашому випадку доцільніше буде використовувати заготовку із поковки тому, що в неї на відміну від заготовки із прокату:

- високий коефіцієнт використання металу;
- значно менша ціна;
- менша маса заготовки.

МР.ІПК-007.00.00.000 ПЗ

Змін.

Арк.

№ докум.

Підпис

Дата

Арк.

1.4.2 Аналіз базового технологічного процесу виготовлення деталі і запропоновані зміни по поліпшенню технології виготовлення.

1.4.3 Опис і аналіз базового варіанту технологічного процесу.

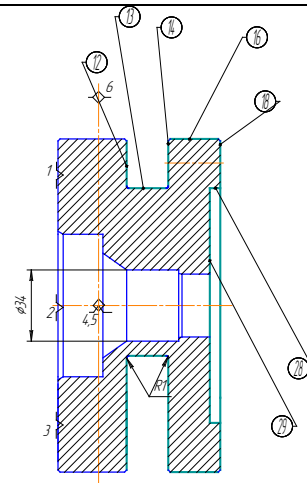
Опис базового варіанту технологічного процесу приводимо у вигляді таблиці 1.6.

Таблиця 1.6.- Технологія обробки корпусу за базовим технологічним процесом.

№ оп.	Назва та зміст оп-ії і переходів, інструмент	Тип і мод. облад.	Характеристика пристрою	Схема базування
1	2	3	4	5
015	<p>Токарна</p> <p>1 Підрізати торець нач исто (Різець 2112-0015 Т5К10 ДСТУ18880:2003)</p> <p>2 Центрувати торець (Свердло 2317-0008 ДСТУ 14952:2005)</p> <p>3 Обточити пов. до $\varnothing 165$ на довжині 34 (Різець 2103-0007 Т5К10 ДСТУ18880:2003)</p> <p>Штангенциркуль II-200-0.05 ДСТУ166:2009)</p> <p>4 Свердлити отв. $\varnothing 25$ (Свердло 2301-0087 ДСТУ10903:1997 Втулка 6100-0145 ДСТУ13598:2005)</p> <p>5 Розсвердлити отв. $\varnothing 45$ (Свердло 2301-0153 ДСТУ10903:1997)</p> <p>6 Розточити пов.4 $\varnothing 68$</p> <p>7 Розточити пов.7 $\varnothing 34$</p> <p>8 Розточити пов.30 $\varnothing 30$</p>	Токарно гвинторізний верстат 1А616	Патрон 7100-0009 ДСТУ 2675:2000	
020	<p>Токарна</p> <p>1 Підрізати торець в розмір 78 (Різець 2112-0015 Т5К10 ДСТУ18880:2003)</p> <p>Штангенциркуль I-125-0.1 ДСТУ166:2009)</p> <p>2 Обточити пов. до $\varnothing 165$ (Різець 2103-0007 Т5К10 ДСТУ18880:2003)</p>	Токарно-гвинторізний верстат 1А616	Патрон 7100-0009 ДСТУ 2675:2000	

Змн.	Арк.	№ докум.	Підпис	Дата
------	------	----------	--------	------

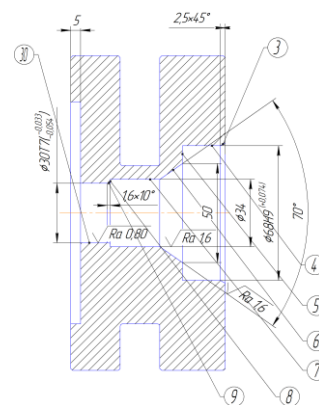
3 Розточити $\varnothing 112$ на глибину 5 (Різець 2130-0153Т5К10 ДСТУ18884:2003 Штангенциркуль II-200-0.05 ДСТУ166:2009)
4 Прорізати канавку до $\varnothing 113$ від торця на 25мм.



025 Токарна
1 Розточити пов.4 $\varnothing 68H9$ (Різець 2112-0015Т15К6 ДСТУ18880:2003 Штангенциркуль I-125-0.05 ДСТУ166:2009)
2 Розточити конічну пов.6 під кутом 70° (Різець 2103-0007 Т15К6 ДСТУ18879:2003)
3 Розточити пов.7 $\varnothing 34$
4 Точити фаску пов.9 1.6×10^0
5 Розточити пов.30 $\varnothing 30T7$ напрохід (Різець 2140-0073 Т15К6 ДСТУ18882:2003 Нутромір Н1 50-1 ДСТУ 868:2002)
6 Розточити фаску 2.5×45^0 по $\varnothing 68$

Токарно-гвинторізний верстат 1А616

Патрон 7100-0009 ДСТУ 2675:2000



Змн.	Арк.	№ докум.	Підпис	Дата
------	------	----------	--------	------

МР.ПМК-007.00.000.000 ПЗ

Арк.

20

030	<p>Токарна 1 Обточ. пов. До Ø165f9 (Різець 2103-0007 Т5К10 ДСТУ 18879:2003) (Мікрометр МК150- 175 ДСТУ 6507:2000) 2 Точити фаску 1x45° по Ø165 3 Точити фаску 1x45° по Ø165 4 Точити фаску 1x45° по Ø 165 5 Точити фаску 1x45° по Ø165</p>	Токарно-гвинторізнний верстат 1А616	Патрон 7100-0009 ДСТУ 2675:2000	
035	<p>Свердлильна 1 Свердлити 8 отв. Ø 15,7 (Свердло 2300-0186 ДСТУ 10902:1997 Штангенциркуль I- 125-0.1 ДСТУ 166:2009) 2 Зенкерувати 8 отворів Ø 16F9 (Зенкер 2353-0012 ДСТУ 14953:2000 Штангенциркуль I- 125-0.1 ДСТУ 166:2009)</p>	2А125	<p>Кондуктор К1621</p> <p>Кондуктор К1526</p>	

040	<p>Свердлильна 1 Свердлити 2 отв. Ø 9,5 (Свердло 2300-6177 ДСТУ10902:2007 Патрон 13-В 10-1 ДСТУ15935:2009) 2 Зенкерувати 2отворів Ø 10Н7 (Зенкер 2348- 0009 ДСТУ14953:2000 Штангенциркуль I-125- 0.1 ДСТУ166:2009) 3Розвертати 2 отв Ø10Н7(Розвіртка 4321- 0012 ДСТУ17871:2000)</p>	2А125	<p>Кондуктор 1323</p> <p>Кондуктор К1808</p> <p>Кондуктор К2102</p>	
045	<p>Вертикально-фрезерна 1 Фрезерувати пов.33в розмір 24 від осі(Фреза 2510-4027А ДСТУ 9324:2000)</p>	6Р82	Пристрій спеціальний	
050	Термічна			
055	<p>Внутрішньо- шліфувальна 1 Шліфувати пов.30 до Ø30Т7 напрохід (Круг 14А.3916 С2 9К ПП 40x20x16 ДСТУ2424:2005 Нутромір НІ 50-1 ДСТУ868:2002)</p>	3М227ВФ2	<p>Патрон 7100-0010 ДСТУ 2675:2000</p>	
060	Контрольна			

В базовому варіанті технологічного процесу використовуються верстатні пристрої, оснащені затискними елементами з ручними, як правило гвинтовими затискачами. Пристрої сконструйовані із значним запасом міцності.

При проектуванні удосконаленого технологічного процесу найкраще

					МР.ПМК-007.00.000.000 ПЗ		Арк.
Змн.	Арк.	№ докум.	Підпис	Дата			22

застосовувати механізований привід для затискання заготовки.

Металорізальне обладнання, що використовується, - універсальні верстати, і вимагають задіяння великої кількості верстатників і займають значні виробничі площі. Обладнання розташовано за технологічною ознакою (по групах верстатів), що не характерно для середньо-серійного виробництва.

Маршрутній технології притаманна низький рівень концентрації операцій. Інструмент, що використовується для обробки деталі, - стандартний.

При проектуванні проектного технологічного процесу на операції 015,020,025,030 (токарно-гвинторізна) змінюємо токарно-гвинторізний верстат 1А616 на більш продуктивний верстат з числовим програмним керуванням горизонтально-токарний **HAAS ST-25**.

Для забезпечення більшого рівня концентрації операцій доцільно об'єднати операції 015 та 020 і 025 та 030, оскільки це дозволяє кількість позицій в інструментальній головці.

Свердлильні операції 035,040 – ручне кріплення заготовки, ручне керування верстатом, та ручна зміна інструмента – можна усунути, застосувавши верстат з ЧПК, із автоматичною зміною та спеціальний пристрій з механізованим приводом.

Свердлильні операції реалізуються на радіально-свердлильному верстаті 2А125 за декілька установів в 5-х кондукторах. На операції 025 свердять і зенкують всі отвори. Вище згадані недоліки усуваються застосуванням свердлильного верстата з ЧПК **MAST Metalltechnik моделі М-КВМ 50** з автоматичною зміною інструменту.

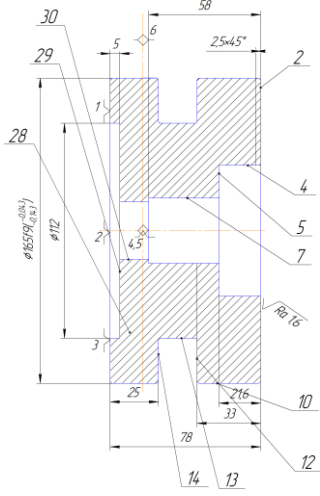
Остаточна обробка поверхні 30. Використовується спеціальний пристрій і вертикально-фрезерний верстат мод. **JET JTM-1050TS**.

Операція відповідає умовам заданого типу виробництва. Але на операції виявлені недоліки. Операцію 055 можна об'єднати з операцією 025 свердлильною з ЧПК, так як верстат є точним і вимоги по шорсткості і заданій точності досягаються заміною інструменту, що дозволяє позиційність револьверної головки.

					MP.ПМК-007.00.000.000 ПЗ	Арк.
Змн.	Арк.	№ докум.	Підпис	Дата		23

1.4.4 Опис проєктного варіанту технологічного процесу.

Таблиця 1.7- Технологія обробки корпусу за проєктним технологічним процесом

№ оп.	Назва та зміст операції і переходів, інструмент	Тип і модель обладнання	Характеристика пристрою	Схема базування
1	2	3	4	5
015	<p>Токарна з ЧПК</p> <p>1 Підрізати торець як чисто (Різець2112-0015 T5K10 ДСТУ18880:2003)</p> <p>2 Центрувати торець (Свердло 2317-0008 ДСТУ14952:2005)</p> <p>3 Свердлити отв. Ø 25 (Свердло 2301-0087 ДСТУ10903:2007)</p> <p>Втулка 6100-0145 ДСТУ13598:2005)</p> <p>4Розсвердлити отв. Ø 45 (Свердло 2301-0153 ДСТУ10903:2007)</p> <p>5Розточити пов.4 (Ø 68)</p> <p>6 Розточити пов.7 (Ø 34)</p> <p>7Розточити пов.30 (Ø 30)</p> <p>8 Переустановити і закріпити деталь</p> <p>9 Підрізати торець в розмір 78 (Різець2112-0015T5K10 ДСТУ18880:2003</p> <p>Штангенциркуль I-125-0.1 ДСТУ166:2009)</p> <p>10 Обточити пов. до Ø 165 (Різець2103-0007 T5K10 ДСТУ18879:2003)</p> <p>11 Розточити пов.28 (Ø 112) на глибину 5 (Різець 2130-0153 T5K10 ДСТУ18884:2003</p> <p>Штангенциркуль II-200-0.05ДСТУ166:2009)</p> <p>12 Прорізати канавку до Ø 112 від торця на 25мм.</p>	Токарний з ЧПК мод. HAAS ST-25	Патрон 7100-0009 ДСТУ 2675:2000	

Змн.	Арк.	№ докум.	Підпис	Дата
------	------	----------	--------	------

MP.ПМК-007.00.000.000 ПЗ

Арк.

24

020	<p>Токарна з ЧПК 1 Обточити пов. до $\varnothing 165f9$ (Різець2103-0007 T5K10 ДСТУ18879:2003) (Мікрометр МК150-175ДСТУ 6507:2010) 2 Точити фаску $1 \times 45^{\circ}$ по $\varnothing 165\text{мм}$ 3 Переустановити і закріпити деталь 4 Розточити фаску (пов. 3) $2,5 \times 45^{\circ}$ по $\varnothing 68$ 5 Розточити пов. $4 \varnothing 68H9$ (Різець2112-0015 T15K6 ДСТУ18879:2003 Штангенциркуль I-125-0.05 ДСТУ166:2009) 6 Розточити конічну пов. 6 під кутом 70° (Різець2103-0007 T15K6 ДСТУ18879:2003) 7 Розточити пов. 7 ($\varnothing 34$) 8 Точити фаску (пов. 9) $1.6 \times 10^{\circ}$ 9 Розточити пов. 30 ($\varnothing 30H7$) на прохід (Різець 2140-0073T15K6 ДСТУ18879:2003 Нутромір Н1 50-1 ДСТУ 868:2002)</p>	Токарний з ЧПК мод. HAAS ST-25	Патрон 7100-0010 ДСТУ2675:2000	
-----	---	--------------------------------	--------------------------------	--

Змн.	Арк.	№ докум.	Підпис	Дата
------	------	----------	--------	------

МР.ПМК-007.00.000.000 ПЗ

Арк.

25

025	<p>Свердлильна 1 Свердлити 8 отворів Ø 15,7 (Свердло 2300-0186 ДСТУ10902:2007 Штангенциркуль I-125-0.1 ДСТУ166:2009)</p> <p>2 Зенкерувати 8 отворів Ø 16F9 (Зенкер 2353-0012 ДСТУ 14953:2000 Штангенциркуль I-125-0.1 ДСТУ166:2009)</p> <p>3.Свердлити отв.до Ø30 напрохід (Свердло 2300-6179 ДСТУ10902:2007 Патрон 13-В 10-1 ДСТУ 15935:2009) Нутромір НІ 50-1 ДСТУ868:2002</p> <p>4 Переустановити і закріпити деталь</p> <p>5 Свердлити 2 отв. Ø 9,5 (Свердло 2300-6177 ДСТУ10902:2007 Патрон 13-В 10-1 ДСТУ 15935:2009)</p> <p>6.Зенкерувати 2отворів Ø 10Н7 (Зенкер 2348-0009 ДСТУ 14953:2000 Штангенциркуль I-125-0.1 ДСТУ 166:2009)</p> <p>7.Розвертати 2 отвори Ø 10Н7(Розвертка 4321-0012 ДСТУ17871:2000)</p>	Свердлильний з ЧПК мод. М-КВМ 50	Патрон 7100-0010 ДСТУ2675:2000	
030	Вертикально-фрезерна 1Фрезерувати пов.33в розмір 24 від осі(Фреза 2510-4027А ДСТУ9324:2000)	Вертикально-фрезерний верстат мод. JET JTM-1050TS.		
040	Термічна			
045	Контрольна			

1.5 Розробка операційної технології

1.5.1 Розрахунок припусків на механічну обробку

Розраховуємо припуски на механічну обробку аналітичним методом на поверхню 13 розміром $\varnothing 30H7^{+0,025}$. На решту поверхонь припуски назначаємо нормативним методом.

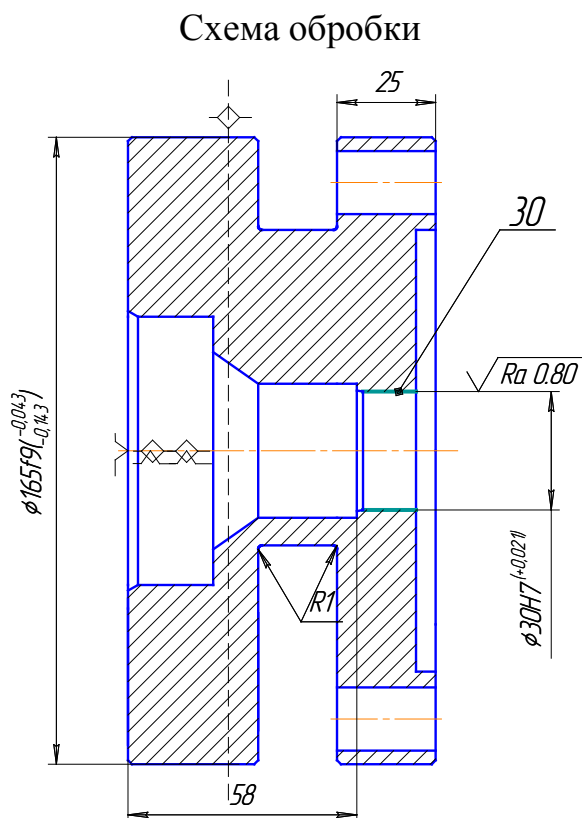


Рисунок.1.4 Схема обробки

1) Початкові дані:

Заготовка-поковка;

Маса деталі-3.5 кг;

2) Послідовність обробки:

-чорнове точіння;

-чистове точіння;

При обробці деталь встановлюється у трикулачковому патроні, а при свердлінні – у повідковому патроні.

Базами для обробки даної поверхні служать поверхні 4, 10.

					МР.ПМК-007.00.000.000 ПЗ	Арк.
Змн.	Арк.	№ докум.	Підпис	Дата		27

3) Мінімальні значення припусків для внутрішньої циліндричної поверхні:

$$2Z \min = 2((R_{z-1} + h_{i-1}) + \sqrt{\Delta E_{i-1}^2 + E_i^2})$$

де R-висота нерівностей, мкм;

h-глибина дефектного шару, мкм;

Δ -просторові відхилення, мкм;

E-похибка установки заготовки, мкм;

Якість поверхонь визначаємо по [2]табл.27.с.190.

Для кованих заготовок сумарне значення:

$$Rz+h=360\text{мкм.}$$

Після чорнового розточування :

$$Rz=40\text{мкм}; h=40\text{мкм};$$

Після чистового розточування :

$$Rz=20\text{мкм}; h=20\text{мкм}; [2]\text{табл.27.с.190}$$

Після внутрішнього шліфування :

$$Rz=5\text{мкм}; h=10\text{мкм};$$

Сумарне значення просторових відхилень:

$$\Delta_E = \sqrt{\Delta_{En}^2 + \Delta_{zm}^2}$$

$$\Delta_{En} = \Delta_k \cdot L$$

L=51мм-довжина оброблюваного отвору, мм; (див. креслення деталі);

питома кривизна $\Delta_k=0,6$ мкм/мм;

$$\Delta_{En}=0,6 \cdot 51=30,6 \text{ мм};$$

Сумарне зміщення отвору являє собою геометричну складову в двох взаємно-перпендикулярних площинах:

$$\Delta_{zm} = \sqrt{\left(\frac{\delta_1}{2}\right)^2 + \left(\frac{\delta_2}{2}\right)^2}$$

де δ_1 і δ_2 -допуск на розміри 76-0,74 і 38±0,31, які визначають взаємне розташування отвору відносно інших поверхонь;

$$\Delta_{zm} = \sqrt{\left(\frac{740}{2}\right)^2 + \left(\frac{620}{2}\right)^2} = 483\text{мкм};$$

					МР.ПМК-007.00.000.000 ПЗ	Арк.
Змн.	Арк.	№ докум.	Підпис	Дата		28

$$\Delta_E = \sqrt{30.6^2 + 48.3^2} = 571_{\text{мкм}};$$

Похибка установки заготовки згідно [2]С.41:

$$E_y = \sqrt{E_6^2 + E_3^2}$$

де E_3 -похибка закріплення заготовки в пристрої для поперечного напрямку, мкм;

E_6 -похибка закріплення заготовки в пристрої для осевого напрямку, мкм

$$E_6 = 50 \text{ мкм}$$

Похибка закріплення згідно [2].с.41.Табл.12 $E_3 = 30_{\text{мкм}}$;

$$E_y = \sqrt{50^2 + 30^2} = 58.3_{\text{мкм}}$$

Проміжні значення просторових відхилень згідно [1].с.73:

$$\Delta_E = \Delta_{\text{П}} \cdot k,$$

де K_y - коефіцієнт уточнення форми;

для чорнового розточування $K_y = 0,06$;

для чистового розточування $K_y = 0,04$;

для тонкого розточування $K_y = 0,06$;

після чорнового розточування :

$$\Delta_{E2} = 0,06 \cdot 571 = 18.36_{\text{мкм}};$$

після чистового розточування

$$\Delta_{E3} = 0,04 \cdot 571 = 12.24_{\text{мкм}};$$

після шліфування :

$$\Delta_{E4} = 18.36;$$

Похибка установки заготовки на проміжних переходах: при чистовому розточуванні згідно [2].с.85:

$$E_2 = 0,05 \cdot E_1 + E_{\text{інд}}$$

Чорнове і чистове розточування проводиться з різних установок, тому похибка індексації $E_{\text{інд}} = 0$;

$$E_2 = 0,05 \cdot 306 = 15.3_{\text{мкм}};$$

$$E_3 = E_{\text{інд}} = 0;$$

Мінімальні значення припусків:

					МР.ПМК-007.00.000.000 ПЗ	Арк.
Змн.	Арк.	№ докум.	Підпис	Дата		29

-шліфування:

$$2z_{\min 1}=2(20+20+12.24+0)=104.48\text{мкм};$$

-чистове розточування:

$$2z_{\min 2}=2(40+40+18.36+15.3)=227.32\text{ мкм};$$

-чорнове розточування:

$$2z_{\min 3}=2(600+571+583)=3508\text{ мкм};$$

Розрахункові розміри, починаючи з кінцевого $\varnothing 47\text{H}7^{+0,025}$, визначаємо за формулою:

$$D_{p_i}=D_{p_{i+1}}-2z_{\min i}+1;$$

-для чистового розточування:

$$D_{p_2}=30,025-0,104=29,921\text{мм};$$

-для чорнового розточування:

$$D_{p_3}=29.921 - 0,227=29.694\text{мм};$$

-для заготовки:

$$D_{p_4}=29.694-3.508=26.19\text{мм};$$

Найбільші граничні розміри:

-готової поверхні:

$$D_{\max 1}=30,025\text{мм};$$

-після чистового розточування:

$$D_{\max 2}=29.937\text{ мм};$$

-після чорнового розточування:

$$D_{\max 3}=29.854\text{ мм};$$

-заготовки:

$$D_{\max 4}=26.79\text{мм};$$

Номинальні граничні розміри:

$$D_{\min i}=D_{\max i}-\delta_i,$$

де δ_i -допуск на заданий розмір;

-готова поверхня:

$$\delta=0,025\text{мм (за H7)}\quad D_{\min 1}=30.025-0,025=30\text{мм};$$

-після чистового розточування:

					МР.ПМК-007.00.000.000 ПЗ	Арк.
Змн.	Арк.	№ докум.	Підпис	Дата		30

$$b=0,16\text{мм (по Н9)} D_{\min 2}=29.937-0,16=29.777\text{мм};$$

-після чорнового розточування: $b=0,62\text{мм (по Н14)}$

$$D_{\min 3}=29.854-0,62=29.234\text{мм};$$

-заготовки:

$$b=1.6\text{мм } D_{\min 4}=26.79-1.6=25.19\text{мм};$$

Мінімальні граничні значення припусків $z_{\min \text{пр}}$ рівні різниці найбільших граничних розмірів виконуваного і попереднього переходів, а максимальні значення $z_{\max \text{пр}}$ -відповідно різниці найменших розмірів:

-для шліфування:

$$2z_{\min \text{пр}1}=30.025-29.937=0,088\text{мм};$$

$$2z_{\max \text{пр}1}=30-29.777=0,223\text{мм};$$

-для чистового розточування:

$$2z_{\min \text{пр}2}=29.937-29.854=0,083\text{мм};$$

$$2z_{\max \text{пр}2}=29.777-29.234=0,543\text{мм};$$

-для чорнового розточування:

$$2z_{\min \text{пр}3}=29.854-26.79=3.06\text{мм};$$

$$2z_{\max \text{пр}3}=29.234-25.19=4.04\text{мм};$$

Результати розрахунку заносимо в таблицю

Загальні припуски z_{\min} і z_{\max} визначаємо, як суму проміжних припусків:

$$2z_{\min}=0,088+0,083+3.06=3.231\text{мм};$$

$$2z_{\max}=0,223+0,543+4.04=4.806\text{мм};$$

Загальний номінальний припуск:

$$2z_{\text{оном}}=2z_{\min}+BD_3-BD_d,$$

де BD_3 і BD_d -верхні відхилення по розмірах на заготовку і готову поверхню;

$$2z_{\text{оном}}=3.231+1.6-0,025=4.806\text{мм};$$

$$D_{\text{оном}}=D_{\text{дном}}-2z_{\text{оном}}=30-4.806=25.194\text{мм};$$

Перевірка правильності виконаних розрахунків:

$$2z_{\max \text{пр}1}-2z_{\min 1}=0,223-0,088=0,135; \quad b_2-b_1=0,16-0,025=0,135;$$

					МР.ПМК-007.00.000.000 ПЗ	Арк.
Змн.	Арк.	№ докум.	Підпис	Дата		31

$$2Z_{\max\text{пр}2} - 2Z_{\min2} = 0,543 - 0,083 = 0,46;$$

$$\delta_3 - \delta_2 = 0,62 - 0,16 = 0,46;$$

$$2Z_{\max\text{пр}3} - 2Z_{\min3} = 3,04 - 2,06 = 0,98;$$

$$\delta_4 - \delta_3 = 1,6 - 0,62 = 0,98;$$

На основі даних розрахунків будуємо схему графічного розташування припусків і допусків на обробку отвору.

Таблиця 1.8-Розрахунок припусків на механічну обробку поверхні 30

Технологічні переходи обробки поверхні	Елементи припуску, мкм				2Z _{min} , мм	δ, мм	Граничні розміри, мм		Граничні припуски, мм	
	Rz	T	ρ	E			d _{min}	d _{max}	2Z _{min}	2Z _{max}
Заготовка	580		571			1.6	25.19	26.79		
Розточ-ня:										
-чорнове	40	40	18.36	583	3.508	0,62	29.234	29.854	3.06	4.04
-чистове	20	20	12.24	15.3	0.083	0,16	29.777	29.937	0.083	0.543
Свердління тонке	5	10	18.36	0	0.088	0,025	30	30.025	0.088	0.223

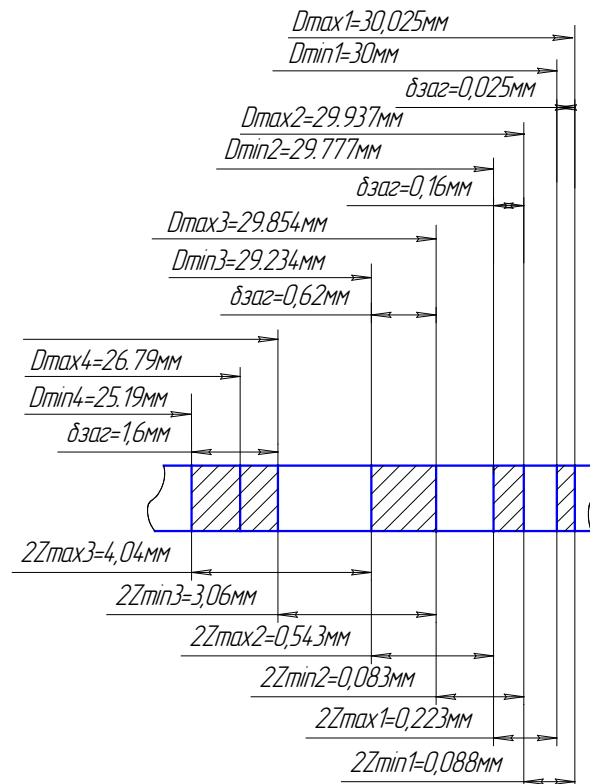


Рисунок 1.5.-Схема розміщення допусків і припусків на обробку поверхні 30

На решту поверхонь припуски і допуски назначаємо по таблицях.

Припуски вибираємо у відповідності з ДСТУ7505:2009, заносимо їх в таблицю.

Таблиця 1.9.-Табличні припуски на розміри «Корпус нижній НПО-22.05.01.007»

№пов.	Розмір, мм	Припуск, мм	Допуск, мм
1	2	3	4
1, 11,15,17	1.х45°	2·1.6	1.6
2	78±0,13	2,1*2	0.26
3	2,5х45°	2·3	0,03
4	Ø 68H9(+0,074)	2,2·2	0,074
5	21,6	1,9*2,1	0.74
10	165f9(-0,043 -0,143)	2,5*2	0,186

Необхідно вибрати припуски на розмір Ø 165 f9(+0,074). Максимальний діаметр заготовки, розрахований по ДСТУ7505:2009, становить Ø 170мм.

Припуск на сторону становить 2,5 мм, отже припуск на діаметр – 5мм.

Встановлюємо допуск на розмір Ø 168 H9. Він становить 0.074. Отже кінцевий розмір: Ø 168 H9^{+0,074}.

По аналогії проводимо призначення припусків на інші поверхні.

1.5.2 Розрахунок режимів різання, основного та допоміжного часу

Проводимо розрахунок режимів різання розрахунково-аналітичним методом для чорнового розточування отвору Ø 30H7^{+0,025}:

Початкові дані:

-обладнання: токарний верстат з ЧПК мод. HAAS ST-25;

- інструмент: токарний різець

геометричні параметри: φ=45°; γ=0; λ=5°; α=12°; l=10мм; bxh=10x10мм; r=1мм;

матеріал заготовки **40X ДСТУ 4543:2011**; 56 HRC; Gв=412МПа;

1)Довжина обробки l = 51 мм.

2)глибина різання рівна найбільшому припуску: t=h=3.117мм;

3)Вибираємо подачу: згідно [3], с. 267, табл. 12 S = 0,1 мм/об

4)період стійкості різця: при одно інструментальній обробці T = 60 хв ([3], ст. 279, табл. 30)

					MP.ПМК-007.00.000.000 ПЗ	Арк.
Змн.	Арк.	№ докум.	Підпис	Дата		33

5) Швидкість різання при розточуванні вираховується по формулі:

$$V = \frac{C_v}{T^m \cdot t^x \cdot S^y} \cdot K_v,$$

де: $C_v = 420$ ([1], ст. 269, табл. 17) – показник степеня;

$m = 0,2$ ([1], ст. 269, табл. 17) – показник степеня;

$x = 0,15$ ([1], ст. 269, табл. 17) – показник степеня;

$y = 0,2$ ([1], ст. 269, табл. 17) – показник степеня;

Враховуємо поправочний коефіцієнт ([3], ст. 270, табл. 17, Примітка), так як точіння внутрішнє: $K = 0,9$.

K_v - поправочний коефіцієнт на швидкість різання;

$$K_v = K_M \cdot K_r \cdot K_i \cdot K_{\phi_1} \cdot K$$

де: K_M – коефіцієнт, який враховує оброблюваний матеріал;

K_i – коефіцієнт, який враховує інструментальний матеріал;

K_{ϕ_1} – коефіцієнт, який враховує довжину отвору;

де: K_r – коефіцієнт, який характеризує групу сталі по оброблюваності;

ν – показник степеня;

$\sigma_B = 412$ МПа – фактичні параметри, що характеризують оброблюваний матеріал.

$K_r = 0,94$ ([3], ст. 262, табл. 2);

$\nu = 1$ ([1], ст. 262, табл. 2);

$K_{\phi_1} = 0,8$ ([1], ст. 263, табл. 5)

$$K_M = 1 \cdot (750/412)^1 = 1,82;$$

$K_i = 0,65$ ([1], ст. 263, табл. 6);

$K_{\phi_1} = 1$ ([1], ст. 271, табл. 18).

$$K_v = 1,82 \cdot 0,94 \cdot 0,65 \cdot 0,7 \cdot 1 = 0,62$$

$$V = 412 \cdot 0,62 / 51 \cdot 0,2 \cdot 3,117 \cdot 0,15 \cdot 0,1 \cdot 0,2 = 165,46 \text{ м/хв}$$

Частота обертів шпинделя, яка відповідає знайденій швидкості різання:

$$n = \frac{1000 \cdot V}{\pi \cdot D}, \text{ хв}^{-1};$$

$$n = \frac{1000 \cdot 165,46}{3,14 \cdot 47} = 480 \text{ хв}^{-1};$$

					МР.ПМК-007.00.000.000 ПЗ	Арк.
Змн.	Арк.	№ докум.	Підпис	Дата		34

Коректуємо частоту обертання згідно паспортних даних верстата

$$n=1250\text{хв}^{-1};$$

Дійсна подача

$$S_{\text{хв}}=S_0 \cdot n=0,1 \cdot 1250=125\text{мм/хв.};$$

Згідно паспортних даних верстата при безступінчастому регулюванні подач дійсна подача становить: $S_{\text{хв}}=125\text{мм/хв.};$

Сила різання:

$$P_z = 10 \cdot C_p \cdot t^x \cdot S^y \cdot V^n \cdot K_p, H$$

де: $C_p = 300$ ([3], ст. 273, табл. 22) – коефіцієнт;

$x = 1$ ([3], ст. 273, табл. 22) – показник степеня;

$y = 0,75$ ([3], ст. 273, табл. 22) – показник степеня;

$n = -0,15$ ([3], ст. 273, табл. 22) – показник степеня

$$K_p = K_{\text{мр}} K_{\square} \cdot K_{\gamma p} K_{\lambda p} K_{\rho} ,$$

$$K_{\text{мр}}=(\sigma_B/750)^n$$

де: $\sigma_B = 412$ Мпа – фактичні параметри, що характеризують оброблюваний матеріал;

$n = 0,75$ ([3], ст. 264, табл. 9) –

Показник степеня.

$$K_{\text{мр}}=(412/750)=0,638;$$

$$K_{\square} = 1 \text{ ([3], ст. 275, табл. 23)};$$

$$K_{\gamma p} = 1 \text{ ([3], ст. 275, табл. 23)};$$

$$K_{\lambda p} = 1 \text{ ([3], ст. 275, табл. 23)};$$

$$K_{\rho} = 0,93 \text{ ([1], ст. 275, табл. 23)}.$$

$$K_p = 0,638 \cdot 1 \cdot 1 \cdot 1 \cdot 0,93 = 0,593;$$

$$P_z=10 \cdot 300 \cdot 3,117^1 \cdot 0,1^{0,75} \cdot 156,67^{0,75} \cdot 0,593=246,39\text{Н};$$

Потужність різання визначаємо за формулою:

$$N_{\text{різ}}=P_z \cdot V/1020 \cdot 60=246,39 \cdot 156,67/1020 \cdot 60=0,631\text{кВт};$$

Згідно знайденої потужності різання проводимо перевірку достатності потужності верстата за умовою:

$$N_{\text{різ}} < N_{\text{шп}}$$

					МР.ПМК-007.00.000.000 ПЗ	Арк.
Змн.	Арк.	№ докум.	Підпис	Дата		35

$$N_{шп} = N_{дв} \cdot \eta,$$

де $N_{шп}$ -потужність на шпинделі верстата, кВт;

$N_{дв}$ -потужність двигуна верстата, кВт;

η -ККД верстата;

згідно паспортних даних верстата з ЧПК мод. HAAS ST-25;

$$N = 10,2 \text{ кВт}; \eta = 0,75; N_{шп} = 10,2 \cdot 0,75 = 7,65 \text{ кВт};$$

в даному випадку $N_{різ} < N_{шп}$ ($0,631 < 7,65$), отже потужність даного верстата достатня для механічної обробки на даних режимах;

Основний (машинний) час:

$$T_o = \frac{L_{р.х.}}{S_o \cdot n}, \text{ хв};$$

де $L_{р.х.}$ -довжина робочого ходу інструменту, мм;

$$L_{р.х.} = l_{різ} + l_1 + l_2, \text{ мм};$$

де $l_{різ}$ -довжина оброблюваної поверхні, мм; $l_{різ} = 51 \text{ мм};$

$l_1 + l_2$ -величина врізання і перебігу інструменту, мм;

Згідно [4] $l_1 + l_2 = 5 \text{ мм};$

$$L = 20 + 5 = 25 \text{ мм}.$$

$$T_o = \frac{25}{0,1 \cdot 1250} = 0,21 \text{ хв};$$

					MP.ПМК-007.00.000.000 ПЗ	Арк.
Змн.	Арк.	№ докум.	Підпис	Дата		36

Всі результати заносимо в таблицю 1.10

Таблиця 1.10 Визначення режимів різання та основного часу

№ опер.	Назва операції № переходу	D/B, мм	L, мм	t, мм	S	V	n, об/хв	To, хв.	
015	Токарна з ЧПК								
	1	Підрізати торець як чисто	165	63	2.1	0.7	128	600	0.15
	2	Обточити пов. до Ø 165	165	36	3	0.6	243	660	2.1
	3	Свердлити отвір на прохід	25	60	12,5	1.0	133	370	0.9
	4	Розсвердлити отвір	45	20	20	0,6	84	200	0,14
	5	Розточити пов.4	68	20	2.1	0.7	128	600	0.15
	6	Розточити пов.6	50	10	2.6	1.0	124	200	0.5
	7	Розточити пов.7	34	25	10	0.35	247	400	1,2
	9	Підрізати торець в розмір78	165	65	2.6	1.0	120	280	0.2
	10	Обточити пов. до Ø 165	165	25	1	1.0	129	370	0.14
020	Токарна з ЧПК								
	1	Обточити пов.	77	21.5	2.1	0.7	128	600	0.15
		Точити фаску 1 1x45 ⁰	77	18	1.0	0.6	143	830	1.4
	3	Точити фаску 3 1x45 ⁰	76	1.6	1.6	1.0	120	280	0.2
	4	Точити фаску 15 1x45 ⁰	43	51	2.06	0.8	134	480	0.52
	5	Точити фаску 17 1x45 ⁰	46.2	51	0.5	0.6	231	660	0.87
	Переустановити								
	6	Розточити пов.3	68	54.5	1.6	0.7	143	370	0.65
	7	Розточити пов.6	68	24	2	0.7	156	400	0.54
	8	Розточити пов.6	57	12	1.6	0.8	167	400	0.35
	9	Розточити пов.6	154	1.6	1.6	1.0	123	280	0.23
	10	Розточити пов.6	34	1.6	1.6	1.0	141	280	0.19
11	Розточити фаску 1.8x45 ⁰	30	7.3	1.7	0.8	154	400	0.54	
12	Розточити пов.6	30	1.8	1.8	1.0	120	280	0.2	
025	Свердлильна з ЧПК								
	1	Свердлити 8 отворів	16	25	8	20	176	480	16.5
	2	Зенкерувати 8 отв	16	25	0,2	18	32	40	12,3
	3	Свердлити 2 отв	10	33	5	32	143	630	0,8
	4	Зенкерувати 2 отв	10	33	0,2	18	30	40	0,62
	5	Розвертати 2 отв	10	33	0,1	0.8	6,5	31	1.7
		Свердлити отв. до Ø 30 напрохід	5.2	18	0.2	16	3	-	4.5
030	Вертикально-фрезерна								
		Фрезерувати пов32	20	90	8	0.8	156	800	1.5

1.5,3 Аналіз точності обробки поверхні Ø165_{-0,08}

Обробка поверхні Ø165_{-0,08} проводиться на токарному верстаті з ЧПК мод. HAAS ST-25;

Матеріал деталі 40Х ДСТУ 4543:2011, $\sigma_b=1000$ МПа. Деталь закріплюють в самоцентруючому патроні на розтиск. Інструмент – Різець упорний прохідний (Різець2103-0007 Т5К10 ДСТУ18879:2003), різальна частина – твердий сплав Т5К10 із геометрією: $\varphi=45^\circ$, $\alpha=8^\circ$, $\gamma=0^\circ$, $\lambda=0^\circ$.

Основними похибками, що виникають при точінні циліндричної поверхні і впливають на точність її розміру, замикаючої ланки технологічного ланцюга є:

Δv – похибка форми від геометричної неточності верстата в радіальному напрямку

$$\Delta v = \Delta' v + \Delta'' v,$$

Де: $\Delta' v$ – похибка зумовлена радіальним биттям шпинделя в основному напрямку;

$\Delta'' v$ – похибка, зумовлена відхиленням паралельності осі шпинделя і напрямними станини в горизонтальному напрямі;

Δn – похибка настроювання системи ВПД на отримання заданого розміру. При багаторазовому настроюванні вона має випадковий характер проявлення в часі;

Δu – похибка від зміни величини деформації системи ВПД внаслідок зміни сил різання, викликаних зміною механічних властивостей оброблюваного матеріалу і глибини різання від t_{\max} до t_{\min} .

Оскільки деталь жорстка то зміни податливості системи по довжині обробки нехтуємо.

Δy – випадкова похибка.

Δi – похибка від розмірного спрацювання різця, береться зі знаком „-”, систематична, закономірно-змінна;

ΔT – похибка від теплової деформації різця, береться зі знаком „+”, систематична, закономірно-змінна.

					MP.PMK-007.00.000.000 ПЗ	Арк.
						38
Змн.	Арк.	№ докум.	Підпис	Дата		

Похибка форми для розрахунку похибок, значення параметрів, від яких залежать похибки, та джерела інформації, а також результати розрахунку похибок зведені в таблиці

Таблиця 1.11 – Розрахунок похибок обробки Ø165_(-0,08)

Ф-ли та роз-к похибок обробки (на радіус)	Пар-и, що впливають на похибку обробки	Значення параметрів та джерело інформації
1	2	3
$\Delta'_{b_R} = \frac{a'}{2} = 8/2 = 4 \text{ мкм}$	a' – постійність діаметра зразка в поперечному перетині, мм; a'' – постійність діаметра зразка в повздовжньому перетині, мм;	$a' = 8$ мкм. $a'' = 20$ мкм ([2]ст. 40)
$\Delta''_{b_R} = \frac{a''}{2} = 0,02/2 = 0,01 \text{ мм}$		
$\Delta_{b_R} = \Delta'_{b_R} + \Delta''_{b_R} = 4 + 0,01 = 0,014 \text{ мм}$		
$\Delta_{H_R} = \sqrt{\left(\frac{\Delta_{\text{вим}}}{2}\right)^2 + \Delta_p^2} = \sqrt{\left(\frac{0,005}{2}\right)^2 + 0,005^2} = 0,006$	$\Delta_{\text{вим}}$ – похибка вимірювання, мм; Δ_p – похибка регулювання положення різця, мм.	$\Delta_{\text{вим}} = 0,005$ мм – мікрометр ([5]ст. 568) $\Delta_p = 0,005$ мм – точність позиціонування верстата з ЧПК ([3]ст. 71)
$\Delta_{y_R} = 11 \cdot C_p \cdot S^{y_{py}} \cdot V^{n_{py}} \cdot \times K_p \cdot \left(t_{\max}^{x_{py}} - t_{\min}^{y_{py}}\right) \cdot \omega = 11 \cdot 243 \cdot 0,8^{0,6} \cdot 336^{-0,3} \cdot \times 1 \cdot \left(0,5^{0,9} - 0,33^{0,6}\right) \cdot 0,0235 = 2 \text{ мкм} = 0,002 \text{ мм}$	t_{\max} , t_{\min} , S , V – режими різання; K_p – поправочний коефіцієнт; C_p , U_p , n_{py} , X_{py} – коефіцієнт і показники степеня для визначення P_y ; P_y – нормальна складова сили різання, Н; ω – податливість системи ВПД, мкм/Н;	$t_{\max} = 0,5$ мм, $t_{\min} = 0,33$ мм, $S = 0,8$ мм/об дані отримані на попередніх етапах розробки процесу обробки; $C_p = 243$; $X_{py} = 0,9$; $U_p = 0,6$; $n_{py} = -0,3$; ([3], ст. 273, табл. 22) $K_p = 1$, $\omega = 0,0235$ мкм/Н – податливість верстату Податливістю деталі нехтуємо.

1	2	3
$\Delta_{\text{м.н.р}} = 1,2\sqrt{\Delta_M^2 + \Delta_y^2} + \Delta_\epsilon =$ $= 1,2\sqrt{0,006^2 + 0,002^2} + 0,014 =$ $= 0,02 \text{ мм}$ $\Delta_{\text{м.н.}} = 2 \cdot \Delta_{\text{м.н.р}} = 2 \cdot 0,02 =$ $= 0,04 \text{ мм}$	$\Delta_{\text{м.н.}}$ – похибка миттєвого розсіювання розміру з урахуванням похибки настроювання з розрахунку на діаметр оброблюваної поверхні;	
$\Delta_i = u_o \left(1 + \frac{V \cdot \tau}{1000} \right) =$ $= 4 \left(1 + \frac{164,5 \cdot \tau}{1000} \right) =$ $= 4(1 + 0,1645\tau)$	τ – час обробки, хв; u_o – відносне спрацювання різця, мкм/км.	τ – змінна величина; $u_o = 4$ мкм/км;
$\Delta_T = C \cdot \frac{L_p}{F} \cdot V^{0,78} \cdot S^{0,72} \cdot t^{0,5} \times$ $\frac{T_0}{T_0 + T_{\text{пер}}} \left(1 - e^{-\frac{4\tau}{16}} \right) =$ $= 4,5 \cdot \frac{40}{625} \cdot 164,5^{0,78} \cdot 0,8^{0,72} \times$ $0,33^{0,5} \cdot \frac{0,07}{0,07 + 0,02} \left(1 - e^{-\frac{4\tau}{16}} \right) =$ $= 5,8 \left(1 - e^{-\frac{\tau}{4}} \right)$	C – константа; L_p і F – виліт різця в мм і площа поперечного перерізу його державки, мм ² ; t, S, V – режими різання; $T_0, T_{\text{пер}}$ – основний час обробки і тривалість перерв між обробкою кожної деталі, хв; τ_m – константа, змінюється в межах 12-24 хв.	$C=4,5$; $V=164,5$ м/хв; $t=0,33$ мм; $S=0,8$ мм/об; $L_p=40$ мм; $F = hB = 25 \cdot 25 = 625$ мм ² $T_0=0,07$ хв. $T_{\text{пер}}=0,02$ хв; $\tau_m=16$.

Таблиця 1.12 -Результати розрахунку систематичної похибки в мкм.

τ , хв	0	1	2	4	8	10	20
Δ_i	8	9,312	10,62	13,24	18,49	21,12	34,24
Δ_T	0	1,29	2,30	3,69	5,06	5,37	5,81
$\Delta_{\text{сист}}=2(\Delta_T-\Delta_i)$	16	16,03	16,68	19,09	26,87	31,49	56,85

З діаграми визначаємо технологічну стійкість інструмента $T_T=20$ хв. Оскільки економічна стійкість T_e інструмента становить 20 хв., $T_e < T_T$, то загальна похибка обробки (за діаграмою) $\Delta_{\text{сум}}=0,080$ мм.

Настроюваний розмір $d_{\text{настр}}$ при симетричному розташуванні поля розсіювання становить

$$d_{\text{настр}} = d_{\text{мін}} + \Delta_{\text{сис.мін}} + 0,5\Delta_{\text{н.п}} = 164,936 \text{ мм},$$

$\Delta_{\text{сист мин}}$ – найменше значення систематичної похибки, $\Delta_{\text{сист мин}} = 0,006$ мм;

					МР.ПМК-007.00.000.000 ПЗ	Арк.
Змн.	Арк.	№ докум.	Підпис	Дата		40

Питомий вклад C_j первинних похибок обробки в загальному похибку визначимо за формулою

$$C_j = \frac{\Delta_j}{\Delta_{\text{сум}}} \cdot 100\%$$

де Δ_j – величина j-ї похибки.

Таблиця 1.13- Результати розрахунку.

Позначення похибки Δ_j	Δ_B	Δ_H	Δ_y	$\Delta_{\text{м.н.}}$	Δ_i	Δ_T	$\Delta_{\text{сист}}$
Значення похибки Δ_j , мм	0.014	0.006	0.002	0.02	0,034	0.006	0.029
C_j , %	35	15	5	50,0	85	15	73

З гістограми похибок встановлюємо, що домінуючою похибкою обробки є похибка миттєвого розсіювання розміру з урахуванням похибки настроювання з розрахунку на діаметр оброблюваної поверхні.

Можливі основні заходи по підвищенню надійності забезпечення точності обробки–використання MOR і інструмента з вищою стійкістю.

1.5.4 Розробка карти налагодження та КП на верстаті з ЧПК

Розробка керувальних програм (КП) для верстатів з ЧПК виконується з використанням коду (мови програмування) ISO 7-bit. На сьогодні цей код (відомий також як G-код) є фактично основним засобом розробки керуючих програм для сучасних верстатів з ЧПК. Разом з тим, залежно від типу, будови й заводів-виробників верстатів та їх систем ЧПК, можуть бути певні особливості в технології розробки керуючих програм. Ці особливості обов'язково відображаються у супровідній технічній документації. Для кожної операції механічної обробки розробляють свою керуючу програму. Таким чином, початковими даними для розробки керуючої програми є креслення деталі та технологічний процес механічної обробки. Текст готової програми вводиться в пристрій ЧПК за допомогою його клавіатури або записується з ПК на USB-флеш-накопичувач для подальшого введення в пристрій ЧПК. Підготовчі функції (G-функції) визначають режим і умови роботи системи ЧПК і верстата. Більшість підготовчих функцій є однаковими для різних систем ЧПК. Усі підготовчі функції поділено на групи. G-функції, які належать до певної групи, взаємно модальні, тобто діють до відміни G-функцією з тієї ж групи. В кадрі може бути представлена лише одна G-функція зі своєї групи. Але, разом з тим, у кадрі можуть бути декілька G-функцій з різних груп.

					MP.PMK-007.00.000.000 ПЗ	Арк.
Змн.	Арк.	№ докум.	Підпис	Дата		42

1.5.5 Нормування технологічного процесу

Технічні норми часу в умовах середньосерійного виробництва визначаються розрахунково аналітичним методом. Для розрахунку використовуємо нормативи [17].

Проведемо нормування токарної з ЧПК операції 020

1 Основний час на нормовану операцію розрахований в пункті розрахунок режимів різання і основного часу $T_0=0,7$ хв.

2 Визначаємо допоміжний час $T_{ДОП}$, хв.

$$T_{ДОП} = T_{УСТ} + T_{ВИМ} + T_{ПЕР}$$

$T_{УСТ} = 2,5$ хв. – час на установку і зняття деталі ([17], стор. 39, К6);

$T_{ВИМ}$ – час на вимірювання, хв.

$$T_{ВИМ} = t_{ВИМ} \cdot K_{ib} \cdot i = 0,17 \cdot 0,6 \cdot 2 = 0,204 \text{ хв.}$$

$K_{ib} = 0,6$ – коефіцієнт вибіркості ([17], стор. 200, К87);

i – кількість проходів;

$T_{ПЕР}$ – час на перехід;

$$T_{ПЕР} = t_{ПЕР1} + t_{ПЕР2} + t_{ПЕР3} + t_{ПЕР4} = 0,1 + 0,07 + 0,06 + 0,07 = 0,3 \text{ хв.}$$

$t_{ПЕР1} = 0,1$ (хв.) – час, зв'язаний з переходом;

$t_{ПЕР2} = 0,07$ (хв.) – час на зміну числа обертів;

$t_{ПЕР3} = 0,06$ (хв.) – час на зміну подачі;

$t_{ПЕР4} = 0,07$ (хв.) – час на зміну інструменту ([17], стор. 64, К18);

Отже,

$$T_{ДОП} = 2,5 + 0,204 + 0,3 = 3,004 \text{ хв.}$$

3 Визначаємо оперативний час $T_{ОП}$, хв.

$$T_{ОП} = T_0 + T_{ДОП} = 0,7 + 3,004 = 3,704 \text{ хв.}$$

4 Час на обслуговування робочого місця $T_{ОБС}$, хв

$$T_{ОБС} = \frac{T_{ОП} \cdot a_{ОБС}}{100} = \frac{3,704 \cdot 3,5}{100} = 0,13 \text{ хв.}$$

$a_{ОБС} = 3,5\%$ – процент часу від $T_{ОП}$ на обслуговування робочого місця ([17], стор. 70, К 19);

					МР.ПМК-007.00.000.000 ПЗ	Арк.
Змн.	Арк.	№ докум.	Підпис	Дата		43

5 Час на відпочинок і особисті потреби

$$T_{ВД} = \frac{T_{ОП} \cdot a_{ВД}}{100} = \frac{3,704 \cdot 4}{100} = 0,15 \text{ хв.}$$

$a_{ВД} = 4\%$ – процент від оперативного часу на відпочинок і особисті потреби ([17], стор. 202, К 88);

6 Розрахунок норм штучного часу $T_{шт}, \text{хв.}$

$$T_{шт} = T_{ОП} + T_{ОБС} + T_{ВД} = 3,704 + 0,13 + 0,15 = 3,984 \text{ хв.}$$

7 Підготовчо-заключний час на партію деталей: $T_{ПЗ} = 21 \text{ хв}$ ([17], стор. 70, К 19).

8 Розрахунок норм штучно-калькуляційного часу $T_{шт-к}, \text{хв}$

$$T_{шт-к} = T_{шт} + \frac{T_{ПЗ}}{n} = 3,984 + \frac{21}{90} = 4,21 \text{ хв.} \quad n=90 \text{ – число деталей в партії;}$$

1.5.6 Техніко-економічні показники розробленого технологічного процесу.

1) Коефіцієнт використання матеріалу заготовки:

$$K_{м баз}=0,744; \quad K_{м пр}=0,744;$$

2) Планова річна економія основного матеріалу:

$$E_{м}=M_{д} \cdot N \cdot (K_{м пр}^{-1} - K_{м баз}^{-1}), \text{ кг;}$$

$$E_{м}=14 \cdot 798(0,744-0,744)=0;$$

3) Трудомісткість процесу за штучним часом:

$$\sum T_{шт. баз.} = 141,33 \text{ хв;} \quad \sum T_{шт. пр.} = 29,06 \text{ хв;}$$

4) Планова річна економія часу:

$$E_{т} = (\sum T_{шт. баз.} - \sum T_{шт. пр.}) \cdot N, \text{ хв.};$$

$$E_{т} = (141,33 - 29,06) \cdot 798 = 89591,46 \text{ хв.}; \quad E_{т} = 1493,19 \text{ год.};$$

5) Коефіцієнт використання верстатів за основним часом:

$$K_{о} = \frac{\sum T_{о}}{\sum T_{шт}}$$

$$K_{о баз} = \frac{54,02}{141,33} = 0,382;$$

$$K_{о пр} = \frac{22,664}{29,06} = 0,779;$$

					МР.ПМК-007.00.000.000 ПЗ	Арк.
Змн.	Арк.	№ докум.	Підпис	Дата		44

б) Коефіцієнт використання верстатів за потужністю:

$$K_n = \frac{\sum N_p}{\sum N_{\text{в}}}$$

$$K_{n, \text{баз}} = \frac{2,4 + 2,1 + 2,8 + 2,4 + 2,1 + 1,1 + 0,2}{15 + 15 + 15 + 13,5 + 4,5 + 4,5 + 4,5} = 0,18;$$

$$K_{n, \text{пр}} = \frac{4,2 + 3,1 + 3,2 + 3,6 + 0,9 + 0,7}{15 + 22 + 22 + 10,2 + 4,5 + 4,5} = 0,2;$$

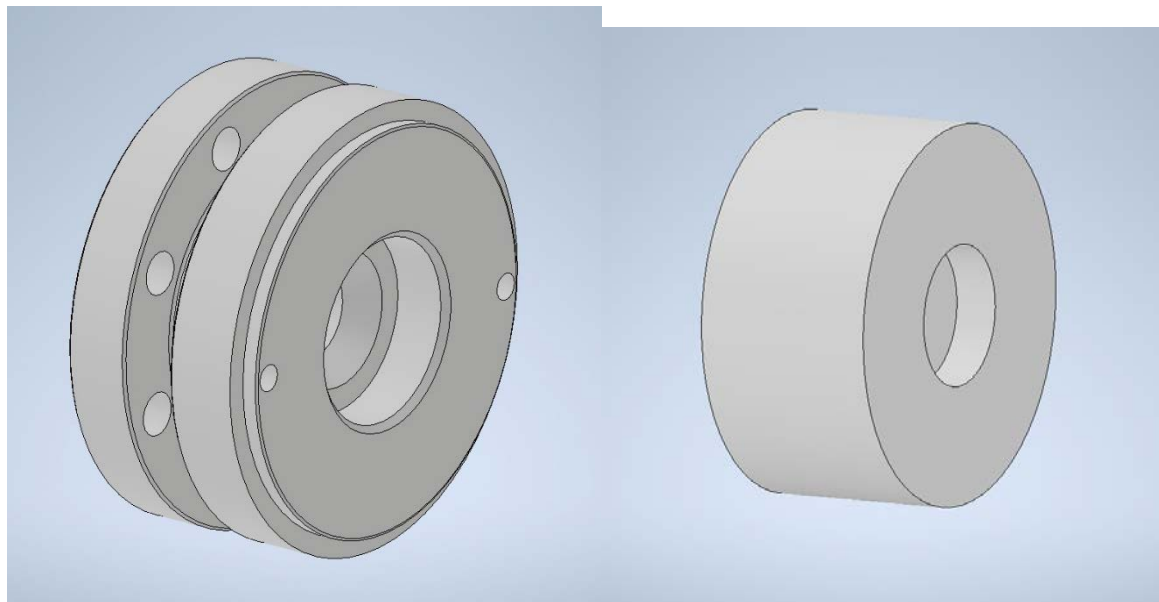
Таблиця 1.14.-Порівняння варіантів технологічного процесу механічної обробки деталі

Найменування показників	базовий варіант	проектний варіант
1) Коефіцієнт використання матеріалу $K_{\text{в.м.}}$	0,44	0,23
2) Планова річна економія основного матеріалу $E_{\text{м}}$, кг	-	0
3) Трудомісткість процесу за штучним часом $\sum T_{\text{шт}}$	141,33	29,06
4) Планова річна економія часу $E_{\text{т}}$, год	-	1493,19
5) Коефіцієнт використання верстатів за основним часом $K_{\text{о}}$	0,382	0,779
6) Коефіцієнт використання верстатів за потужністю $K_{\text{н}}$	0,18	0,2

2 Розроблення керуючої програми для верстата з ЧПК

Для розроблення керуючих програм обробки корпусу на верстаті з ЧПК була використана програмна система PowerMill від компанії AutoDesk.

Перед виконанням необхідних дій в програмі PowerMill були побудовані в програмі AutoDesk Inventor 3D- моделі деталі та заготовки (рис. 2.1, а), б)).



а)

б)

Рисунок 2.1 – 3D-моделі деталі (а) та заготовки (б)

Побудовані моделі були імпортовані в систему PowerMill в універсальному форматі «*.igs» (рисунок 2.2).

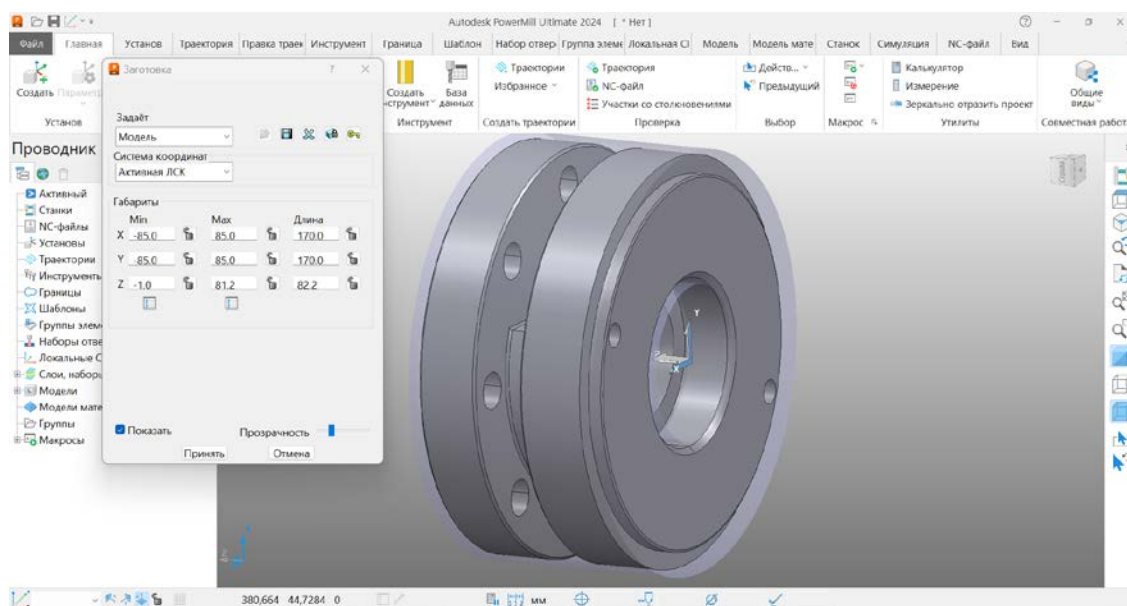


Рисунок 2.2 – Модель корпусу, імпортована в систему PowerMill та вибір способу задання заготовки

Змн.	Арк.	№ докум.	Підпис	Дата

МР.ПМК-007.00.000.000 ПЗ

Арк.

46

Проектування траєкторій обробки поверхонь стакана на верстаті з ЧПК (операції 015 та 020) подано на рисунках 2.3 – 2.18. Керуючі програми обробки наведені в Додатку.

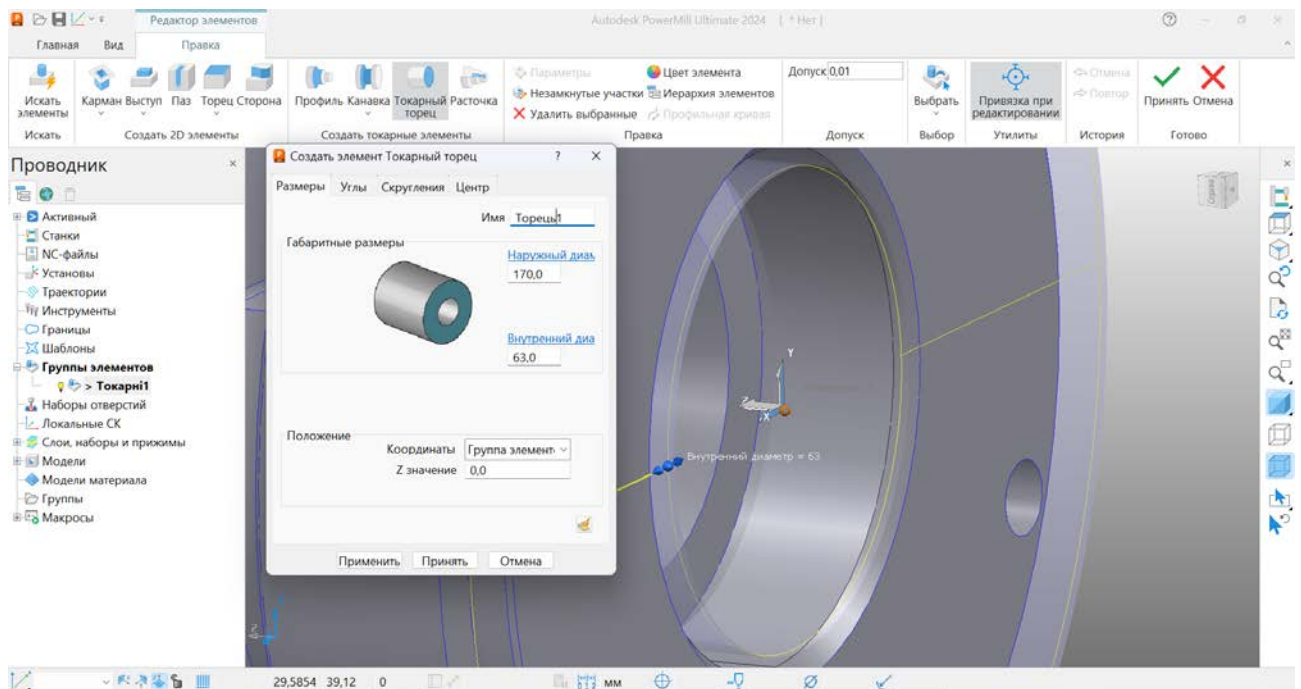


Рисунок 2.3 – Створення елемента «Токарний торець»

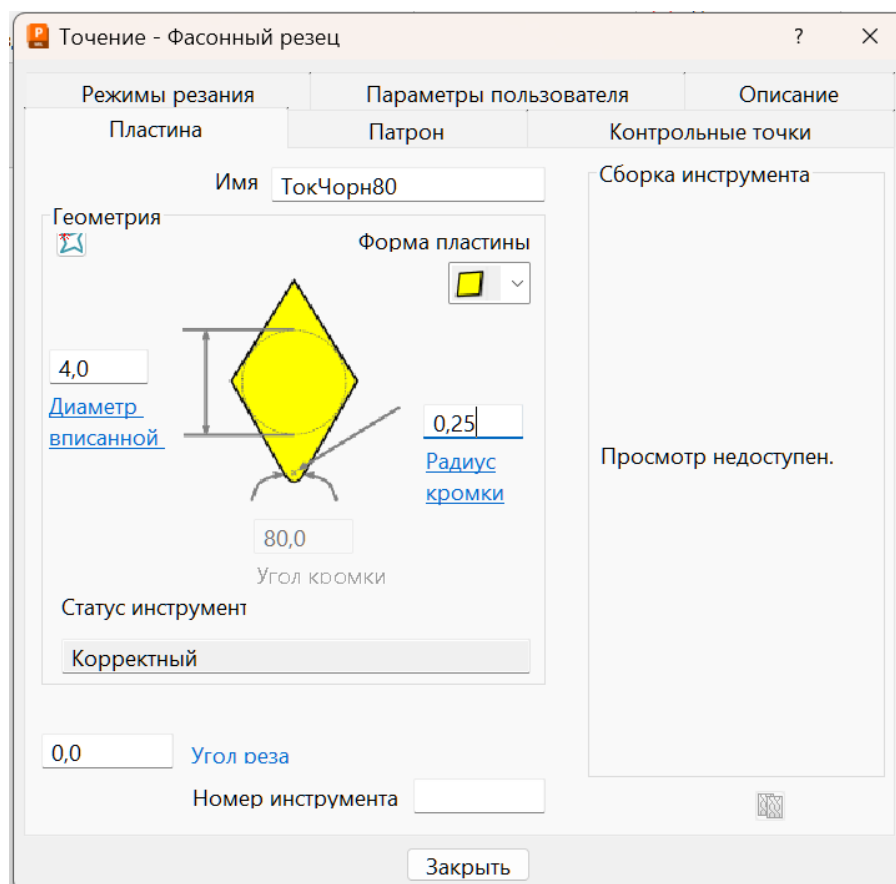


Рисунок 2.4 – Створення моделі чорнового різця

Змн.	Арк.	№ докум.	Підпис	Дата

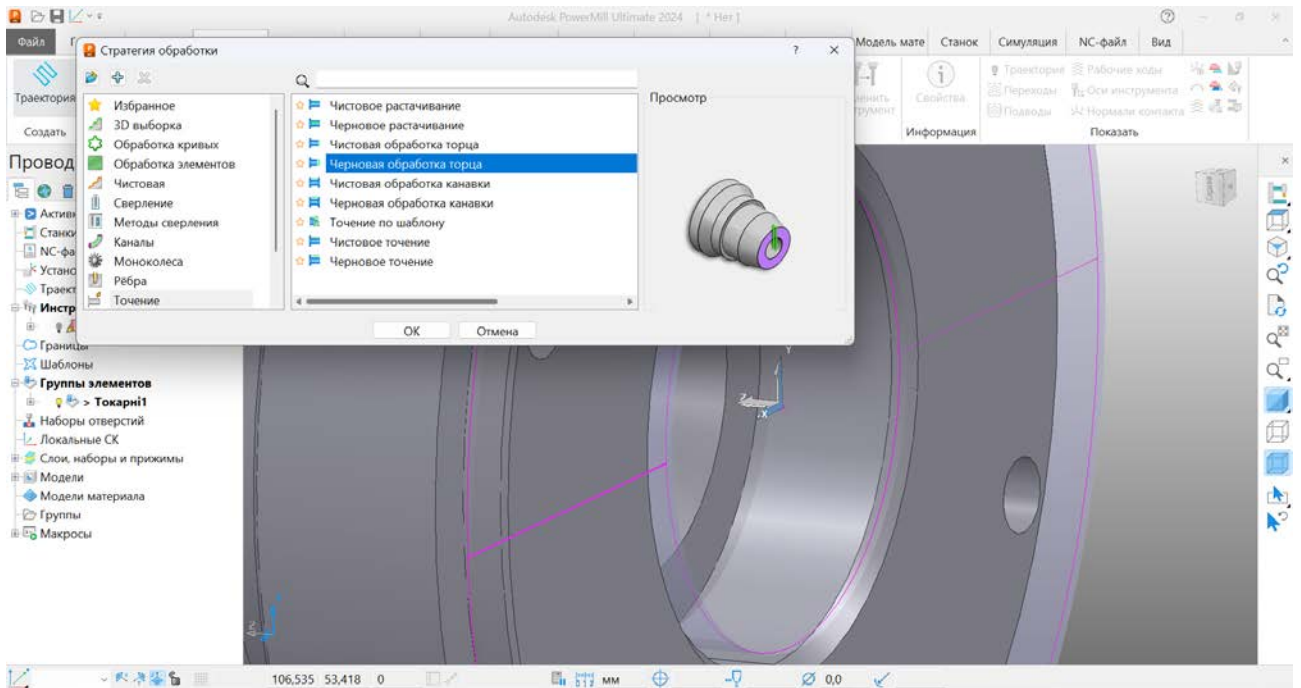


Рисунок 2.5 – Вибір стратегії обробки

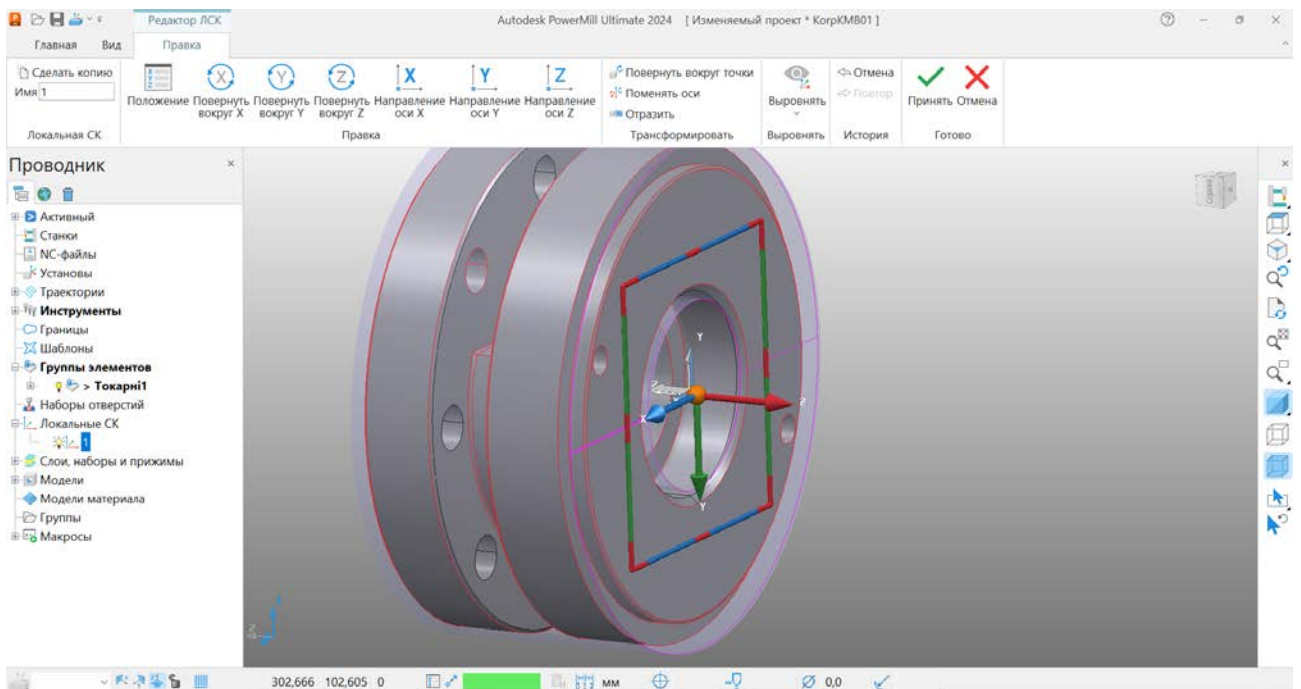


Рисунок 2.6 – Створення локальної системи координат

Змн.	Арк.	№ докум.	Підпис	Дата

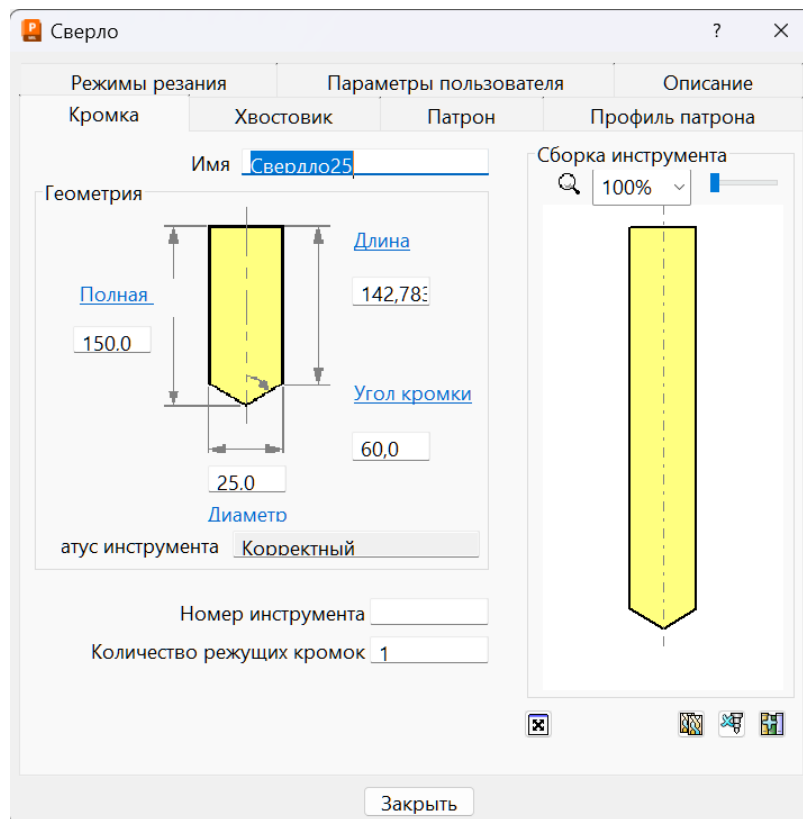


Рисунок 2.9 – Створення моделі свердла

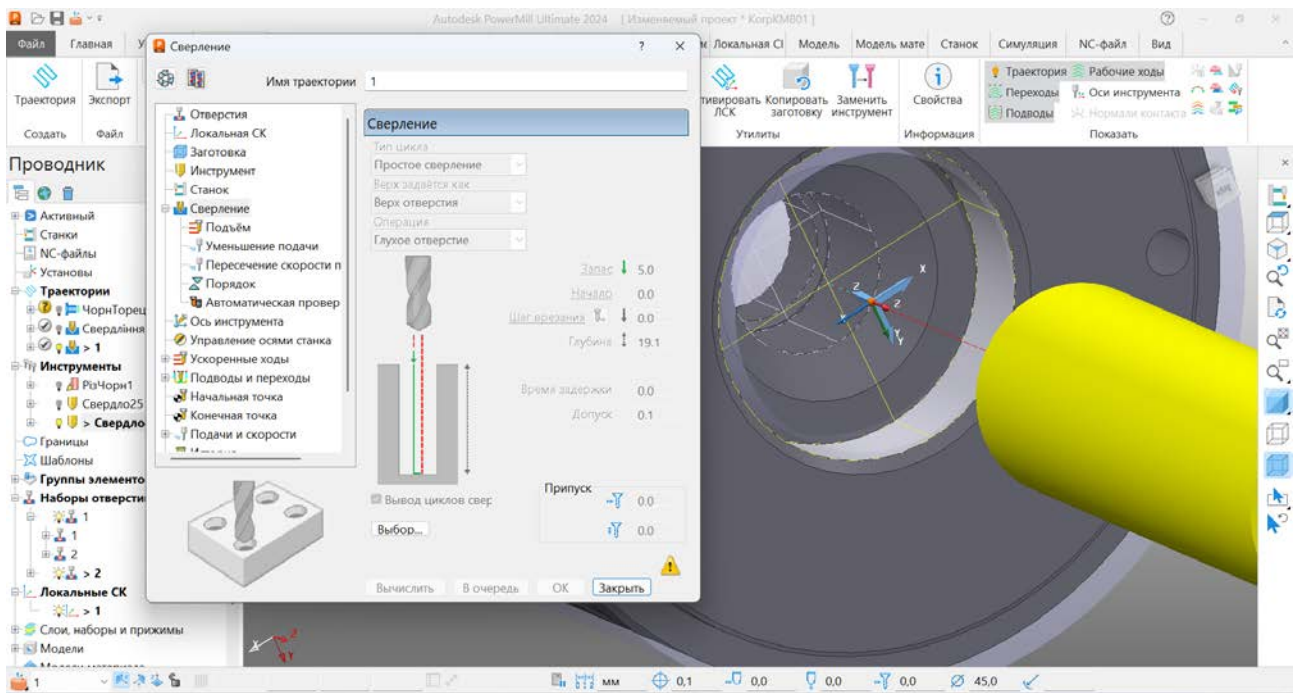


Рисунок 2.12 – Проектування свердління

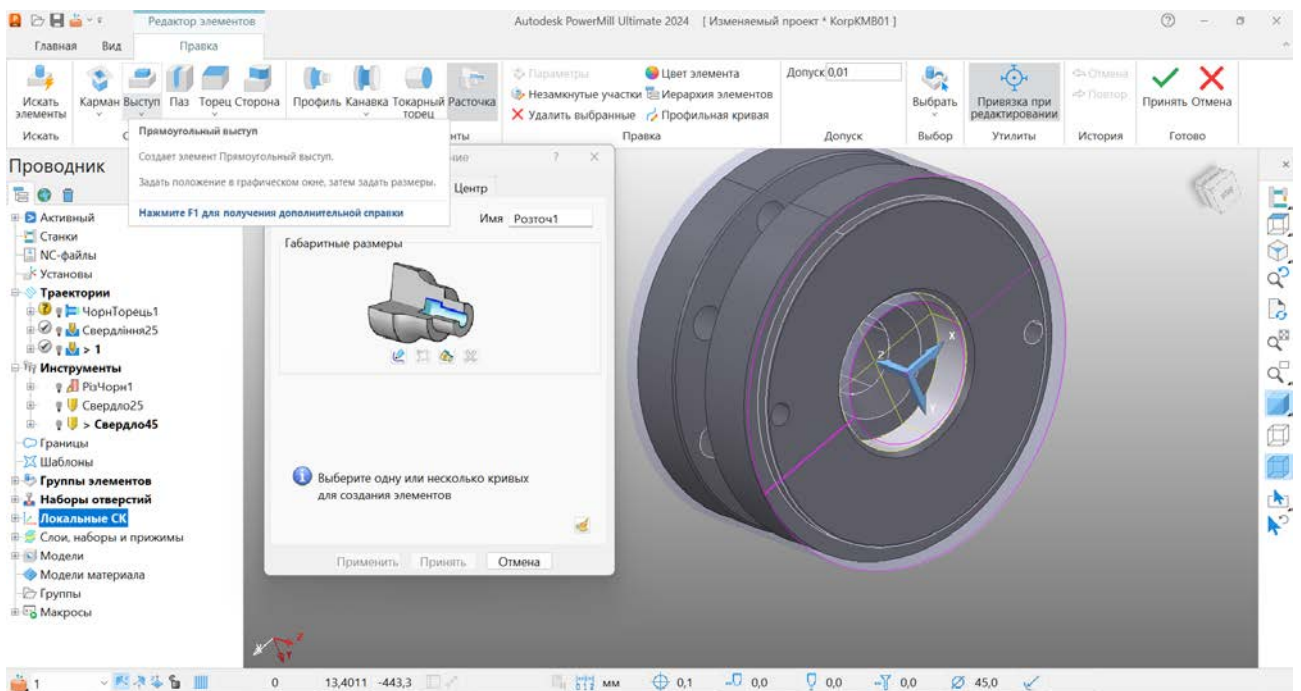


Рисунок 2.13 – Створення елементу «Розточування»

									Арк.
									52
Змн.	Арк.	№ докум.	Підпис	Дата					

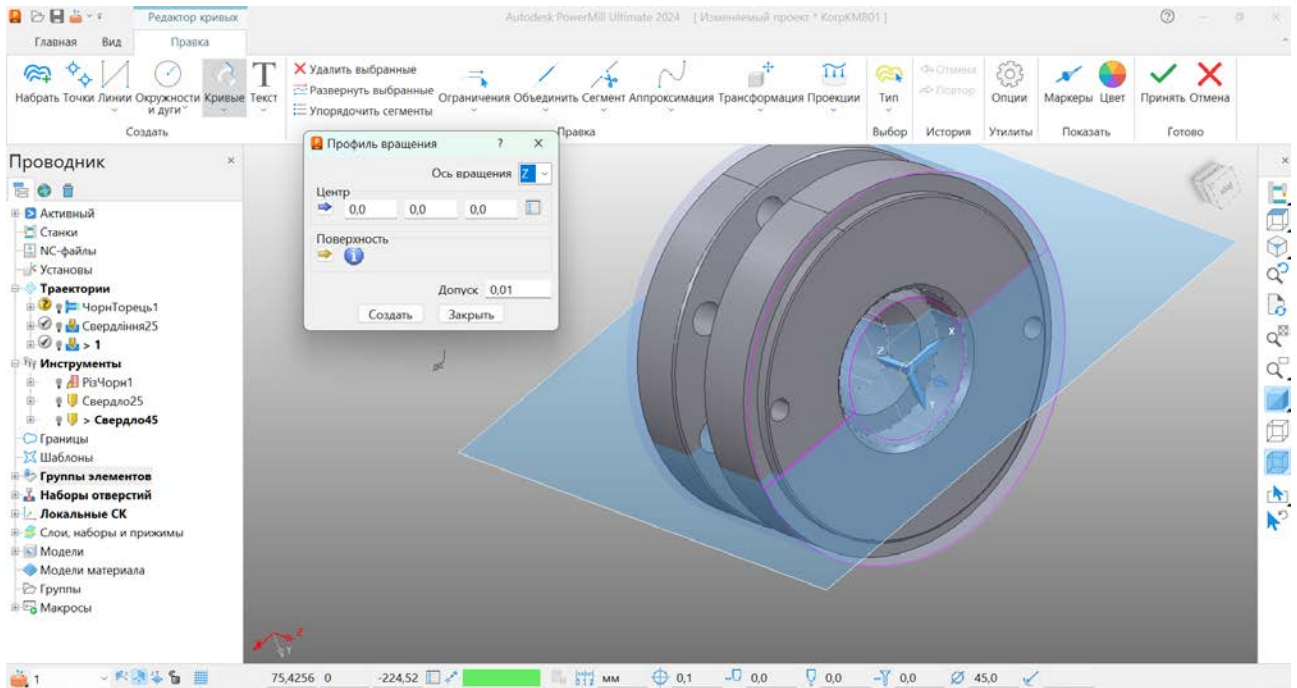


Рисунок 2.14 – Осьевой перетин площадью

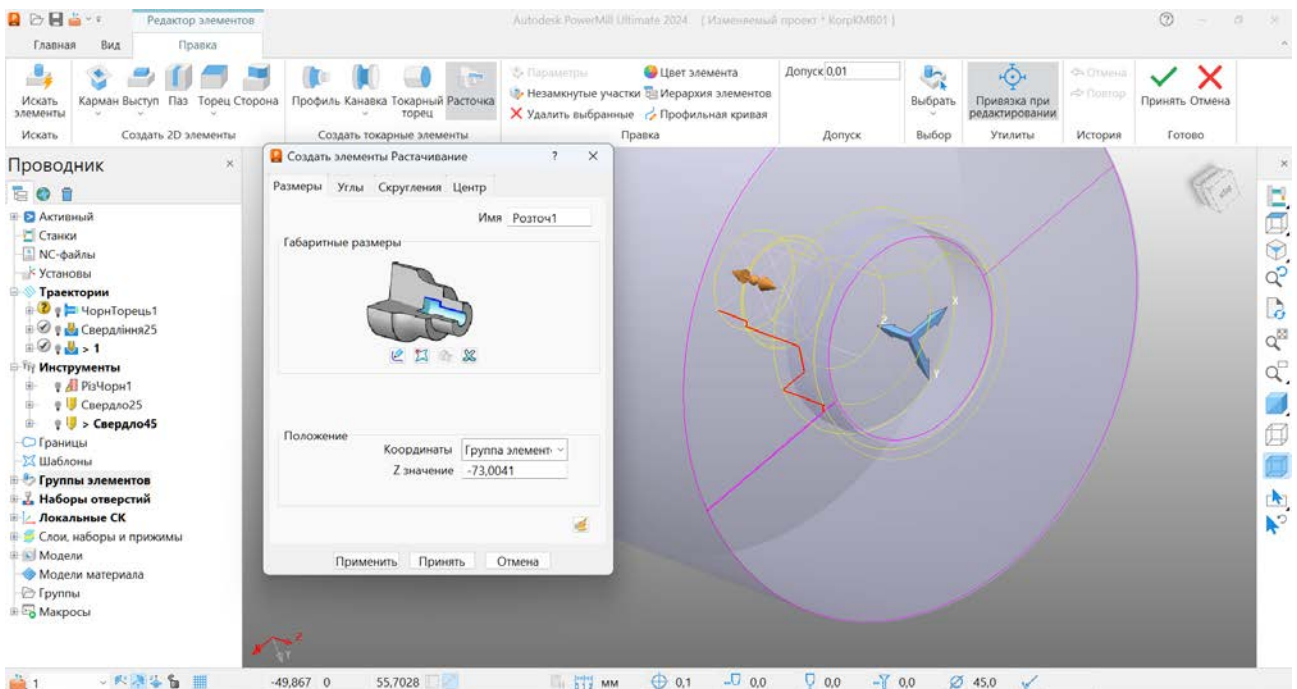


Рисунок 2.15 – Вибір контуру обробки

Змн.	Арк.	№ докум.	Підпис	Дата

МР.ПМК-007.00.000.000 ПЗ

Арк.

53

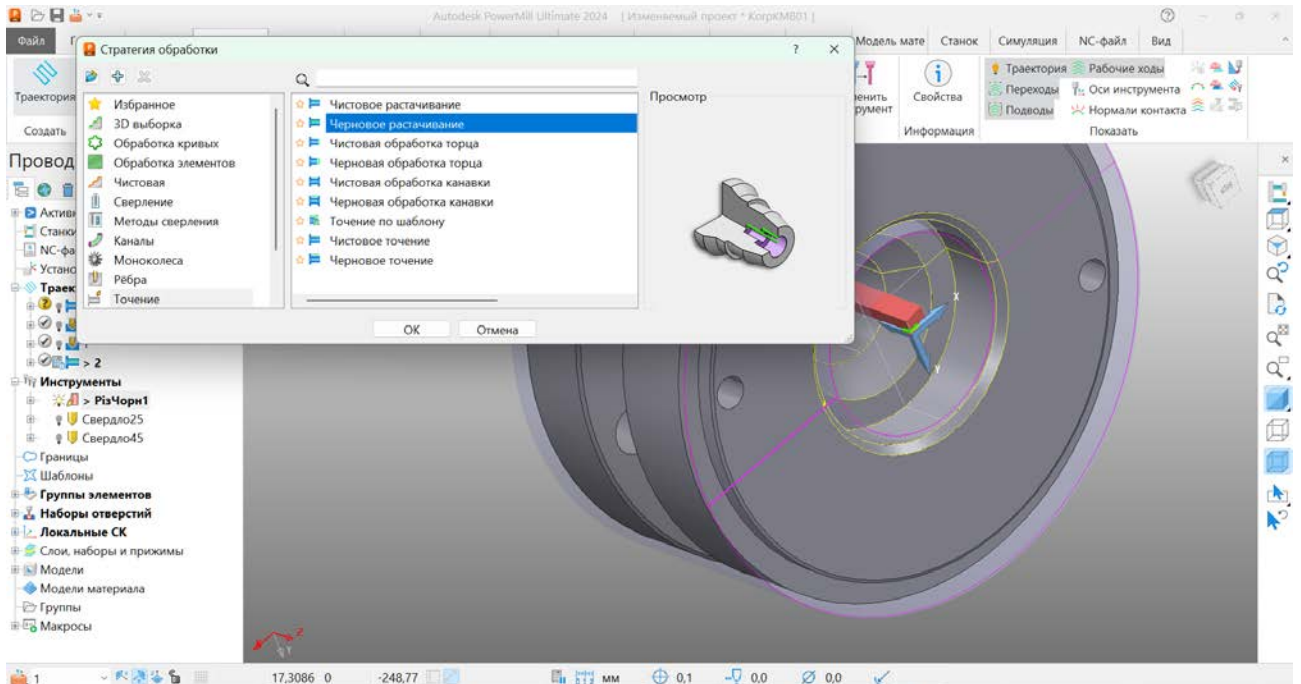


Рисунок 2.16 – Вибір стратегії обробки

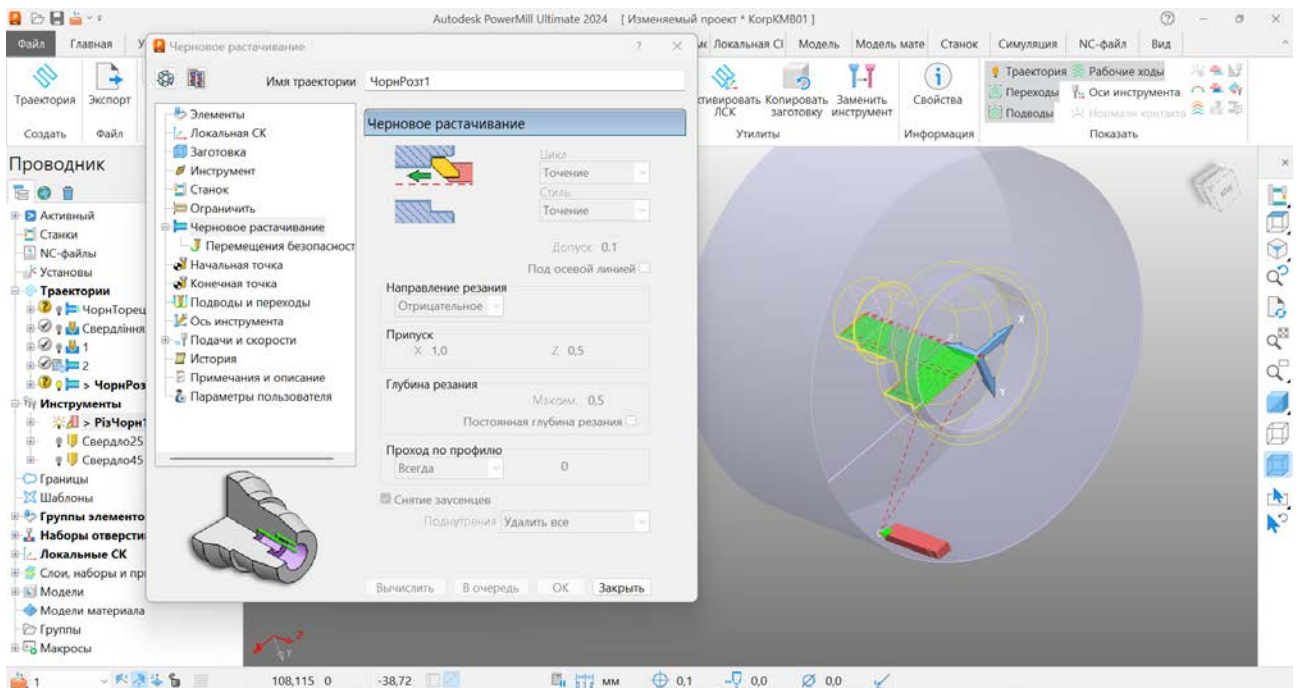


Рисунок 2.17 – Проектування розточування

Змн.	Арк.	№ докум.	Підпис	Дата

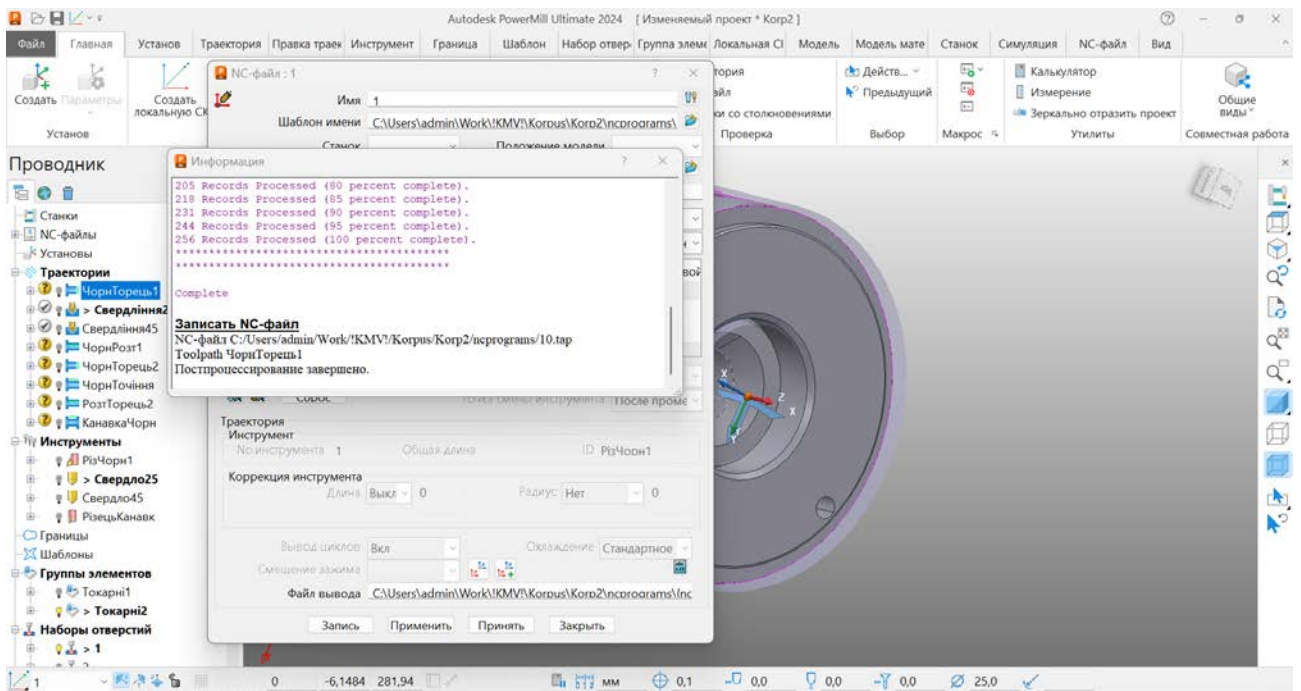


Рисунок 2.18 – Створення та розрахунок NC-файла

					МР.ПМК-007.00.000.000 ПЗ	Арк.
Змн.	Арк.	№ докум.	Підпис	Дата		55

3 Конструкторська частина

3.1. Опис призначення, будови та роботи пристрою

Пристрій призначений для встановлення та закріплення корпусу при фрезеруванні поверхні 33 на вертикально-фрезерний верстат мод. **JET JTM-1050TS**. На столі верстата пристрій встановлюється плитою 2. Положення пристрою фіксується напрямними шпонками 37, які встановлені в пази плити 2 і стола верстата з посадкою $18 \frac{H8}{g8}$, і кріпляться до плити гвинтами 16 з шайбами

29. Плита кріпиться до стола верстата болтами 15, гайками 19 і шайбами 32.

На плиті встановлений корпус 2, який кріпиться до плити болтами 14 з шайбами 32 і штифтами 38. Для центрування положення деталі відносно осі передбачені пальці 6, які встановлені в корпуси 5, які кріпляться до корпусу 1 болтами 13 з шайбами 28.

Пневмоциліндр кріпиться через лапи 7 болтами 14 і шайбами 32. Розподільчий кран 26 кріпиться гвинтами 18 і шайбами 31.

На корпусі 2 встановлений установ 42 з щупом 43, який кріпиться гвинтом 16 з шайбою 29.

Пневмоциліндр складається з корпусу 8, кришок передньої 9 і задньої 10, лап 7, які з'єднані шпильками 35, 36 з гайками 19 і шайбами 32. Поршень 11 з штоком 12 з'єднані по поверхні $\varnothing 28 \frac{H8}{f8}$ гайкою 20 з шайбою 34. Для ущільнення поршня і штока в канавках штока встановлені ущільнюючі кільця 23. Між поршнем і корпусом, кришками і корпусом передбачені ущільнюючі кільця 24, які встановлені в канавках кришок і поршня. Між кришкою передньою і штоком в канавки отвора кришки встановлені ущільнюючі кільця 25. Для подачі стисненого повітря передбачені з'єднання (гайка 21, втулка 22, шайба 33 і штуцер 40), які з'єднані з рукавами 44 і вкручені в отвори пневмоциліндра і розподільчого крана.

					МР.ПМК-007.00.000.000 ПЗ	Арк.
Змн.	Арк.	№ докум.	Підпис	Дата		56

3.1.2 Принцип роботи пристрою

Пристрій працює таким чином: деталь встановлюється на призму 3 до упора торцем з корпус 1. По площинах, заданих розміром 90, деталь центрується пальцями 6. Через отвір деталі проходить шток 12, в канавку якого вставляється швидкозмінна шайба 4. При повороті рукоятки розподільчого крана проти годинникової стрілки, стиснуте повітря подається в штокову порожнину пневмоциліндра. При цьому поршень з штоком рухається назад і притискає шайбу до деталі, притискаючи її до корпусу. При цьому відбувається затиск деталі. При повороті рукоятки за годинниковою стрілкою, стиснуте повітря подається в поршневу порожнину пневмоциліндра. Поршень з штоком рухається вперед і відводить шайбу від деталі. При цьому відбувається звільнення деталі.

3.1.3 Розрахунок сил закріплення

Для складання рівняння рівноваги прикладемо всі сили і зв'язки, які діють на заготовку під час обробки, що показано на рисунку 3.

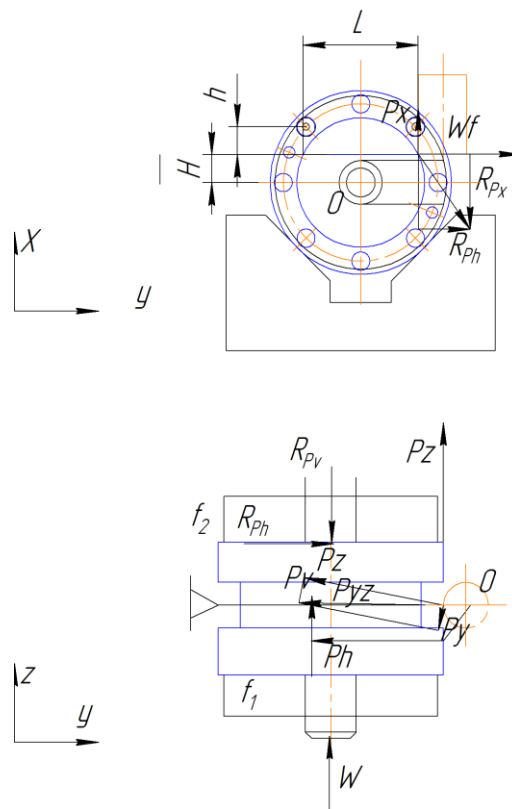


Рисунок 3.1 – Сили, що діють на заготовку

					MP.ПМК-007.00.000.000 ПЗ	Арк.
Змн.	Арк.	№ докум.	Підпис	Дата		57

З схеми дії сил видно, що на деталь діють сили, які виникають внаслідок дії сил різання дотичної P_z , радіальної P_y , осьової P_x . Сила P_x переміщує деталь вертикально, P_h горизонтально. Їм протидіють реакції R_{Px} і R_{Ph} .

Сила P_v притискає деталь до установчих елементів, тому при розрахунках її не враховуємо.

Рівняння рівноваги даної системи сил:

$$\Sigma Ma = 0$$

$$P_z \cdot h + P_x \cdot l - W \cdot l / 2 = 0$$

Необхідна сила затиску з врахуванням коефіцієнта запасу:

$$W = K \left(\frac{P_z \cdot h + P_x \cdot l}{l} \cdot 2 \right)$$

$$k = k_0 \cdot k_1 \cdot k_2 \cdot k_3 \cdot k_4 \cdot k_5 \cdot k_6$$

де k_0 - гарантований коефіцієнт запасу;

k_1 - коефіцієнт, який враховує збільшення сил різання через нерівності на оброблюваній поверхні;

k_2 - коефіцієнт, який характеризує збільшення сил різання внаслідок затуплення інструменту;

k_3 - коефіцієнт, який враховує збільшення сил різання при перервному різанні;

k_4 - коефіцієнт, який характеризує постійність сили закріплення в механізмах затиску;

k_5 - коефіцієнт, який характеризує ергономіку ручних механізмів затиску;

k_6 - коефіцієнт, який враховує моменти, які повертають заготовку встановлену плоскою поверхнею на постійні опори;

Згідно[2]с.84-85: $k_0=1,5$; $k_1=1,2$; $k_2=1,4$; $k_3=1,2$; $k_4=1$; $k_5=1$; $k_6=1$;

$$k = 1,5 \cdot 1,2 \cdot 1,4 \cdot 1,2 \cdot 1 \cdot 1 \cdot 1 = 3,02;$$

$$P_z = 1737,3 \text{H}; P_x = 0,5 P_z = 868,65 \text{H};$$

$$L = 90 \text{мм}; h = 13 \text{мм};$$

$$W = 3,02 \left(\frac{1737,3 \cdot 0,013 + 868,65 \cdot 0,09}{0,09} \cdot 2 \right) = 10790,2 \text{H};$$

					МР.ПМК-007.00.000.000 ПЗ	Арк.
Змн.	Арк.	№ докум.	Підпис	Дата		58

Для розрахунку сили затиску рушія його і конструктивних параметрів складаємо принципову схему механізму затиску пристрою, яку показано на рисунку 6.

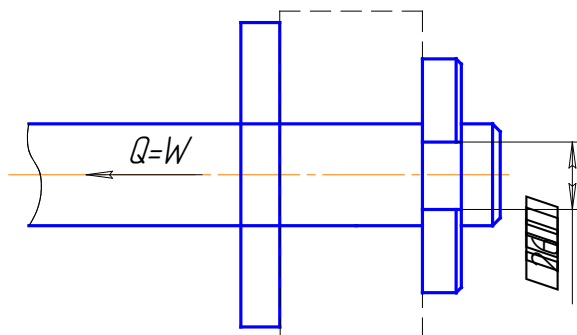


Рисунок 3.2-Принципова схема механізму затиску пристрою

Необхідна сила на штоку пневмоциліндра згідно рис.6 становить

$$Q=W=10790,2 \text{ Н};$$

Для даної сили затиску при подачі стиснутого повітря $p=0,4$ мПа в штокову порожнину з стандартного ряду згідно [2], с.91, табл. 17 вибираємо пневмоциліндр двохсторонньої дії з діаметром поршня $D=200$ мм, діаметром штока $d=40$ мм, довжина робочого ходу поршня $L=40$ мм.

Дійсна сила рушія при подачі стиснутого повітря в штокову порожнину пневмоциліндра згідно [2], с. 92, табл. 22:

$$Q=0,785 \cdot (D^2 - d^2) \cdot p \cdot \eta, \text{ Н};$$

де $\eta=0,9$ -ККД пневмоциліндра;

$$Q=0,785 \cdot (200^2 - 40^2) \cdot 0,4 \cdot 0,9=10851 \text{ Н};$$

Розрахунок на міцність та зносостійкість найбільш навантажених та рухомих елементів пристрою

В спроектованому пристрої “слабкою ланкою” є шток пневмоциліндра який працює на розрив (рис. 3.3).

					МР.ПМК-007.00.000.000 ПЗ	Арк.
Змн.	Арк.	№ докум.	Підпис	Дата		59

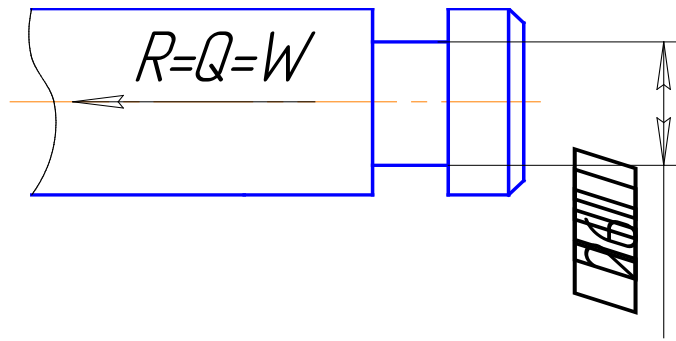


Рисунок 3.3 – Схема дії сили розтягу на шток.

Умова міцності на розрив:

$$\sigma < [\sigma],$$

де: $[\sigma]$ – допустима напруга на розрив.

Матеріал штока – Сталь 45 ДСТУ 1050:2000

Допустиме напруження на розтяг $G_p=312$ МПа;

$$\sigma = \frac{Q}{F} = \frac{4 \cdot Q}{\pi \cdot d^2} = \frac{4 \cdot 10851}{3,14 \cdot 26^2} = 27,35 \text{ МПа};$$

В даному випадку

$$\sigma_p \leq [\sigma_p] \quad (27,35 < 312),$$

Отже умова міцності на розтяг витримується.

					МР.ПМК-007.00.000.000 ПЗ	Арк.
Змн.	Арк.	№ докум.	Підпис	Дата		60

3.1.4 Розрахунок пристрою на точність

Точність виготовлення пристрою впливає на точність розміру деталі $103,5 \pm 0,1$.

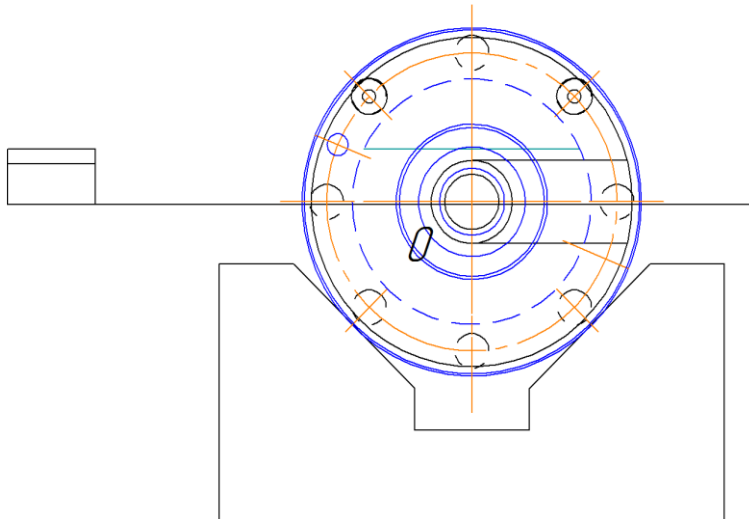


Рисунок 3.4 – Схема формування розмірів при фрезеруванні нижньої площини в розмір $103,5 \pm 0,1$

Допустима неточність виготовлення пристрою визначається за формулою:

$$T_{np} \leq T_z - 1,2 \cdot \sqrt{(0,8 \cdot \varepsilon_6)^2 + \varepsilon_3^2 + (0,8 \cdot \omega)^2}$$

Де T_z -допуск на виконуваний при обробці заготовки розмір, мм;

ε_6 -похибка базування заготовки в пристрої, мм;

ε_3 -похибка закріплення заготовки в пристрої, мм;

ω -економічна точність обробки даним методом, мм;

$T_z = 2$ мм;

Похибка викликана неточністю розміру між робочими поверхнями опор і віссю обертання пристрою.

Похибка базування при співпадінні конструкторської і технологічної бази $\varepsilon_6 = 0$;

Похибка закріплення заготовки в пристрої в даному випадку $\varepsilon_3 = 0,05$ мм;

Економічна точність обробки даним методом згідно [2] с.17 $\omega = 0,3$ мм;

$$T_{np} = 2 - 1,2 \cdot \sqrt{0 + 0,05^2 + (0,8 \cdot 0,3)^2} = 1,7 \text{ мм};$$

Розмір щупа $2_{-0,006}$.

Похибка $1,7 - 0,006 = 1,69$ мм

					МР.ПМК-007.00.000.000 ПЗ	Арк.
Змн.	Арк.	№ докум.	Підпис	Дата		61

Приймаємо 1,6 мм.

Дану похибку ставимо на робочому кресленні пристрою як допуск на розмір між робочою поверхнею установка і нижньою площиною призми.

Спрацювання призми:

$$Y = \frac{1}{\sin \alpha / 2} \left[\frac{C_m \cdot q}{10K_{cn}} + \frac{1,15C_e}{K_{cn}^{0,4}} (q/d)^{0,2} + 1,07 \frac{C_m}{K_{cn}^{\frac{1}{5(V_0+V_3)}}} (q/d)^{\frac{1}{10(V_0+V_3)}} \right]$$

$q=10851$ Н – сумарне лінійне навантаження, що діє по нормалі до робочих поверхонь призми, Н/мм;

$d=100$ мм – діаметр циліндричної поверхні заготовки;

r_{cn} – радіус спрацьованої сферичної опори, мм;

$$r_{cn} = \frac{r^2}{r - 8u}$$

r – радіус виготовлення сферичної опори, мм;

u – лінійне спрацювання опори, мм;

α – кут призми, град;

v – безрозмірні параметри опорної кривої;

$K_{сп}$ – безрозмірний коефіцієнт, що враховує вплив спрацювання призми;

$$K_{сп} = \sqrt{R_{cn}(R_{cn} - 0,5d)}$$

$R_{сп}$ – радіус спрацьованої поверхні призми, мм;

$$R_{cn} = 0,125 \left[2\sqrt{d \cdot u} + (0,5 \cdot Td + u) \operatorname{ctg} \frac{\alpha}{2} \right]^2 \cdot \frac{1}{u}$$

C_m, C_v, C_t – безрозмірні коефіцієнти;

Згідно [5]с. 40 $r_{cn}=r, u=0; K_{сп}=1;$

$C_m=0,027; K=0,82; \alpha=0,695; K_1=0,62; \alpha_1=0,55;$

$$C_v=K=(1+W_3)^\alpha$$

$W_3=10$ мкм; $v_3=1,94$ мкм; [5]с. 40 табл. 1.6;

$v_0=1,4;$

$$R_{cn} = 0,125 \left[2\sqrt{100 \cdot 0} + (0,5 \cdot 0,4 + 0) \operatorname{ctg} \frac{90}{2} \right]^2 \cdot \frac{1}{0} = 0,05 \text{ мм};$$

$$C_v=K=(1+10)^{0,695}=5,29;$$

					МР.ПМК-007.00.000.000 ПЗ	Арк.
Змн.	Арк.	№ докум.	Підпис	Дата		62

$$K_{cn} = \sqrt{0,05(0,05 - 0,5 \cdot 0,695)} = 0,027;$$

$$Y = \frac{1}{90/2} \left[\frac{0,027 \cdot 7351,38}{100,027} + \frac{1,15 \cdot 5,29}{0,027^{0,4}} (10851/100)^{0,2} + 1,07 \frac{1}{0,027^{5(1,4+1,940)}} (7q/d)^{\frac{1}{10(V_0+V_3)}} \right] =$$

=18,6 мкм;

Спрацювання площини:

$$Y = (4 + R \max_3) \left[\frac{Q}{F \cdot C \cdot \sigma_t \cdot b_e} \right]^{\frac{1}{2+V_3}} + 0,13 R_{b_3}^{1/3} \left[\frac{W_3 \cdot \theta \cdot Q}{F} \right]^{\frac{2}{3}}$$

G_T=363МПа;

$$\theta = \frac{1 - \mu_0^2}{E_0} + \frac{1 - \mu_3^2}{E_3}$$

$$R_{\max} = 6R_a = 6 \cdot 1,25 = 7,5 \text{ мкм};$$

$$W_3 = 10 \text{ мкм};$$

$$C = 5,7; [5] \text{ с. 43, табл. 1.7};$$

$$Y = (4 + 7,5) \left[\frac{10851}{1000 \cdot 5,7 \cdot 363 \cdot 2,7} \right]^{\frac{1}{2+1,4}} + 0,13 \cdot 7,5^{1/3} \left[\frac{10 \cdot 2,4 \cdot 10851}{1000} \right]^{\frac{2}{3}} = 8,1 \text{ мкм};$$

					МР.ПМК-007.00.000.000 ПЗ	Арк.
Змн.	Арк.	№ докум.	Підпис	Дата		63

3.2 Пристрій контрольний.

3.2.1 Опис призначення, конструкції та принципу роботи пристрою

Пристрій призначений для контролю радіального биття торця деталі 11 відносно бази внутрішнього отвору 14 з допуском 0,08 мм. Пристрій складається з розрізної втулки 1, яка сідає у внутрішній отвір (базу); корпуса 3 на який запресовуються два спарені упорні шарикопідшипники 9 з видаленням за допомогою реактопласту 10 і прокладки 2 радіального зазору, що створює попередній натяг. Пластмасовий шар (реактопласт) в цьому випадку являється компенсатором. Дана методика використовується для зняття радіального зазору у шпинделях верстатів. На підшипники напресовується кронштейн 4, що утримує індикатор 8 годинникового типу за допомогою болта 7. Стяжка 6 притискає корпус 3 до розрізної втулки 1, що дає змогу базувати контрольний пристрій в отворі (базі).

При роботі (контролі) даний пристрій встановлюється в отвір 14 деталі розрізною втулкою 1 і фіксується в ньому за допомогою стяжки 6 і ручки 5, що призводить до посадки контрольного пристрою в отвір без зазорів через сукупність деталей корпус 3, втулка розрізна 1, ручки 5. Після цього проводиться обертання кронштейна 4 за допомогою двох підшипників 9 запресованих на корпусі 3. На кінці кронштейна встановлено індикатор 8, який фіксує похибку.

3.2.2 Розрахунок пристрою на точність

Розрахунок пристрою на точність зводиться до визначення сумарної похибки вимірювання $\Delta_{вим.}$, яку порівнюють з допуском T_0 на параметр точності, що перевіряється.

Сумарну похибку вимірювання $\Delta_{вим.}$ визначаємо за формулою:

$$\Delta_{вим.} = 1,2 \cdot \sqrt{\varepsilon_0^2 + \varepsilon_3^2 + \Delta_{3.6.}^2 + \Delta_e^2 + \Delta_M^2},$$

					МР.ПМК-007.00.000.000 ПЗ	Арк.
Змн.	Арк.	№ докум.	Підпис	Дата		64

де: ε_{δ} - похибка вимірювання, мм; $\varepsilon_{\delta} = 0$ - так як пристрій базується безпосередньо в отвір;

ε_3 - похибка закріплення, мм; $\varepsilon_3 = 0$ - так як сила закріплення діє перпендикулярно до базової поверхні і зміщення іде в осьовому напрямку;

$\Delta_{з.в.}$ - похибка засобу вимірювання; $\Delta_{з.в.} = 0,01$ [5] ст. 471 табл. 15.

Δ_e - похибка встановлення еталона для настроювання пристрою; $\Delta_e = 0$ - так як еталон не використовуємо;

Δ_M - похибка, властива даному методу вимірювання. Вона залежить від методу вимірювання та конструктивних особливостей пристрою, зокрема від точності виготовлення передавальних механізмів, неточностей їх кінематики. В даному випадку похибка вимірювання буде залежати від зазору у підшипниках, який буде впливати на кут повороту деталі у пристрої α . Отже необхідно визначити кут α .

$$\Delta_M = L * \operatorname{tg} \alpha,$$

де: $L = 141$ мм – найбільша відстань, яка підлягає контролю

$$\operatorname{tg} \alpha = \frac{S_{\max}}{l_1};$$

$l_1 = 21$ мм – відстань між підшипниками.

$$S_{\max} = S_1 + S_2,$$

$S_1 = 0,006$ – найбільший перекося у підшипниках;

$S_2 = 2S_1/l_1 = 2 \times 0,006/21 = 0,0005$ мм – зміщення в підшипниках.

$$S_{\max} = 0,006 + 0,0005 = 0,0065 \text{ мм.}$$

$$\operatorname{tg} \alpha = \frac{0,0065}{21} = 0,0003.$$

$$\Delta_M = 141 \times 0,0003 = 0,0436 \text{ мм.}$$

Тоді:

					МР.ПМК-007.00.000.000 ПЗ	Арк.
Змн.	Арк.	№ докум.	Підпис	Дата		65

$$\Delta_{вим.} = 1,2 \cdot \sqrt{0^2 + 0^2 + 0,01^2 + 0^2 + 0,0436^2} = 0,054 \leq 0,08 \text{ мм.}$$

Отримане значення порівнюємо з допуском T_d на параметр точності, що перевіряється:

$$\Delta_{вим.} \leq (0,1 \div 0,25) \cdot T_d,$$

$$0,054 \leq (0,1 \div 0,25) \cdot 0,08 = 0,008 \div 0,02 - \text{умова виконується.}$$

3.2.3 Коефіцієнт уніфікації

Коефіцієнт застосування стандартних або уніфікованих деталей та вузлів визначаємо за формулою:

$$K_{пр} = \frac{\sum заг - \sum оп}{\sum заг} \cdot 100\%,$$

де: $\sum заг = 16$ – загальна кількість назв типорозмірів складових частин пристрою;

$\sum оп = 7$ – кількість назв типорозмірів оригінальних деталей та вузлів.

$$K_{пр} = \frac{16 - 7}{16} \cdot 100\% = 56,3\%.$$

					МР.ПМК-007.00.000.000 ПЗ	Арк.
Змн.	Арк.	№ докум.	Підпис	Дата		66

4 Науково-дослідна частина

4.1 Дослідження стійкості осьового різального інструменту при обробці корпусних деталей

4.2 Стійкість при свердлінні, зенкеруванні та розвертанні

Функціональні залежності стійкості свердла, зенкерів і розверток від швидкості різання, подачі і інших режимних параметрів встановлюють, використовуючи загальну методику проведення експериментів.

Стійкість T свердла, зенкерів та розверток рівна сумі основних технологічних часів t_{oi} , затрачених на обробку отворів, кількість яких рівна K_{3T} до моменту, коли спрацювання досягне прийнятого допустимого значення $h_{з.доп}$:

$$T = \sum t_{oi} = K_{3T} \cdot t_0 = C_{TO} \cdot v^{b_{oi}} \cdot l^{C_{ov}} \quad (4.1)$$

Критерієм завершення періоду стійкості може бути також невідповідність виготовлених отворів заданій точності розмірів і шорсткості поверхні.

4.3 Ресурс свердла, зенкерів і розверток

Одним із показників ресурсу свердла, зенкерів і розверток, як і всіх інших видів різального інструменту, є довжина робочого шляху різання L за період стійкості. Ця величина рівна довжині гвинтової траєкторії результуючого руху різання спряження головного і допоміжного леза за період стійкості і виражається добутком:

$$L = v \cdot T \quad (4.2)$$

Другим показником ресурсу свердла являється сумарна площа $\sum A$ циліндричних стінок отворів, оброблених цими інструментами за період їх стійкості. Для отвору діаметром D ця величина рівна:

$$\sum A = \pi \cdot D \cdot S \cdot n \cdot T, \quad (4.3)$$

де S - подача, мм/хв;

n - частота обертання шпинделя верстата.

Підставивши в рівняння (4.3) значення частоти обертання інструментів

$n = 1000 \cdot v / (\pi \cdot D)$, об/хв отримаємо:

					МР.ПМК-007.00.000.000 ПЗ	Арк.
Змн.	Арк.	№ докум.	Підпис	Дата		67

$$\sum A = 1000 \cdot S \cdot v \cdot T. \quad (4.4)$$

Ресурс свердл може також визначатися сумарною глибиною (довжиною) всіх отворів $\sum l = S \cdot n \cdot T$, оброблених за період стійкості і числом K_{3T} , однакових по розмірам оброблених отворів:

$$K_{3T} = L / \Delta L = \sum A / A = \sum l / l, \quad (4.5)$$

де: ΔL , A і l - відповідно шлях різання при обробці одного отвору, площа циліндричної поверхні отвору і глибина (довжина) отвору.

Вираз ресурсу інструментів розглядаємо!" групи з допомогою K_{3T} оброблених отворів зручно для практичного використання в виробничих умовах.

Ресурс свердл виражається через довжину робочого шляху L , може бути представленим як функція швидкості різання v . Для цього замінемо в рівнянні (7.1) стійкість його виразом по рівнянню.

Тоді:

$$L = 1000 \cdot v \cdot C_{TO} \cdot v^{b_{js}} \cdot I^{Cov}$$

Співставлення і аналіз рівняння показує, що функціональна залежність $L(v)$ (рисунок на кресленні) по характеру подібна кривій $T(v)$, по її максимальному зміщенні в область більших швидкостей різання. Швидкість різання, при якій ресурс максимальний визначається залежністю:

$$V_{L_{max}} = -(b_0 - 1) \cdot C_0, \quad (4.6)$$

а швидкість точки перегину:

$$V_{III} = -(b_0 - 1 - v b_0 + 1) C_0. \quad (4.7)$$

Проводити різання зі швидкостями меншими, ніж швидкість, яка відповідає максимальному ресурсу, нерационально, так як знижуються як ресурс інструментів, так і продуктивність праці.

Обробку отворів необхідно вести зі швидкостями різання $V > V_{L_{max}}$, коли зменшення ресурсу інструмента зі збільшенням швидкості різання компенсується збільшенням продуктивності. В цьому діапазоні при деяких швидкостях різання $V_{II} > V_{L_{max}}$ і $V_{min} > V_{L_{max}}$ забезпечується відповідно максимальна

					МР.ПМК-007.00.000.000 ПЗ	Арк.
Змн.	Арк.	№ докум.	Підпис	Дата		68

норма виробітку і мінімальна собівартість обробки. Як наслідок, призначати режими різання при свердлінні, зенкеруванні і розвертанні, які відповідають максимальній стійкості інструментів недоцільно, тому на практиці використовують ділянку графіка залежності $T(v)$, яка лежить правіше точки $T_{L_{\max}}$.

4.4 Вплив подачі на стійкість.

Експериментальні дослідження робіт свердл, зенкерів і розверсток, оснащених матеріалами із швидкорізальних сталей, показали, що зміна подачі впливає на стійкість інструментів не так, як при точінні (рисунок на кресленні).

Всі три кривих на рисунку мають екстремальний характер і задовільно апроксимуються рівнянням 4.1. Але якщо у випадку точіння всі криві $T(v)$, отримані при різних подачах, мали максимуми при одній швидкості різання, то при роботі осьовими різальними інструментами збільшення подачі веде до зменшення максимумів в бік більших швидкостей різання.

При зміні подачі відповідно змінюються значення коефіцієнтів C_{T_0} , b_0 і C_0 в рівнянні (4.1). За допомогою графо-аналітичного методу можна встановити залежність $b_0(S)$, $C_0(S)$, $C_{T_0}(S)$. Експерименти показали, що при обробці конструкційних сталей ці залежності апроксимуються рівняннями виду:

$$b_0 = C_1 \cdot S^{b_1} \cdot l^{l_1 S}; C_0 = C_2 \cdot S^{b_2} \cdot l^{l_2 S}; C_{T_0} = C_3 \cdot S^{b_3} \cdot l^{l_3 S};$$

Підставимо ці вирази в рівняння (4.1) і отримаємо загальний вид залежності $T(v, S)$:

$$T = C_3 \cdot S^{b_3} \cdot v^{C_1 \cdot S^{b_1} \cdot l^{l_1 S}} \cdot l^{C_2 \cdot S^{b_2} \cdot l^{l_2 S} + l_3 S}, \quad (4.8)$$

Рівняння (4.8) справедливе в діапазоні швидкості різання $V_1 \dots V_2$, в якому були проведені експерименти. З врахуванням раціонального використання ресурсу свердла рекомендується обмежуватися діапазоном швидкостей $V_{L_{\max}}, \dots, V_2$.

В зоні швидкостей різання $V > V_{\text{ПТ}}$ (рисунок) можлива апроксимація експериментальних даних також степеневим рівнянням.

					МР.ПМК-007.00.000.000 ПЗ	Арк.
Змн.	Арк.	№ докум.	Підпис	Дата		69

$$T = \left[\frac{C_T \cdot D^n}{V \cdot t^x \cdot S^y \cdot HB^z} \right]^{\frac{1}{m}} \quad (4.9)$$

Рівняння 4.9, розв'язане відносно швидкості різання V , дозволяє розрахувати допустиму швидкість різання при даних значеннях стійкості інструмента, подачі, твердості оброблюваного матеріалу і діаметра інструмента:

$$V = \frac{C_V \cdot D^n}{T \cdot t^x \cdot S^y \cdot HB^z}, \quad (4.10)$$

де $t=(D-d)/2$;

d - діаметр отвору при розсвердлювання, зенкеруванні і розвертанні ($t=D/2$ при свердлінні).

4.4 Стійкість фрез

На основі побудованих за результатами експериментів кривих зносу задніх поверхонь визначається залежність стійкості фрез від швидкості різання. Стійкість фрез встановлюється на основі прийнятих критеріїв рівного або оптимального зносу. Критерій рівного зносу залишає суттєві невикористані резерви ресурсу інструмента, особливо при малих швидкостях різання. Переважно використовують критерій оптимального зносу, з яким необхідно повністю реалізовувати потенційні ресурси фрез. Оптимальному зносу фрези на кривих зносу відповідають точки, відмічені колами. Так як при практичному використанні отриманих експериментальних залежностей фрези можуть мати розкид значень фізико-механічних властивостей, то на кривих через точки, помічені трикутниками, які відповідають нижній границі середньостатистичного розсіювання експериментальних точок, проведена крива, яка визначає допустимий критерій оптимального зносу.

За координатами точок перетину кривої допустимого оптимального зносу з кривими зносу можна визначити функціональну залежність $v(T)$.

Для всіх розглянутих інструментів (свердла, зенкера, розвертки) стійкість T оцінювалася як сума основних технологічних часів $\sum t_0$, затрачених на обробку кількості $K_{з.т.}$ однотипових заготовок до моменту, коли лезо зносилося до

					МР.ПМК-007.00.000.000 ПЗ	Арк.
Змн.	Арк.	№ докум.	Підпис	Дата		70

допустимого нормами зносу $h_{з.доп}$.

Для фрез оцінка стійкості виробляється за двома позиціями.

З однієї сторони стійкість фрези T_{ϕ} визначається як сума основних технологічних часів $\sum t_0$ до моменту досягнення на задній поверхні леза зубів фрези допустимого нормативного зносу $h_{з.доп}$ при цьому не враховується, що частина зубів в любий момент роботи фрези здійснює свій робочий цикл, а решта холостий.

Згідно другої оцінки стійкості T_p визначається виходячи із суми тривалості $\sum t_0$ робочих циклів, здійснених в границях кута контакту ψ кожним окремо взятим зубом фрези.

Тоді $T_p / T_{\phi} = \psi / 360^\circ$ і стійкість зуба фрези:

$$T_p = T_{\phi} \psi / 360^\circ. \quad (4.11)$$

Тобто, вона завжди менша стійкості фрези в два і більше раз, так як кут контакту при фрезеруванні може змінюватися в границях $0 - 180^\circ$.

Залежність швидкості різання V від стійкості фрези T_{ϕ} в графічній формі показано на рисунку (див. креслення). Ця крива побудована по значенням швидкості різання і стійкості фрези; в точках перетину ліній - критерії оптимального зносу.

В діапазоні швидкостей різання, використовуваних при фрезерування на практиці. Крива залежності $V(T_{\phi})$ звичайно має вигляд монотонно зменшувальної кривої, схожа по формі на гіперболу.

В першому приближенні ця крива може бути апроксимована степенним рівнянням вигляду:

$$V = C_v / T_{\phi}^m.$$

Отримаємо загальну залежність швидкостей різання від цих параметрів:

$$V(T_{\phi}, t, S_z, B, D, Z).$$

Узагальнене рівняння має вигляд:

$$V = \frac{C_v \cdot D}{T_{\phi}^m \cdot t^x \cdot S_z^y \cdot B^n \cdot Z^u}, \quad (4.12)$$

Розв'язавши рівняння відносно стійкості фрези T_{ϕ} , отримаємо:

					МР.ПМК-007.00.000.000 ПЗ	Арк.
						71
Змн.	Арк.	№ докум.	Підпис	Дата		

$$T_{\phi} = \left[\frac{C_v \cdot D^q}{V \cdot t^x \cdot S_z^y \cdot B^n \cdot Z^u} \right]^{\frac{1}{m}}. \quad (4.13)$$

Числові значення коефіцієнта C_v і показників степені x, y, n, u, q, I, m вибираються з довідників.

Стійкість кожного зуба фрези за час здійснення робочих циклів може бути вирахована залежністю:

$$T_{\phi} = \left[\frac{C_v \cdot (\psi/360)^m \cdot D^q}{V \cdot t^x \cdot S_z^y \cdot B^n \cdot Z^u} \right]^{\frac{1}{m}}. \quad (4.14)$$

Якщо точність апроксимації експериментальних точок з допомогою рівнянь (4.12) і (4.13) недостатня, доцільно апроксимувати цю криву рівнянням виду:

$$T_{\phi} = C_v \cdot v^b \cdot l^{C_v}. \quad (4.15)$$

Узагальнені рівняння, які відображають функціональні залежності стійкості окремих зубів фрези та фрези в цілому, мають вигляд:

$$T_{\phi} = \frac{C_v \cdot v^b \cdot D^q}{l^{C_v} \cdot t^x \cdot S_z^y \cdot B^n \cdot Z^u}; \quad (4.16)$$

$$T_{\phi} = \frac{C_v \cdot v^b \cdot D^q \cdot \psi}{360 \cdot l^{C_v} \cdot t^x \cdot S_z^y \cdot B^n \cdot Z^u}; \quad (4.17)$$

Значення коефіцієнтів і показників степені в рівняннях 4.16 і 4.17 в цьому випадку необхідно визначити шляхом відповідної математичної обробки отриманих експериментальних даних.

					МР.ПМК-007.00.000.000 ПЗ	Арк.
Змн.	Арк.	№ докум.	Підпис	Дата		72

Проаналізуємо графіки впливу швидкості різання на стійкість і ресурс інструменту, зображені на рисунку 2(креслення, аркуш б).

Використаємо формулу для визначення ресурсу свердла $L=1000 \cdot v \cdot C_{To} \cdot v^{boi} \cdot I^{Cov}$.

В розрахунках режимів різання при свердлінні трьох отворів під різьбу М8 маємо швидкість різання $V_1=21$ м/хв. Підставимо в вище згадану формулу дану швидкість різання і дещо більшу, наприклад $V_2=35$ м/хв. і отримаємо:

$$L_1=1000 \cdot v_1 \cdot C_{To} \cdot v_1^{boi} \cdot I^{Cov}=1000 \cdot 21 \cdot C_{To} \cdot 21^{boi} \cdot I^{Cov};$$

$$L_2=1000 \cdot v_2 \cdot C_{To} \cdot v_2^{boi} \cdot I^{Cov}=1000 \cdot 35 \cdot C_{To} \cdot 35^{boi} \cdot I^{Cov}.$$

Поділимо друге рівняння на перше і отримаємо, в скільки разів збільшиться ресурс свердла, при цьому вважатимемо, що в двох випадках умови роботи однакові, тобто всі коефіцієнти, показники степені і довжина обробки однакові. Тоді отримаємо:

$$L_2/L_1=35/21 \cdot (35/21)^{boi}=1,67 \cdot (1,67)^{boi},$$

Як ми бачимо, при збільшенні швидкості в 1,67раза, ресурс свердла буде збільшуватись в більшу кількість разів, оскільки яким би не був показник степеня boi (встановлюється дослідним шляхом), вираз $(1,67)^{boi}$ буде завжди більшим одиниці. Згідно рисунку 2 (креслення) зрозуміло, що при збільшенні ресурсу інструмента на певну величину, його стійкість зменшується дещо на меншу величину, але оскільки на продуктивність обробки впливає величина швидкості різання, що є очевидним, то при швидкості $V_2=35$ м/хв $> V_1$ продуктивність обробки зросте, і найкраще, коли ця швидкість дещо більша швидкості V_{Lmax} (креслення). При цьому зросте продуктивність обробки і, відповідно, зменшиться собівартість виготовлення даного виробу.

Отже, невелике збільшення швидкості різання є доцільне для даного методу обробки.

					МР.ПМК-007.00.000.000 ПЗ	Арк.
						73
Змн.	Арк.	№ докум.	Підпис	Дата		

Перелік посилань на джерела

1. Паливода Ю. Є. Технологія оброблення корпусних деталей : навчальний посібник / Ю. Є. Паливода, І. Г. Ткаченко, Ю. Б. Капаціла, Ів. Б. Гевко. – Тернопіль : ТНТУ, 2016. – 156 с.

2. Паливода Ю. Є. Заготовки у машинобудівному виробництві : навчально-методичний посібник / Паливода Ю.Є., Дячун А.Є. – Тернопіль : Тернопільський національний технічний університет імені Івана Пулюя, 2023. – 148 с.

3. Технологія обробки типових деталей і складання машин : навчальний посібник. / С. В. Ковалевський, С. Г. Онищук. – Краматорськ - Тернопіль : ДДМА, 2023. – 132 с.

4. Ковалевський, С. В. Теоретичні основи технології виробництва деталей і складання машин у важкому машинобудуванні : навчальний посібник / С. В. Ковалевський, С. Г. Онищук, Ю. Б. Борисенко. – Краматорськ : ДДМА, 2013. – 179 с.

5. Технології формоутворення сучасних складно профільних деталей [Електронний ресурс] : навчальний посібник для студентів спеціальності 131 «Прикладна механіка» спеціалізація «Технології виготовлення літальних апаратів», «Технології машинобудування» / КПІ ім. Ігоря Сікорського ; уклад.: Ю. В. Петраков, С. В. Сохань, В. К. Фролов, В. М. Кореньков. – Електронні текстові дані. – Київ : КПІ ім. Ігоря Сікорського, 2018. – 380 с.

6. Кузнецов, Ю. М. Технологічне обладнання з ЧПК: механізми і оснащення: Навч. посібник / Ю. М. Кузнецов, О. Ф. Саленко, О. О. Харченко, В. Т. Щетинін. – Київ-Кременчук-Севастополь : Вид-во «Точка», 2014. – 500 с.

7. Кирилович, В. А. Нормування часу та режимів різання для токарних верстатів з ЧПУ. / В. А. Кирилович, П. П. Мельничук, В. А. Яновський; під заг. ред. В. А. Кириловича. – Житомир : ЖІТІ, 2001. – 600 с.

8. Міжгалузеві нормативи часу допоміжного, на обслуговування робочого місця, підготовчо-заключного при роботі на металорізальних верстатах. Середньосерійне та великосерійне виробництво. – Краматорськ : Центр продуктивності, 2003. – 276 с.

					МР.ПМК-007.00.000.000 ПЗ	Арк.
Змн.	Арк.	№ докум.	Підпис	Дата		74

9. Степчин Я.А. Порівняльна характеристика динаміки процесів торцевого фрезерування фрезами стандартних та спеціальних конструкцій / Я.А. Степчин // Вісник ЖДТУ. Сер. : Технічні науки. – 2016. – № 1 (72). – С. 51–56.

10. Виговський Г.М. Дослідження впливу сил різання при чистовому торцевому фрезеруванні на процеси формоутворення оброблюваних поверхонь / Г.М. Виговський, О.А. Громовий, М.М. Плисак // Технічна інженерія. – 2023. – № 2 (92). – С. 53–59. DOI: 10.26642/ten-2023-2(92)-53-59.

11. Дідик Р.П. Розрахункові операції режимів механічної обробки матеріалів: точіння, свердління, зенкерування, розгортання: навч. посіб. / Р.П. Дідик, В.В. Зіль, С.Т. Пацера. – Д.: Національний гірничий університет», 2013. – 196 с.

12. Технологія конструкційних матеріалів: підручник / [М.А.Сологуб, І.О.Рожнецький, О.І.Некроз та ін.]; за ред. М.А.Сологуба. - [2-е вад., перероб. і доп.]. - К.: Вища школа, 2002. - 374 с.

13. Технологія конструкційних матеріалів: підручник / [М.А.Сологуб, І.О.Рожнецький, О.І.Некроз та ін.]; за ред. М.А.Сологуба. - [2-е вад., перероб. і доп.]. - К.: Вища школа, 2002. - 374 с.

14. Технологія машинобудування : навчальний посібник / Є. О. Горбатюк, М. П. Мазур, А. С. Зенкін, В. Д. Каразей. – Львів : Новий Світ-2000, 2012. – 358

15. Панчук В.Г., Карпик Р.Т., Врюкало В.В., Одосій З.М.П - 14. Магістерська робота: методичні вказівки. Івано-Франківськ: ІФНТУНГ, 2021. с.

16. Технології для верстатів з числовим програмним керуванням: електронний навчальний посібник комбінованого (локального та мережного) використання [Електронний ресурс] / Дерібо О. В., Лозінський Д. О., Сердюк О. В. — Вінниця : ВНТУ, 2023. — 116 с.

					MP.PMK-007.00.000.000 ПЗ	Арк.
						75
Змн.	Арк.	№ докум.	Підпис	Дата		

Додатки

Керуюча програма обробки корпусу насоса НПО-25.06.02.014 на верстаті з ЧПК
мод. HAAS ST-25

```
100 ; -----
101 ; NO.| ID   | DIA.| TIP RAD| LENGTH
102 ; -----
103 ; 1|PізЧорн1|   | 0.0   |
104 ; -----
0.00 BEGIN PGM 10 MM
105 ; PROGRAM NAME : 10
106 ; PART NAME    : 1
107 ; PROGRAM DATE : 2025-12-05 - 11:03:03
108 ; PROGRAMMED BY : ADMIN
109 ; POWERMILL CB : 2024019.0
110 ; POST VER     : 2024.0.0.5142
111 ; OPTION FILE  : HEIDENHAINMOD
112 ; OUTPUT WORKPLANE : 1
113 ;
114 ; -----
115 ; NO.| ID   | DIA.| TIP RAD| LENGTH
116 ; -----
117 ; 1|PізЧорн1|   | 0.0   |
118 ; -----
119 ;
120 ; NUMBER OF TOOLPATHS: 1.0
121 ; ESTIMATED PROGRAM DURATION: 0 HOURS 0 MIN 6 SEC
122 ;
123 BLK FORM 0.1 Z X-85.0 Y-85.0 Z-81.2
124 BLK FORM 0.2 X85.0 Y85.0 Z1.0
125 ;
126 CYCL DEF 247 DATUM SETTING~
    Q339=+1; DATUM NUMBER
127 L M140 MBMAX FMAX
128 ; -----
129 ; START TOOLPATH : ЧорнТорець1
130 ; -----
131 ; PARAMETRIC FEEDRATE DEFINITION
132   Q1=500; PLUNGE FEED RATE
133   Q2=1000; CUTTING FEED RATE
134   Q3=3000; SKIM FEED RATE
135 ; FMAX USED FOR RAPID
136 ;
137 ; TOOL NO.   :1
138 ; TOOL TYPE :
139 ; TOOL ID    : PізЧорн1
140 ; TOOL DIA   : 0.0 LENGTH 0.0
141 ;
142 TOOL CALL 1 Z S1000 DL+0.0 DR+0.0
143 M03
144 L X400.0 Y0.0 FMAX
145 L Z-50.0 FMAX
146 M08
147 CYCL DEF 32.0 TOLERANCE
148 CYCL DEF 32.1 T0.1
```

```

149 CYCL DEF 32.2 HSC-MODE:1 TA2
150 L X257.2 Z-96.75 R0 FQ3
151 L Z-99.2501 F0.2
152 L X370.0
153 L Z-98.75
154 L X367.1716 Z-97.3358
155 L X400.0 Z-50.0 FQ3
156 ; -----
157 ; END TOOLPATH : ЧорнТорець1
158 ; -----
159 M09
160 M05
161 L M140 MBMAX FMAX
162 CYCL DEF 32.0 TOLERANCE
163 CYCL DEF 32.1
164 CYCL DEF 32.2
165 M30
166 END PGM 10 MM

100 ; -----
101 ; NO.| ID   | DIA.| TIP RAD| LENGTH
102 ; -----
103 ; 1|Свердло25|25.0 | 0.0  | 150.0
104 ; -----
0.00 BEGIN PGM 20 MM
105 ; PROGRAM NAME : 20
106 ; PART NAME    : 2
107 ; PROGRAM DATE : 2025-12-05 - 11:05:29
108 ; PROGRAMMED BY : ADMIN
109 ; POWERMILL CB  : 2024019.0
110 ; POST VER      : 2024.0.0.5142
111 ; OPTION FILE   : HEIDENHAINMOD
112 ; OUTPUT WORKPLANE : 1
113 ;
114 ; -----
115 ; NO.| ID   | DIA.| TIP RAD| LENGTH
116 ; -----
117 ; 1|Свердло25|25.0 | 0.0  | 150.0
118 ; -----
119 ;
120 ; NUMBER OF TOOLPATHS: 1.0
121 ; ESTIMATED PROGRAM DURATION: 0 HOURS 0 MIN 15 SEC
122 ;
123 BLK FORM 0.1 Z X-85.0 Y-85.0 Z-81.2
124 BLK FORM 0.2 X85.0 Y85.0 Z1.0
125 ;
126 CYCL DEF 247 DATUM SETTING~
    Q339=+1; DATUM NUMBER
127 L M140 MBMAX FMAX
128 ; -----
129 ; START TOOLPATH : Свердління25
130 ; -----
131 ; PARAMETRIC FEEDRATE DEFINITION
132 Q1=500; PLUNGE FEED RATE

```

133 Q2=1000; CUTTING FEED RATE
134 Q3=3000; SKIM FEED RATE
135 ; FMAX USED FOR RAPID
136 ;
137 ; TOOL NO. :1
138 ; TOOL TYPE : DRILL
139 ; TOOL ID : Свердло25
140 ; TOOL DIA : 25.0 LENGTH 150.0
141 ;
142 TOOL CALL 1 Z S1500 DL+0.0 DR+0.0
143 M03
144 L X0.0 Y0.0 FMAX
145 L Z88.0 FMAX
146 M08
147 CYCL DEF 32.0 TOLERANCE
148 CYCL DEF 32.1 T0.1
149 CYCL DEF 32.2 HSC-MODE:1 TA2
150 CYCL DEF 200 DRILLING~
Q200= 5.0; SET-UP CLEARANCE~
Q201= -34.2886; DEPTH~
Q206= 1000; FEED RATE FOR PLUNGING~
Q202= 155.3138; PLUNGING DEPTH~
Q210= 0.0; DWELL TIME AT TOP~
Q203= -33.0252; SURFACE COORDINATE~
Q204= 121.0252; 2ND SET-UP CLEARANCE~
Q211= 0.0; DWELL TIME AT DEPTH
151 L X0.0 Y0.0 R0 FMAX M99
152 CYCL DEF 200 DRILLING~
Q200= 5.0; SET-UP CLEARANCE~
Q201= -22.7138; DEPTH~
Q206= 1000; FEED RATE FOR PLUNGING~
Q202= 170.3138; PLUNGING DEPTH~
Q210= 0.0; DWELL TIME AT TOP~
Q203= -59.6; SURFACE COORDINATE~
Q204= 147.6; 2ND SET-UP CLEARANCE~
Q211= 0.0; DWELL TIME AT DEPTH
153 L X0.0 Y0.0 R0 FMAX M99
154 ; -----
155 ; END TOOLPATH : Свердління25
156 ; -----
157 M09
158 M05
159 L M140 MBMAX FMAX
160 CYCL DEF 32.0 TOLERANCE
161 CYCL DEF 32.1
162 CYCL DEF 32.2
163 M30
164 END PGM 20 MM

100 ; -----
101 ; NO.| ID | DIA.| TIP RAD| LENGTH
102 ; -----
103 ; 1|Свердло45|45.0 | 0.0 | 150.0
104 ; -----

```

0.00 BEGIN PGM 21 MM
105 ; PROGRAM NAME : 21
106 ; PART NAME : 2
107 ; PROGRAM DATE : 2025-12-05 - 11:05:32
108 ; PROGRAMMED BY : ADMIN
109 ; POWERMILL CB : 2024019.0
110 ; POST VER : 2024.0.0.5142
111 ; OPTION FILE : HEIDENHAINMOD
112 ; OUTPUT WORKPLANE : 1
113 ;
114 ; -----
115 ; NO.| ID | DIA.| TIP RAD| LENGTH
116 ; -----
117 ; 1|Свердло45|45.0 | 0.0 | 150.0
118 ; -----
119 ;
120 ; NUMBER OF TOOLPATHS: 1.0
121 ; ESTIMATED PROGRAM DURATION: 0 HOURS 0 MIN 5 SEC
122 ;
123 BLK FORM 0.1 Z X-85.0 Y-85.0 Z-81.2
124 BLK FORM 0.2 X85.0 Y85.0 Z1.0
125 ;
126 CYCL DEF 247 DATUM SETTING~
    Q339=+1; DATUM NUMBER
127 L M140 MBMAX FMAX
128 ; -----
129 ; START TOOLPATH : Свердління45
130 ; -----
131 ; PARAMETRIC FEEDRATE DEFINITION
132 Q1=500; PLUNGE FEED RATE
133 Q2=1000; CUTTING FEED RATE
134 Q3=3000; SKIM FEED RATE
135 ; FMAX USED FOR RAPID
136 ;
137 ; TOOL NO. :1
138 ; TOOL TYPE : DRILL
139 ; TOOL ID : Свердло45
140 ; TOOL DIA : 45.0 LENGTH 150.0
141 ;
142 TOOL CALL 1 Z S1500 DL+0.0 DR+0.0
143 M03
144 L X0.0 Y0.0 FMAX
145 L Z88.0 FMAX
146 M08
147 CYCL DEF 32.0 TOLERANCE
148 CYCL DEF 32.1 T0.1
149 CYCL DEF 32.2 HSC-MODE:1 TA2
150 CYCL DEF 200 DRILLING~
    Q200= 5.0; SET-UP CLEARANCE~
    Q201= -19.1; DEPTH~
    Q206= 1000; FEED RATE FOR PLUNGING~
    Q202= 109.6; PLUNGING DEPTH~
    Q210= 0.0; DWELL TIME AT TOP~
    Q203= -2.5; SURFACE COORDINATE~

```

Q204= 90.5; 2ND SET-UP CLEARANCE~
 Q211= 0.0; DWELL TIME AT DEPTH
 151 L X0.0 Y0.0 R0 FMAX M99
 152 ; -----
 153 ; END TOOLPATH : Свердління45
 154 ; -----
 155 M09
 156 M05
 157 L M140 MBMAX FMAX
 158 CYCL DEF 32.0 TOLERANCE
 159 CYCL DEF 32.1
 160 CYCL DEF 32.2
 161 M30
 162 END PGM 21 MM

 100 ; -----
 101 ; NO.| ID | DIA.| TIP RAD| LENGTH
 102 ; -----
 103 ; 1|PізЧорн1| | 0.0 |
 104 ; -----
 0.00 BEGIN PGM 40 MM
 105 ; PROGRAM NAME : 40
 106 ; PART NAME : 4
 107 ; PROGRAM DATE : 2025-12-05 - 11:07:37
 108 ; PROGRAMMED BY : ADMIN
 109 ; POWERMILL CB : 2024019.0
 110 ; POST VER : 2024.0.0.5142
 111 ; OPTION FILE : HEIDENHAINMOD
 112 ; OUTPUT WORKPLANE : 1
 113 ;
 114 ; -----
 115 ; NO.| ID | DIA.| TIP RAD| LENGTH
 116 ; -----
 117 ; 1|PізЧорн1| | 0.0 |
 118 ; -----
 119 ;
 120 ; NUMBER OF TOOLPATHS: 1.0
 121 ; ESTIMATED PROGRAM DURATION: 0 HOURS 0 MIN 44 SEC
 122 ;
 123 BLK FORM 0.1 Z X-85.0 Y-85.0 Z-81.2
 124 BLK FORM 0.2 X85.0 Y85.0 Z1.0
 125 ;
 126 CYCL DEF 247 DATUM SETTING~
 Q339=+1; DATUM NUMBER
 127 L M140 MBMAX FMAX
 128 ; -----
 129 ; START TOOLPATH : ЧорнТорець2
 130 ; -----
 131 ; PARAMETRIC FEEDRATE DEFINITION
 132 Q1=500; PLUNGE FEED RATE
 133 Q2=1000; CUTTING FEED RATE
 134 Q3=3000; SKIM FEED RATE
 135 ; FMAX USED FOR RAPID
 136 ;

137 ; TOOL NO. :1
138 ; TOOL TYPE :
139 ; TOOL ID : P13ЧорН1
140 ; TOOL DIA : 0.0 LENGTH 0.0
141 ;
142 TOOL CALL 1 Z S1000 DL+0.0 DR+0.0
143 M03
144 L X400.0 Y0.0 FMAX
145 L Z-228.0001 FMAX
146 M08
147 CYCL DEF 32.0 TOLERANCE
148 CYCL DEF 32.1 T0.1
149 CYCL DEF 32.2 HSC-MODE:1 TA2
150 L X196.0 Z-183.0 R0 FQ3
151 L Z-181.0 F0.2
152 L X370.0
153 L Z-181.45
154 L X367.1716 Z-182.8642
155 L Z-183.0 FQ3
156 L X196.0
157 L Z-182.55
158 L Z-180.55 F0.2
159 L X370.0
160 L Z-181.0
161 L X367.1716 Z-182.4142
162 L Z-182.55 FQ3
163 L X196.0
164 L Z-182.1
165 L Z-180.1001 F0.2
166 L X370.0 Z-180.1
167 L Z-180.55
168 L X367.1716 Z-181.9642
169 L Z-182.1 FQ3
170 L X196.0
171 L Z-181.6501
172 L Z-179.6501 F0.2
173 L X370.0
174 L Z-180.1
175 L X367.1716 Z-181.5143
176 L Z-181.6501 FQ3
177 L X196.0
178 L Z-181.2001
179 L Z-179.2001 F0.2
180 L X370.0
181 L Z-179.6501
182 L X367.1716 Z-181.0643
183 L Z-181.2001 FQ3
184 L X196.0
185 L Z-180.7501
186 L Z-178.7501 F0.2
187 L X370.0
188 L Z-179.2001
189 L X367.1716 Z-180.6143
190 L X400.0 Z-228.0001 FQ3

```
191 ; -----
192 ; END TOOLPATH : ЧорнТорець2
193 ; -----
194 M09
195 M05
196 L M140 MBMAX FMAX
197 CYCL DEF 32.0 TOLERANCE
198 CYCL DEF 32.1
199 CYCL DEF 32.2
200 M30
201 END PGM 40 MM

100 ; -----
101 ; NO.| ID      | DIA.| TIP RAD| LENGTH
102 ; -----
103 ; 1|РізецьКанавк|   | 0.0 |
104 ; -----
0.00 BEGIN PGM 43 MM
105 ; PROGRAM NAME : 43
106 ; PART NAME    : 4
107 ; PROGRAM DATE : 2025-12-05 - 11:07:47
108 ; PROGRAMMED BY : ADMIN
109 ; POWERMILL CB : 2024019.0
110 ; POST VER     : 2024.0.0.5142
111 ; OPTION FILE  : HEIDENHAINMOD
112 ; OUTPUT WORKPLANE : 1
113 ;
114 ; -----
115 ; NO.| ID      | DIA.| TIP RAD| LENGTH
116 ; -----
117 ; 1|РізецьКанавк|   | 0.0 |
118 ; -----
119 ;
120 ; NUMBER OF TOOLPATHS: 1.0
121 ; ESTIMATED PROGRAM DURATION: 0 HOURS 0 MIN 45 SEC
122 ;
123 BLK FORM 0.1 Z X-85.0 Y-85.0 Z-81.2
124 BLK FORM 0.2 X85.0 Y85.0 Z1.0
125 ;
126 CYCL DEF 247 DATUM SETTING~
    Q339=+1; DATUM NUMBER
127 L M140 MBMAX FMAX
128 ; -----
129 ; START TOOLPATH : КанавкаЧорн
130 ; -----
131 ; PARAMETRIC FEEDRATE DEFINITION
132 Q1=500; PLUNGE FEED RATE
133 Q2=1000; CUTTING FEED RATE
134 Q3=3000; SKIM FEED RATE
135 ; FMAX USED FOR RAPID
136 ;
137 ; TOOL NO.   :1
138 ; TOOL TYPE :
139 ; TOOL ID    : РізецьКанавк
```

140 ; TOOL DIA : 0.0 LENGTH 0.0
141 ;
142 TOOL CALL 1 Z S1000 DL+0.0 DR+0.0
143 M03
144 L X400.0 Y0.0 FMAX
145 L Z-228.0001 FMAX
146 M08
147 CYCL DEF 32.0 TOLERANCE
148 CYCL DEF 32.1 T0.1
149 CYCL DEF 32.2 HSC-MODE:1 TA2
150 L X369.5 Z-144.9694 R0 FQ3
151 L X364.5 F0.2
152 L X365.5
153 L X369.0 FQ3
154 L X365.5 F0.2
155 L X363.5
156 L X364.5
157 L X368.0 FQ3
158 L X364.5 F0.2
159 L X362.5
160 L X363.5
161 L X367.0 FQ3
162 L X363.5 F0.2
163 L X361.5
164 L X362.5
165 L X366.0 FQ3
166 L X362.5 F0.2
167 L X360.5
168 L X361.5
169 L X365.0 FQ3
170 L X361.5 F0.2
171 L X359.5
172 L X360.5
173 L X364.0 FQ3
174 L X360.5 F0.2
175 L X358.5
176 L X359.5
177 L X363.0 FQ3
178 L X359.5 F0.2
179 L X357.5
180 L X358.5
181 L X362.0 FQ3
182 L X358.5 F0.2
183 L X356.5
184 L X357.5
185 L X361.0 FQ3
186 L X357.5 F0.2
187 L X355.5
188 L X356.5
189 L X360.0 FQ3
190 L X356.5 F0.2
191 L X354.5
192 L X355.5
193 L X359.0 FQ3

194 L X355.5 F0.2
195 L X353.5
196 L X354.5
197 L X358.0 FQ3
198 L X354.5 F0.2
199 L X352.5
200 L X353.5
201 L X357.0 FQ3
202 L X353.5 F0.2
203 L X351.5
204 L X352.5
205 L X356.0 FQ3
206 L X352.5 F0.2
207 L X350.5
208 L X351.5
209 L X355.0 FQ3
210 L X351.5 F0.2
211 L X349.5
212 L X350.5
213 L X354.0 FQ3
214 L X350.5 F0.2
215 L X348.5
216 L X349.5
217 L X353.0 FQ3
218 L X349.5 F0.2
219 L X347.5
220 L X348.5
221 L X352.0 FQ3
222 L X348.5 F0.2
223 L X346.5
224 L X347.5
225 L X351.0 FQ3
226 L X347.5 F0.2
227 L X345.5
228 L X346.5
229 L X350.0 FQ3
230 L X346.5 F0.2
231 L X344.5
232 L X345.5
233 L X349.0 FQ3
234 L X345.5 F0.2
235 L X343.5
236 L X344.5
237 L X348.0 FQ3
238 L X344.5 F0.2
239 L X342.5
240 L X343.5
241 L X347.0 FQ3
242 L X343.5 F0.2
243 L X341.5
244 L X342.5
245 L X346.0 FQ3
246 L X342.5 F0.2
247 L X340.5

248 L X341.5
249 L X345.0 FQ3
250 L X341.5 F0.2
251 L X339.5
252 L X340.5
253 L X344.0 FQ3
254 L X340.5 F0.2
255 L X338.5
256 L X339.5
257 L X343.0 FQ3
258 L X339.5 F0.2
259 L X337.5
260 L X338.5
261 L X342.0 FQ3
262 L X338.5 F0.2
263 L X336.5
264 L X337.5
265 L X341.0 FQ3
266 L X337.5 F0.2
267 L X335.5
268 L X336.5
269 L X340.0 FQ3
270 L X336.5 F0.2
271 L X334.5
272 L X335.5
273 L X339.0 FQ3
274 L X335.5 F0.2
275 L X333.5
276 L X334.5
277 L X338.0 FQ3
278 L X334.5 F0.2
279 L X332.5
280 L X333.5
281 L X337.0 FQ3
282 L X333.5 F0.2
283 L X331.5
284 L X332.5
285 L X336.0 FQ3
286 L X332.5 F0.2
287 L X330.5
288 L X331.5
289 L X335.0 FQ3
290 L X331.5 F0.2
291 L X329.5
292 L X330.5
293 L X334.0 FQ3
294 L X330.5 F0.2
295 L X328.5
296 L X329.5
297 L X333.0 FQ3
298 L X329.5 F0.2
299 L X327.5
300 L X328.5
301 L X332.0 FQ3

302 L X328.5 F0.2
303 L X326.5
304 L X327.5
305 L X331.0 FQ3
306 L X327.5 F0.2
307 L X325.5
308 L X326.5
309 L X330.0 FQ3
310 L X326.5 F0.2
311 L X324.5
312 L X325.5
313 L X329.0 FQ3
314 L X325.5 F0.2
315 L X323.5
316 L X324.5
317 L X328.0 FQ3
318 L X324.5 F0.2
319 L X322.5
320 L X323.5
321 L X327.0 FQ3
322 L X323.5 F0.2
323 L X321.5
324 L X322.5
325 L X326.0 FQ3
326 L X322.5 F0.2
327 L X320.5
328 L X321.5
329 L X325.0 FQ3
330 L X321.5 F0.2
331 L X319.5
332 L X320.5
333 L X324.0 FQ3
334 L X320.5 F0.2
335 L X318.5
336 L X319.5
337 L X323.0 FQ3
338 L X319.5 F0.2
339 L X317.5
340 L X318.5
341 L X322.0 FQ3
342 L X318.5 F0.2
343 L X316.5
344 L X317.5
345 L X321.0 FQ3
346 L X317.5 F0.2
347 L X315.5
348 L X316.5
349 L X320.0 FQ3
350 L X316.5 F0.2
351 L X314.5184
352 L X315.5184
353 L X369.5 FQ3
354 L Z-140.9694
355 L X364.5 F0.2

356 L X365.5
357 L X368.7821 FQ3
358 L X365.5 F0.2
359 L X363.5
360 L X364.5
361 L X367.7821 FQ3
362 L X364.5 F0.2
363 L X362.5
364 L X363.5
365 L X366.7821 FQ3
366 L X363.5 F0.2
367 L X361.5
368 L X362.5
369 L X365.7821 FQ3
370 L X362.5 F0.2
371 L X360.5
372 L X361.5
373 L X364.7821 FQ3
374 L X361.5 F0.2
375 L X359.5
376 L X360.5
377 L X363.7821 FQ3
378 L X360.5 F0.2
379 L X358.5
380 L X359.5
381 L X362.7821 FQ3
382 L X359.5 F0.2
383 L X357.5
384 L X358.5
385 L X361.7821 FQ3
386 L X358.5 F0.2
387 L X356.5
388 L X357.5
389 L X360.7821 FQ3
390 L X357.5 F0.2
391 L X355.5
392 L X356.5
393 L X359.7821 FQ3
394 L X356.5 F0.2
395 L X354.5
396 L X355.5
397 L X358.7821 FQ3
398 L X355.5 F0.2
399 L X353.5
400 L X354.5
401 L X357.7821 FQ3
402 L X354.5 F0.2
403 L X352.5
404 L X353.5
405 L X356.7821 FQ3
406 L X353.5 F0.2
407 L X351.5
408 L X352.5
409 L X355.7821 FQ3

410 L X352.5 F0.2
411 L X350.5
412 L X351.5
413 L X354.7821 FQ3
414 L X351.5 F0.2
415 L X349.5
416 L X350.5
417 L X353.7821 FQ3
418 L X350.5 F0.2
419 L X348.5
420 L X349.5
421 L X352.7821 FQ3
422 L X349.5 F0.2
423 L X347.5
424 L X348.5
425 L X351.7821 FQ3
426 L X348.5 F0.2
427 L X346.5
428 L X347.5
429 L X350.7821 FQ3
430 L X347.5 F0.2
431 L X345.5
432 L X346.5
433 L X349.7821 FQ3
434 L X346.5 F0.2
435 L X344.5
436 L X345.5
437 L X348.7821 FQ3
438 L X345.5 F0.2
439 L X343.5
440 L X344.5
441 L X347.7821 FQ3
442 L X344.5 F0.2
443 L X342.5
444 L X343.5
445 L X346.7821 FQ3
446 L X343.5 F0.2
447 L X341.5
448 L X342.5
449 L X345.7821 FQ3
450 L X342.5 F0.2
451 L X340.5
452 L X341.5
453 L X344.7821 FQ3
454 L X341.5 F0.2
455 L X339.5
456 L X340.5
457 L X343.7821 FQ3
458 L X340.5 F0.2
459 L X338.5
460 L X339.5
461 L X342.7821 FQ3
462 L X339.5 F0.2
463 L X337.5

464 L X338.5
465 L X341.7821 FQ3
466 L X338.5 F0.2
467 L X336.5
468 L X337.5
469 L X340.7821 FQ3
470 L X337.5 F0.2
471 L X335.5
472 L X336.5
473 L X339.7821 FQ3
474 L X336.5 F0.2
475 L X334.5
476 L X335.5
477 L X338.7821 FQ3
478 L X335.5 F0.2
479 L X333.5
480 L X334.5
481 L X337.7821 FQ3
482 L X334.5 F0.2
483 L X332.5
484 L X333.5
485 L X336.7821 FQ3
486 L X333.5 F0.2
487 L X331.5
488 L X332.5
489 L X335.7821 FQ3
490 L X332.5 F0.2
491 L X330.5
492 L X331.5
493 L X334.7821 FQ3
494 L X331.5 F0.2
495 L X329.5
496 L X330.5
497 L X333.7821 FQ3
498 L X330.5 F0.2
499 L X328.5
500 L X329.5
501 L X332.7821 FQ3
502 L X329.5 F0.2
503 L X327.5
504 L X328.5
505 L X331.7821 FQ3
506 L X328.5 F0.2
507 L X326.5
508 L X327.5
509 L X330.7821 FQ3
510 L X327.5 F0.2
511 L X325.5
512 L X326.5
513 L X329.7821 FQ3
514 L X326.5 F0.2
515 L X324.5
516 L X325.5
517 L X328.7821 FQ3

518 L X325.5 F0.2
519 L X323.5
520 L X324.5
521 L X327.7821 FQ3
522 L X324.5 F0.2
523 L X322.5
524 L X323.5
525 L X326.7821 FQ3
526 L X323.5 F0.2
527 L X321.5
528 L X322.5
529 L X325.7821 FQ3
530 L X322.5 F0.2
531 L X320.5
532 L X321.5
533 L X324.7821 FQ3
534 L X321.5 F0.2
535 L X319.5
536 L X320.5
537 L X323.7821 FQ3
538 L X320.5 F0.2
539 L X318.5
540 L X319.5
541 L X322.7821 FQ3
542 L X319.5 F0.2
543 L X317.5
544 L X318.5
545 L X321.7821 FQ3
546 L X318.5 F0.2
547 L X316.5
548 L X317.5
549 L X320.7821 FQ3
550 L X317.5 F0.2
551 L X315.5
552 L X316.5
553 L X319.7821 FQ3
554 L X316.5 F0.2
555 L X314.5286
556 L X315.9428 Z-141.6765
557 L X369.5 FQ3
558 L Z-136.9694
559 L X364.5 F0.2
560 L X365.5
561 L X368.7821 FQ3
562 L X365.5 F0.2
563 L X363.5
564 L X364.5
565 L X367.7821 FQ3
566 L X364.5 F0.2
567 L X362.5
568 L X363.5
569 L X366.7821 FQ3
570 L X363.5 F0.2
571 L X361.5

572 L X362.5
573 L X365.7821 FQ3
574 L X362.5 F0.2
575 L X360.5
576 L X361.5
577 L X364.7821 FQ3
578 L X361.5 F0.2
579 L X359.5
580 L X360.5
581 L X363.7821 FQ3
582 L X360.5 F0.2
583 L X358.5
584 L X359.5
585 L X362.7821 FQ3
586 L X359.5 F0.2
587 L X357.5
588 L X358.5
589 L X361.7821 FQ3
590 L X358.5 F0.2
591 L X356.5
592 L X357.5
593 L X360.7821 FQ3
594 L X357.5 F0.2
595 L X355.5
596 L X356.5
597 L X359.7821 FQ3
598 L X356.5 F0.2
599 L X354.5
600 L X355.5
601 L X358.7821 FQ3
602 L X355.5 F0.2
603 L X353.5
604 L X354.5
605 L X357.7821 FQ3
606 L X354.5 F0.2
607 L X352.5
608 L X353.5
609 L X356.7821 FQ3
610 L X353.5 F0.2
611 L X351.5
612 L X352.5
613 L X355.7821 FQ3
614 L X352.5 F0.2
615 L X350.5
616 L X351.5
617 L X354.7821 FQ3
618 L X351.5 F0.2
619 L X349.5
620 L X350.5
621 L X353.7821 FQ3
622 L X350.5 F0.2
623 L X348.5
624 L X349.5
625 L X352.7821 FQ3

626 L X349.5 F0.2
627 L X347.5
628 L X348.5
629 L X351.7821 FQ3
630 L X348.5 F0.2
631 L X346.5
632 L X347.5
633 L X350.7821 FQ3
634 L X347.5 F0.2
635 L X345.5
636 L X346.5
637 L X349.7821 FQ3
638 L X346.5 F0.2
639 L X344.5
640 L X345.5
641 L X348.7821 FQ3
642 L X345.5 F0.2
643 L X343.5
644 L X344.5
645 L X347.7821 FQ3
646 L X344.5 F0.2
647 L X342.5
648 L X343.5
649 L X346.7821 FQ3
650 L X343.5 F0.2
651 L X341.5
652 L X342.5
653 L X345.7821 FQ3
654 L X342.5 F0.2
655 L X340.5
656 L X341.5
657 L X344.7821 FQ3
658 L X341.5 F0.2
659 L X339.5
660 L X340.5
661 L X343.7821 FQ3
662 L X340.5 F0.2
663 L X338.5
664 L X339.5
665 L X342.7821 FQ3
666 L X339.5 F0.2
667 L X337.5
668 L X338.5
669 L X341.7821 FQ3
670 L X338.5 F0.2
671 L X336.5
672 L X337.5
673 L X340.7821 FQ3
674 L X337.5 F0.2
675 L X335.5
676 L X336.5
677 L X339.7821 FQ3
678 L X336.5 F0.2
679 L X334.5

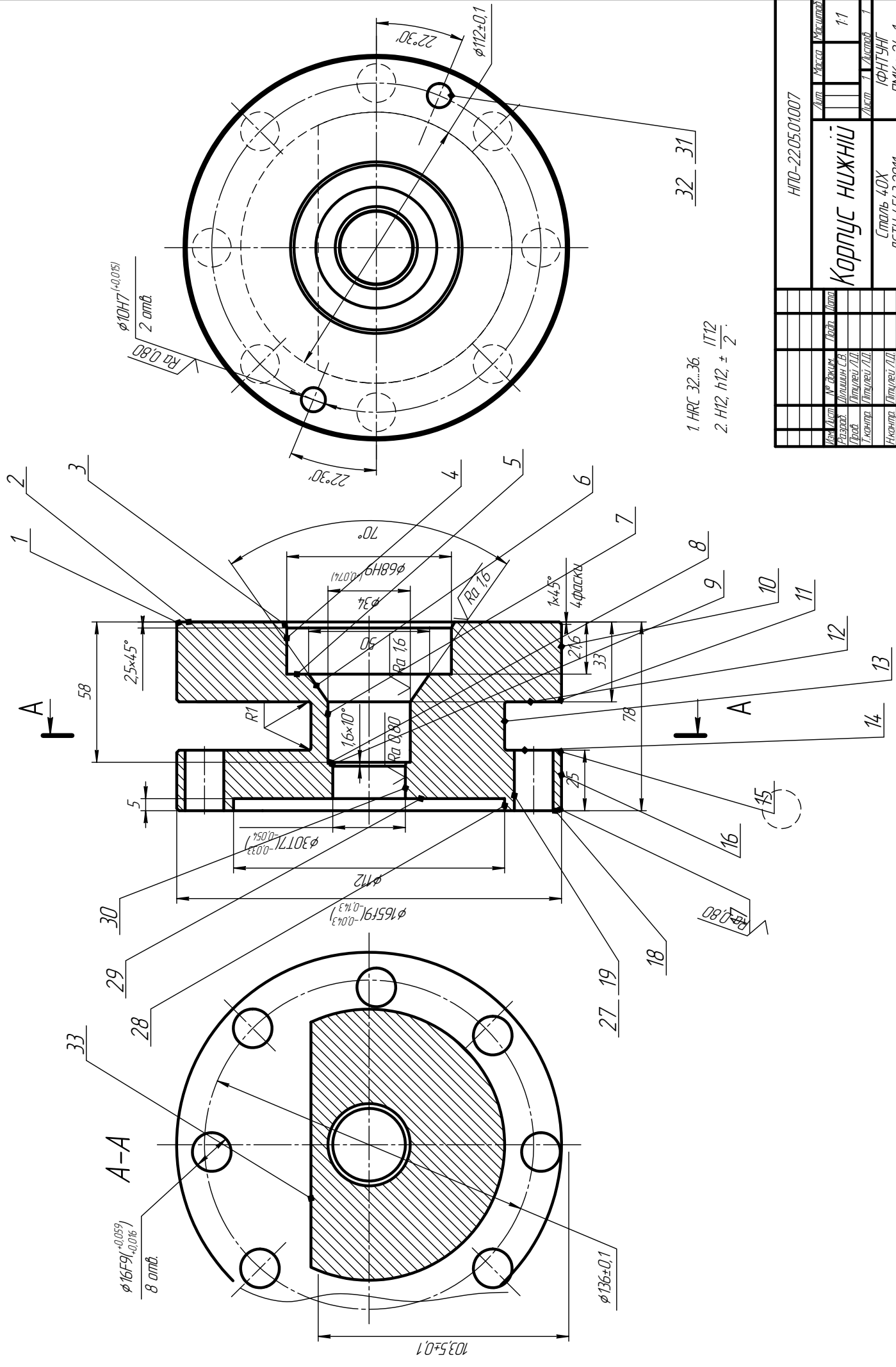
680 L X335.5
681 L X338.7821 FQ3
682 L X335.5 F0.2
683 L X333.5
684 L X334.5
685 L X337.7821 FQ3
686 L X334.5 F0.2
687 L X332.5
688 L X333.5
689 L X336.7821 FQ3
690 L X333.5 F0.2
691 L X331.5
692 L X332.5
693 L X335.7821 FQ3
694 L X332.5 F0.2
695 L X330.5
696 L X331.5
697 L X334.7821 FQ3
698 L X331.5 F0.2
699 L X329.5
700 L X330.5
701 L X333.7821 FQ3
702 L X330.5 F0.2
703 L X328.5
704 L X329.5
705 L X332.7821 FQ3
706 L X329.5 F0.2
707 L X327.5
708 L X328.5
709 L X331.7821 FQ3
710 L X328.5 F0.2
711 L X326.5
712 L X327.5
713 L X330.7821 FQ3
714 L X327.5 F0.2
715 L X325.5
716 L X326.5
717 L X329.7821 FQ3
718 L X326.5 F0.2
719 L X324.5
720 L X325.5
721 L X328.7821 FQ3
722 L X325.5 F0.2
723 L X323.5
724 L X324.5
725 L X327.7821 FQ3
726 L X324.5 F0.2
727 L X322.5
728 L X323.5
729 L X326.7821 FQ3
730 L X323.5 F0.2
731 L X321.5
732 L X322.5
733 L X325.7821 FQ3

734 L X322.5 F0.2
735 L X320.5
736 L X321.5
737 L X324.7821 FQ3
738 L X321.5 F0.2
739 L X319.5
740 L X320.5
741 L X323.7821 FQ3
742 L X320.5 F0.2
743 L X318.5
744 L X319.5
745 L X322.7821 FQ3
746 L X319.5 F0.2
747 L X317.5
748 L X318.5
749 L X321.7821 FQ3
750 L X318.5 F0.2
751 L X316.5
752 L X317.5
753 L X320.7821 FQ3
754 L X317.5 F0.2
755 L X315.5
756 L X316.5
757 L X319.7821 FQ3
758 L X316.5 F0.2
759 L X314.5388
760 L X315.9531 Z-137.6765
761 L X369.5 FQ3
762 L Z-148.9694
763 L X367.0591 F0.2
764 L X364.622 Z-147.7508
765 L X314.9627 Z-147.7237
766 L X314.6644 Z-147.6321
767 L X314.512 Z-147.4546
768 L X369.5 FQ3
769 L Z-132.5303
770 L X367.0609 F0.2
771 L X364.6224 Z-133.7501
772 L X315.0482 Z-133.7621
773 L X314.7135 Z-133.8413
774 L X314.5465 Z-133.9863
775 L X314.512 Z-147.4546
776 L X316.512 Z-146.4546
777 L X369.5 FQ3
778 L X400.0 Z-228.0001
779 ; -----
780 ; END TOOLPATH : КанавкаЧорн
781 ; -----
782 M09
783 M05
784 L M140 MBMAX FMAX
785 CYCL DEF 32.0 TOLERANCE
786 CYCL DEF 32.1
787 CYCL DEF 32.2

788 M30
789 END PGM 43 MM

HTD-22.05.01.007

√ Ra 3,2 (√)



- 1 HRC 32...36 IT12
- 2 H12, h12, $\pm \frac{1}{2}$

HTD-22.05.01.007		Корпус НУЖНІЇ		Сталь 40Х		ЛСТУ 4543-2011		ЛФНУНГ		ЛМКМ-24-1	
№ з/конт.	№ докум.	Вид	Масштаб	Лист	Листов	Лист	Листов	Лист	Листов	Лист	Листов
1	1	1	1:1	1	1	1	1	1	1	1	1

Формат А2

Корпус НУЖНІЇ

Дубл.													
Взамін.													
Підпис										Зм	Ар	Недок.	Підпис
													Дата

І Ф Н Т У Н Г

ПМКм-24-1

Корпус нижній НПО-22.05.01.007

н

Кафедра КМВ
 "Затверджую"
 Зав.кафедрою : Панчук В.Г.

**КОМПЛЕКТ
 технологічної
 документації**

Технологічний процес
 механічної обробки
Корпус нижній НПО-22.05.01.007

Розробив Ділишин С.В.
 Перевірів Пітулей Л.Д.

Акт № 389 від " 10 " листопада 2025 р.

Дубл.																							
Взамін																							
Підпис																							
Корпус нижній НПО-22.05.01.007																		2					
Розробив	Ділишин С.В.						ІФНТУНГ	ПМКм-24-1															
Перевірів	Пітулей Л.Д.																						
А	Цех	Уч	Рм	Опер	Код, найменування операції				Позначення документа														
Б	Код, назва обладнання				См	Проф.	Р	Уп	Кр	Ковд	Он	Оп	Кшт	Тп.з	Т.шт								
К/М	Назва деталі, скл. одиниці або матеріалу				Позначення, код						ППН	ОВ	ОН	КВ	Н. внутр								
A01				030	4261 Вертикально-фрезерна				6014.3.0201; 2014.3. 02101; 10П 3800-95														
B02	381101 Фрезерна верстат мод. JET JTM-1050TS.					18698	3	10	1	1	1	175	1	24	15.55								
03																							
A04				035	0210 Термічна																		
B05	XXXXXX Термопіч																						
06																							
07				035	0220 Контрольна				12287	4	10	1	1	175	1	32	22.45						
A08	3816xx Контрольний стіл																						
09																							
10																							
11																							
12																							
13																							
14																							
15																							
16																							
17																							
МК																							

Дубл.

Взамін.

Підпис

Зм

Ар

Недок.

Підпис

Дата

Розробив Ділишин С.В.

Перевірів Пітулей Л.Д.

Т.контр. Пітулей Л.Д.

Реценз.

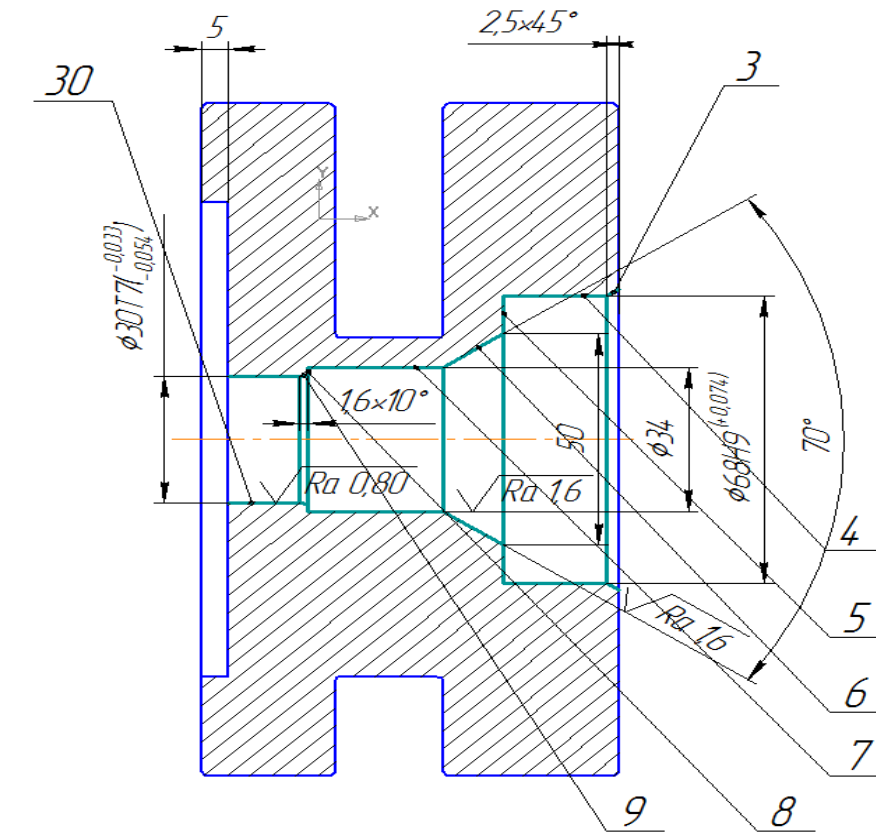
Н. контр. Пітулей Л.Д.

І Ф Н Т У Н Г

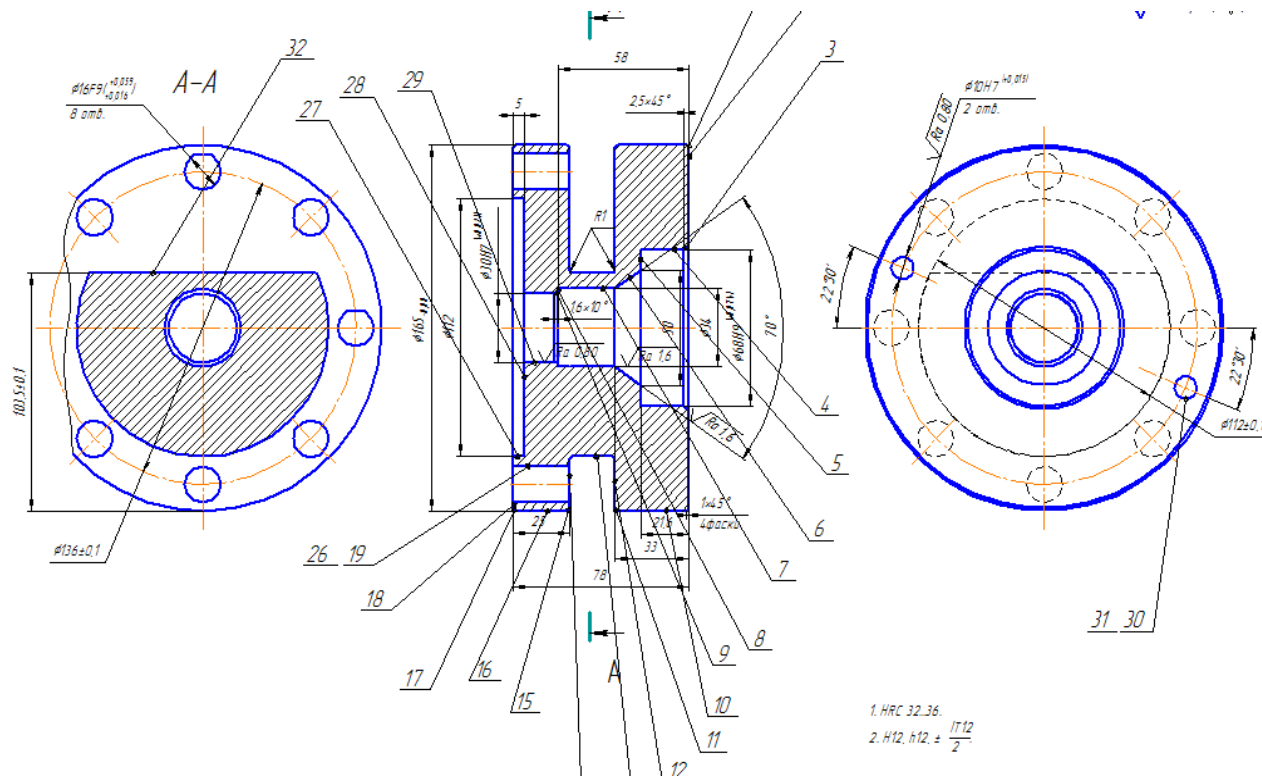
Корпус нижній НПО-22.05.01.007

Н

020



Дубл.									
Взам.									
Оригінал						Зм	Ар	Недок.	Підпис
Розробив	Ділишин С.В.					ПМКМ-24-1			
Перевірів	Пітулей Л.Д.								
Т.контр.	Пітулей Л.Д.								
Реценз.									
Н. контр.	Пітулей Л.Д.				Корпус нижній НПО-22.05.01.007				



KE

Контроль розмірів

Дубл.															
Взамін.															
Підпис								Зм	Ар	Недок.	Підпис	Дата			
Розробив	Ділишин С.В.			І Ф Н Т У Н Г	ПМКм-24-1										
Перевірів	Пітулей Л.Д.														
Т.контр.	Пітулей Л.Д.														
Реценз.				Корпус насоса НПО-25.06.02.014				Н							
Н. контр.	Пітулей Л.Д.														
Назва операції		Матеріал	Твердість	ОВ	МД	Профіль і розміри	МЗ	Конд							
035 Контрольна		40Х ДСТУ 4543:2011НВ217		ке	3.5	Ø170x70	3.5								
№ пер ex	Зміст переходу	Код засобів ТО	Найменування засобів ТО			Відсоток контролю	Особливі вказівки								
01	Перевірити розмір 78 _{-0.19}	014311.XXXX	Штангенциркуль І-125-0.05 ДСТУ166:2009			100									
02	Перевірити розмір 24 _{-0.13}	014311.XXXX	Штангенциркуль І-125-0.05 ДСТУ166:2009			100									
03	Перевірити розмір 16±0.21	014311.XXXX	Штангенциркуль І-125-0.05 ДСТУ166:2009			60									
04	Перевірити діаметр Ø 165h11	014311.XXXX	Штангенциркуль І-125-0.05 ДСТУ166:2009			60									
05	Перевірити діаметр Ø 68H8	014311.XXXX	Мікрометр МК75-175ДСТУ 6507:2010			60									
06						60									
07	Контролювати неперпендикулярність	014311.XXXX	Спеціальний пристрій для вимірювання			60									
08	торця відносно Ø 30H7		неперпендикулярності												
09															
10															
11															
12															
13															
14															
16															
КТК	035 Контрольна														

Формат	Зона	Поз.	Обозначение	Наименование	Кол.	Примечание
		15		Болт М16х80.58.05 ДСТУ 7815:2001	4	
		16		Гвинт М6х30-6.88 ДСТУ 1491:2001 Гвинти ДСТУ 1493:2001	3	
		17		М10х80-6.88	4	
		18		М12х80-6.88	2	
		19		Гайка М16.05 ДСТУ 5925:2005	10	
		20		Гайка М24.05 ДСТУ 5927:2005	1	
		21		Гайка М20.05 ДСТУ 5732:2005	5	
		22		Втулка С16.05.60 ДСТУ 7431:2006 Кільця ДСТУ 9748:2003	5	
		23		40х28х60	2	
		24		200х184х80	4	
		25		Кільце 60х40х100 ДСТУ 11347:2003	2	
		26		Кран розподільчий В22-71 ДСТУ 8792:2003	1	
		27		Пружина №214 ДСТУ 3266:2001 Шайби ДСТУ 6402:2003	2	
		28		4.65Г	8	
		29		6.65Г	3	
		30		10.65Г	2	
		31		12.65Г	2	
		32		16.65Г	18	
		33		Шайба 16.05.88 ДСТУ 10954:2007	5	

Инд. № подл.	Взам. инв. №	Инд. № дробл.	Подп. и дата

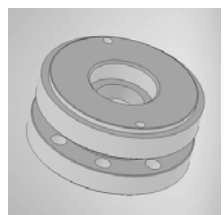
МР.ПМК-007.04.00.000 СК

Лист
2

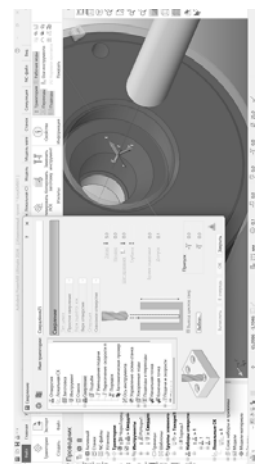
Изм. Лист № докум. Подп. Дата

Копировал

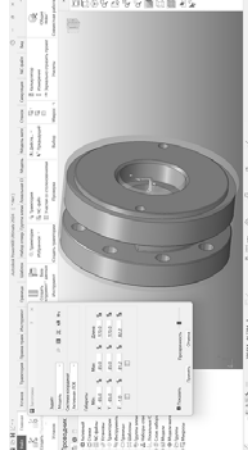
Формат А4



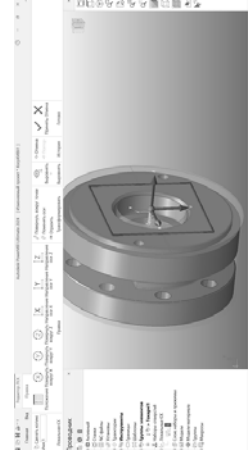
3D-модель деталі та заготовки



Проектування свердління



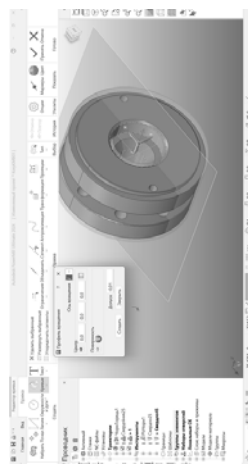
Модель, імпортована в систему PowerMill та вибір способу задання заготовки



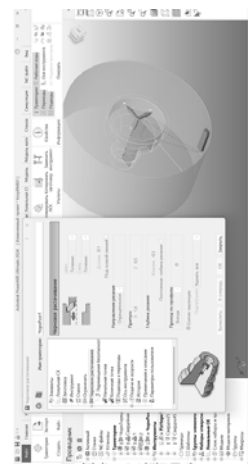
Створення локальної системи координат



Проектування чорнового точіння торця



Осьовий перетин площиною



Проектування розточування



Створення і розрахунок NC файла

Керуючі програми:

```

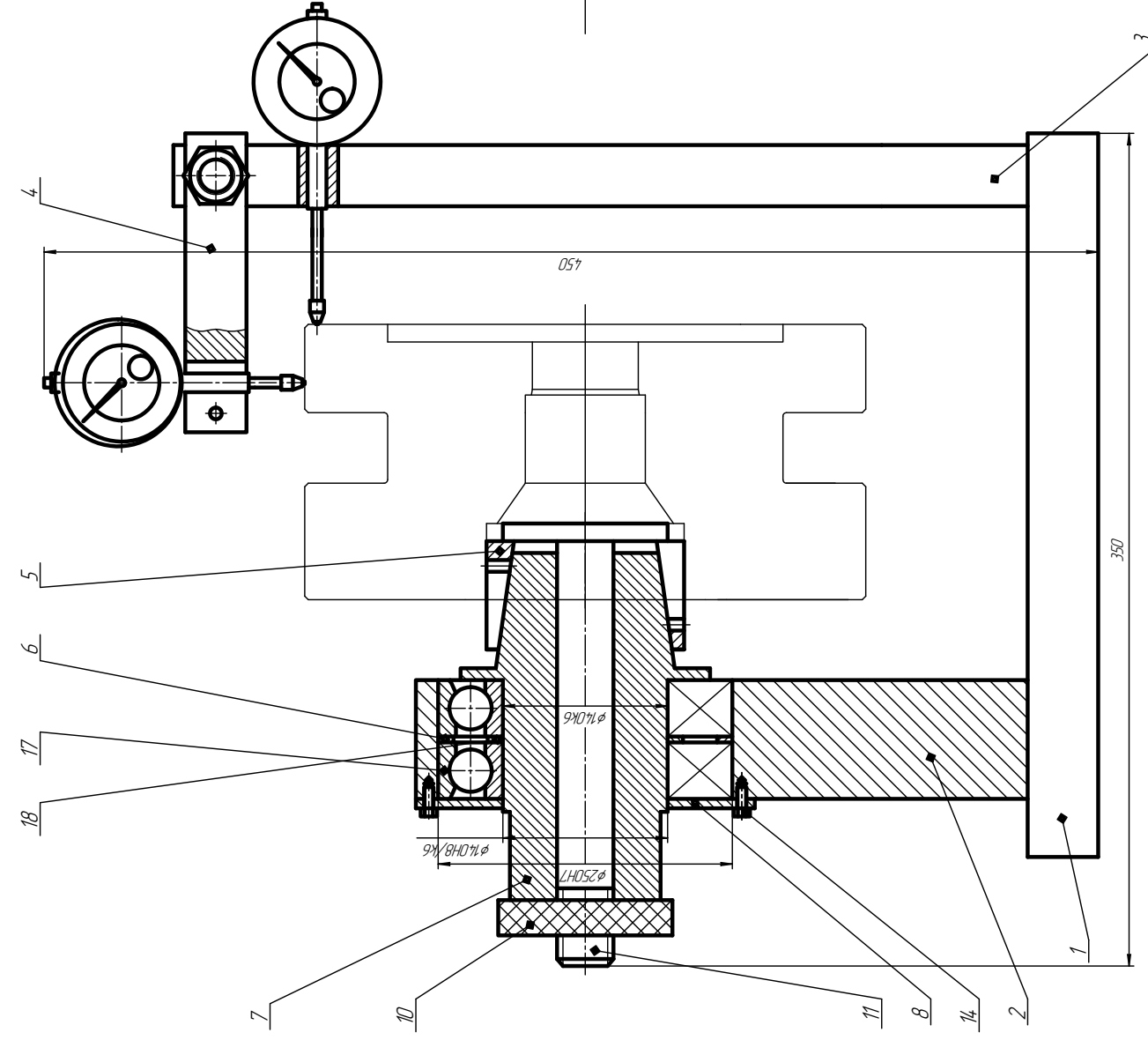
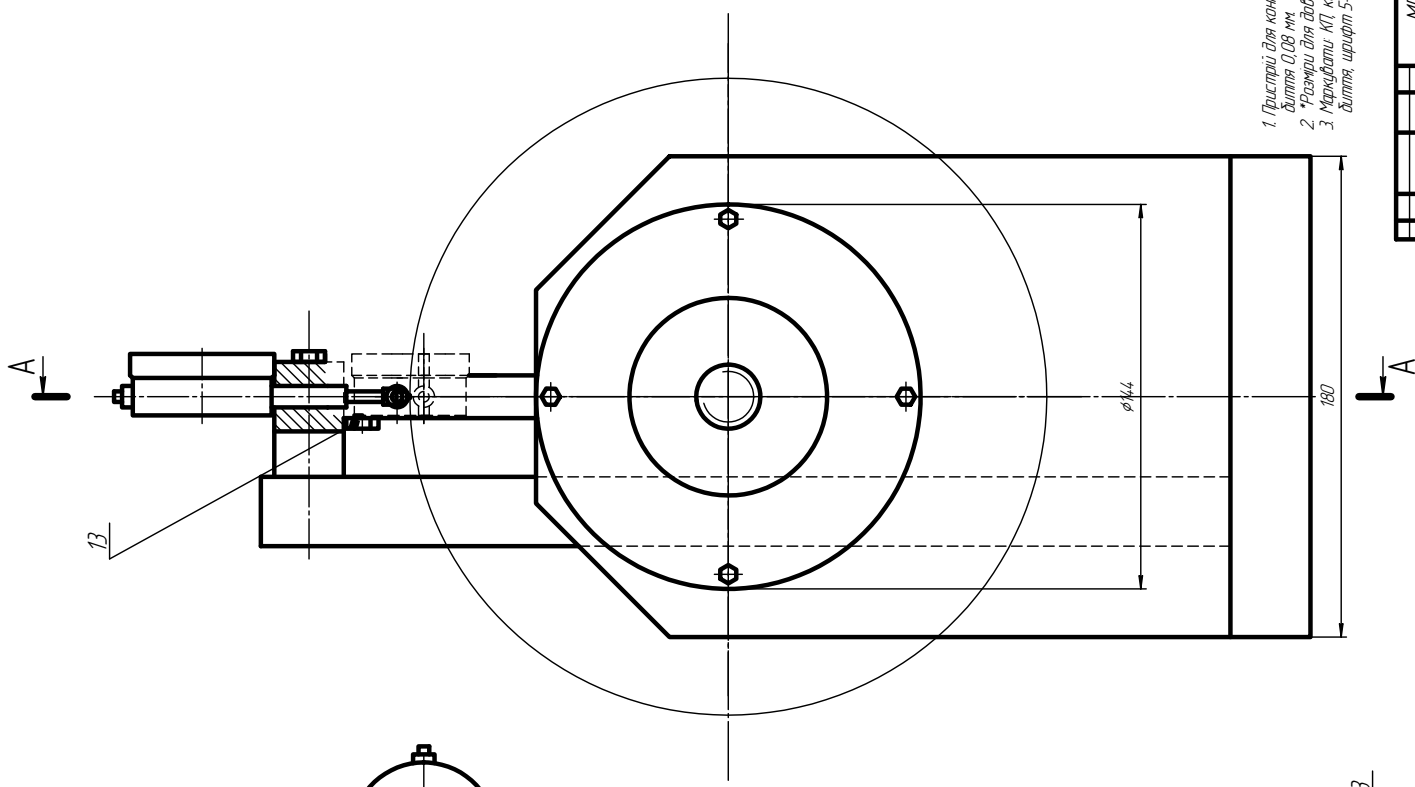
100: .....
101: NO:ID |DIA| TIP RAD| LENGTH
102: .....
103: |Сверло45|45.0| 0.0 |150.0
104: .....
105: PROGRAM NAME :21
106: PART NAME :2
107: PROGRAM DATE :2025-12-05 - 11:05:32
108: PROGRAMMED BY :ADMIN
109: POWERMILL CB :2024019.0
110: POST VER :2024.00.5142
111: OPTION FILE :HEIDENHAINMOD
112: OUTPUT WORKPLANE :1
120: NUMBER OF TOOLPATHS :10
121: ESTIMATED PROGRAM DURATION:0 H 0 M 5 S
123 BLK FORM 0.1 Z X-85.0 Y-85.0 Z-81.2
124 BLK FORM 0.2 X85.0 Y85.0 Z1.0
126 CYCL DEF 247 DATUM SETTING~
Q339=+1; DATUM NUMBER
127 L M140 MBMAX FMAX
129: START TOOLPATH : Сверління#45
131: PARAMETRIC FEEDRATE DEFINITION
132 Q1=500; PLUNGE FEED RATE
133 Q2=1000; CUTTING FEED RATE
134 Q3=3000; SKIM FEED RATE
135: FMAX USED FOR RAPID
136: .....
137: TOOL NO. :1
138: TOOL TYPE : DRILL
139: TOOL ID : Сверло#45
140: TOOL DIA :45.0 LENGTH 150.0
141: .....
142 TOOL CALL 1 Z S1500 DL=0.0 DR=0.0
143 M03
144 L X0.0 Y0.0 FMAX
145 L Z88.0 FMAX
146 M08
147 CYCL DEF 32.0 TOLERANCE
148 CYCL DEF 32.1 T0.1
149 CYCL DEF 32.2 HSC-MODE:1 TA2
150 CYCL DEF 200 DRILLING~
Q200=5.0; SET-UP CLEARANCE~
Q201=-19.1; DEPTH~
Q206=1000; FEED RATE FOR PLUNGING~
Q202=109.6; PLUNGING DEPTH~
Q210=0.0; DWELL TIME AT TOP~
Q203=-2.5; SURFACE COORDINATE~
Q204=90.5; 2ND SET-UP CLEARANCE~
Q211=0.0; DWELL TIME AT DEPTH
151 L X0.0 Y0.0 FMAX M99
153: END TOOLPATH : Сверління#45
155 M09
156 M05
157 L M140 MBMAX FMAX
158 CYCL DEF 32.0 TOLERANCE
159 CYCL DEF 32.1
160 CYCL DEF 32.2
161 M30
162 END PGM 21 MM

100: .....
101: NO:ID |DIA| TIP RAD| LENGTH
102: .....
103: |ПрвГорніл| | 0.0 |
104: .....
105: PROGRAM NAME :10
106: PART NAME :1
107: PROGRAM DATE :2025-12-05 - 11:03:03
108: PROGRAMMED BY :ADMIN
109: POWERMILL CB :2024019.0
110: POST VER :2024.00.5142
111: OPTION FILE :HEIDENHAINMOD
112: OUTPUT WORKPLANE :1
120: NUMBER OF TOOLPATHS :10
121: ESTIMATED PROGRAM DURATION:0 H 0 M 6 S
122: .....
123 BLK FORM 0.1 Z X-85.0 Y-85.0 Z-81.2
124 BLK FORM 0.2 X85.0 Y85.0 Z1.0
125: .....
126 CYCL DEF 247 DATUM SETTING~
Q339=+1; DATUM NUMBER
127 L M140 MBMAX FMAX
128: .....
129: START TOOLPATH : ЧорніГорніль1
131: PARAMETRIC FEEDRATE DEFINITION
132 Q1=500; PLUNGE FEED RATE
133 Q2=1000; CUTTING FEED RATE
134 Q3=3000; SKIM FEED RATE
135: FMAX USED FOR RAPID
136: .....
137: TOOL NO. :1
138: TOOL TYPE : PrvGornil
139: TOOL ID : PrvGornil
140: TOOL DIA :0.0 LENGTH 0.0
141: .....
142 TOOL CALL 1 Z S1000 DL=0.0 DR=0.0
143 M03
144 L X4000.0 Y0.0 FMAX
145 L Z-500 FMAX
146 M08
147 CYCL DEF 32.0 TOLERANCE
148 CYCL DEF 32.1 T0.1
149 CYCL DEF 32.2 HSC-MODE:1 TA2
150 L X257.2 Z-96.75 R0 FQ3
151 L Z-99.2500 F0.2
152 L X3700
153 L Z-98.75
154 L X367.1716 Z-97.3358
155 L X4000.0 Z-500 FQ3
156: .....
157: END TOOLPATH : ЧорніГорніль1
158: .....
159 M09
160 M05
161 L M140 MBMAX FMAX
162 CYCL DEF 32.0 TOLERANCE
163 CYCL DEF 32.1
164 CYCL DEF 32.2
165 M30
166 END PGM 10 MM
    
```

MR.PMK-007.03.00.0000.CX	
Дата	Версія
11	
Керуюча програма	
Для обробки на верстаті	
з ЧПУ	
ІНЖЕНЕР	
ПРМЖ-26-1	
СЕРВІС	

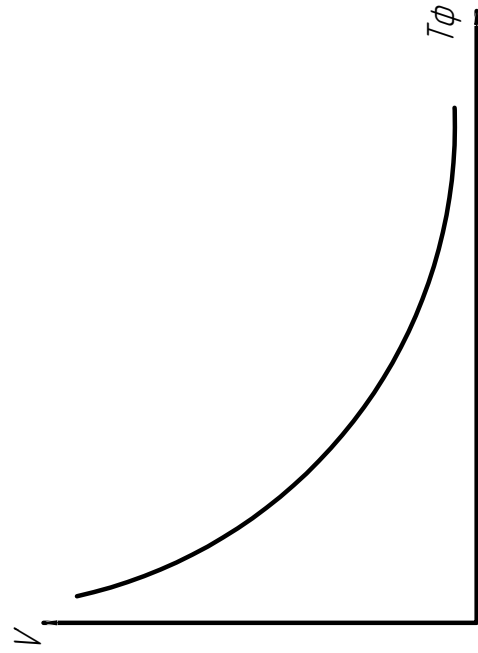
МР.ПМК-007.05.00.000 СК

A - A

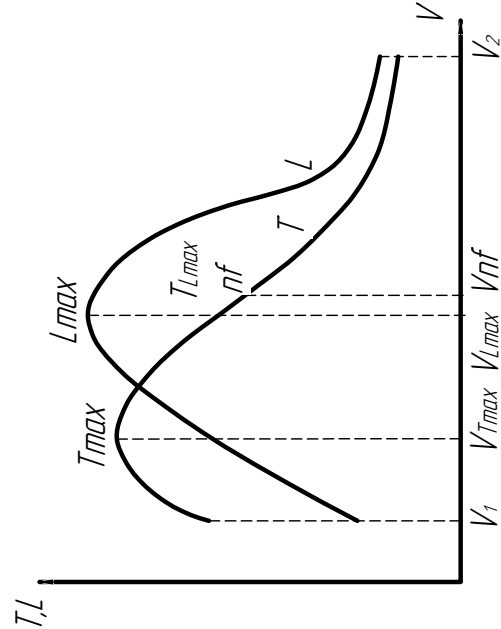


- 1. Пристрій для контролю тарьцяного і радіального діаметра 0,08 мм
- 2. Радіуси для відвідок
- 3. Маркшталі КТ, контроль тарьцяного і радіального діаметра шрифту 5-ПрЗ ДСТУ 26:008:2005

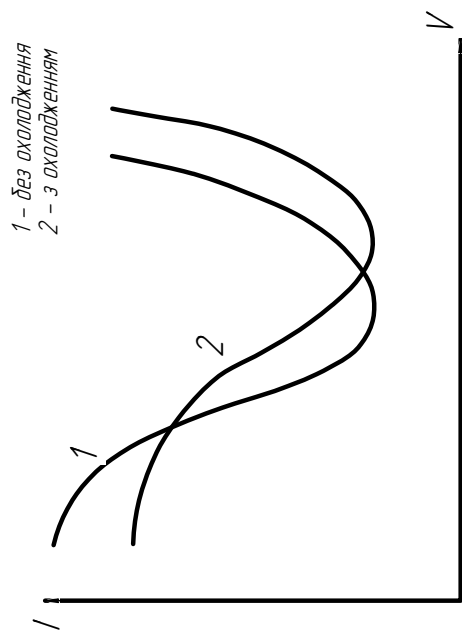
МР.ПМК-007.05.00.000 СК		Лист	Зміст	Кількість
Контрольний пристрій		№	11	
Складальне креслення		№		
ІНСТРУКЦІЯ		№		
ПМК-24-1		№		
СЕРІЯ		№		



Залежність швидкості різання V від стійкості F

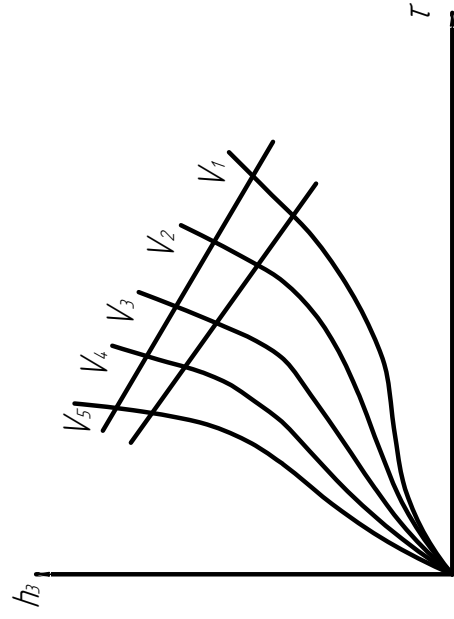


Вплив швидкості різання V на стійкість T і ресурс L осьового різального інструменту

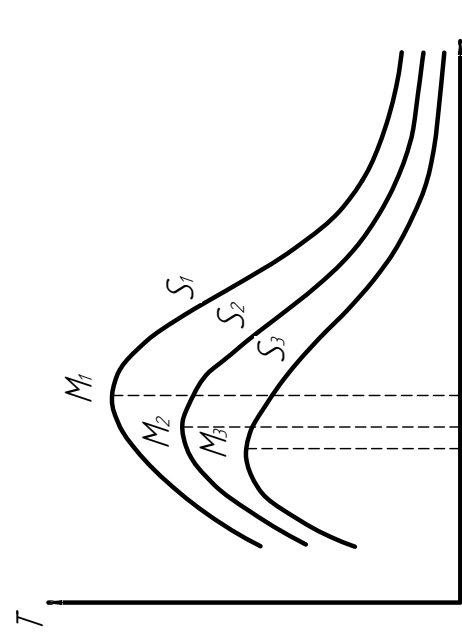


1 – без охолодження
2 – з охолодженням

Залежність інтенсивності зносу інструменту від швидкості різання



Криві зношування зубів фрез при різних швидкостях різання



Вплив подачі на характер залежності $T(V)$ для осьових різальних інструментів $S_1 > S_2 > S_3$

МР.ПМЖ-007.06.00.000.СХ		Дата		Версія	
№	Вид	Відомості	№	Вид	Відомості
1	1	Науково-дослідна	1	1	1
Частина			Частина		
ІНСТРУМЕНТИ			ІНСТРУМЕНТИ		
ПМЖ-24-1			ПМЖ-24-1		